

Министерство Автомобильной и Тракторной
Промышленности СССР

НАТИ

С 247
44

"УСОВЕРШЕНСТВОВАНИЕ ГАЗОГЕНЕРА-
ТОРНОГО ТРАКТОРА ГТ-58".

Раздел I. Исследование процес-
са разжига полуокиса
в газогенераторе БГ.

ОТДЕЛ ТЕХНИЧЕСКОЙ ИНФОРМАЦИИ
г. Москва — 1952 г.

С С С Р

Министерство Автомобильной и Тракторной Промышленности

ГОСУДАРСТВЕННЫЙ СОЮЗНЫЙ,
НАУЧНО-ИССЛЕДОВАТЕЛЬСКИЙ ТРАКТОРНЫЙ ИНСТИТУТ

Н А Т И

С 247
44

ОТДЕЛ ГАЗОГЕНЕРАТОРНЫХ ТРАКТОРОВ

ЛАБОРАТОРИЯ ГАЗОГЕНЕРАТОРНАЯ

УСОВЕРШЕНСТВОВАНИЕ ГАЗОГЕНЕРАТОР-
НОГО ТРАКТОРА ГТ-58.

Раздел I. Исследование процесса разжига
полукокса в газогенераторе БГ.

(Работа выполнена в 1951 г.)

ДИРЕКТОР НАТИ - С. И. АКОПЯН.

Зам. ДИРЕКТОРА НАТИ по научной работе - Б. И. ГОСТЕВ.

ОТДЕЛ ТЕХНИЧЕСКОЙ ИНФОРМАЦИИ
г. МОСКВА 1952 г.

О Г Л А В Л Е Н И Е

стр.

А ннот ация

I. Введение	I.
II. Выбор расхода газа для розжига	9.
III. Розжиг полукокса с вспомогательной Фурмой	20.
IV. Розжиг полукокса при увеличенных расходах газа с нижним дутьем	47.
V. Розжиг полукокса с наддувом воз- духа в газогенератор	55.
VI. Выводы и заключение	65.

Государственная
БИБЛИОТЕКА
СССР
им. В. В. Денисова

52-69607

КНИГА ИМЕЕТ:

Печат. листов	Выпуск	В перепл. един. соедин. №№ вып.	Таблицы	Карты	Иллюстр.	Служеб. №№	Листы справка в порядковых
9			Ч		Ч	639	38

Л-167102. Подпись к печ. 27 сентября 1952г. Тир. 100 экз. 0б, З.5. п. л.
Зак. 193. Типо-лит. НАТИ, Москва 40, Верхняя ул., д. 34.

А Н Н О Т А Ц И Я

Исследование процесса розжига полукокса в газогенераторе БГ поставлено было для нахождения способов ускорения этого процесса.

В отчете приведены результаты лабораторных исследований состава газа в период розжига полукокса и данные по пуску двигателя на газе.

Проведенные исследования трех способов розжига:

а/ со вспомогательной фирмой, б/ с увеличенным расходом газа и в/ с подачей воздуха в газогенератор под давлением, позволили рекомендовать последний метод для внедрения.

Исследования показали целесообразность применения для подачи воздуха в газогенератор вентилятора с колесом ЦАГИ-035.

Раздел I - ИССЛЕДОВАНИЕ ПРОЦЕССА РОЖИГА ПОЛУКОКСА В
ГАЗОГЕНЕРАТОРЕ БГ.

I. ВВЕДЕНИЕ.

При испытаниях, проведенных в 1950 г., было установлено, что при схеме розжига с отсасывающим вентилятором, принятой на тракторе ГТ-58, период розжига полукокса и перевода двигателя на газ занимает значительное время.

Просасывание газа через установку при розжиге осуществлялось вентилятором АГ-II200IO, соединенным через редуктор с валом пускового двигателя.

Всасывающий патрубок вентилятора соединялся с газопроводом перед смесителем.

Как показали опыты, газ, при розжиге свежего полукокса, загорался через 20 минут.

Пуск двигателя на газе занимал от 2 до 5 минут, что объясняется уменьшением расхода газа в момент вращения основного двигателя пусковым двигателем ПД-10 и несовершенством регулирования газовоздушной смеси.

Общее время пуска двигателя на газе составляло 25-30 минут.

При остановках после длительной работы розжиг также сильно затягивался.

Условия длительной работы пускового двигателя, моторесурсы которого ограничены, требуют сокращения времени работы его при розжиге до 10 минут.

В связи с изложенным, была поставлена работа по изучению процесса розжига и нахождения способов для ускорения его.

Наиболее эффективным мероприятием для ускорения розжига является увеличение расхода воздуха, поступающего в газогенератор. Это было известно при проектировании и могло быть достигнуто путем увеличения производительности вентилятора, для чего необходимо было уменьшить сопротивление на линии всасивания или нагнетания вентилятора.

Но в целях унификации газогенераторных тракторов ГБ-58 и ГТ-58 был принят метод розжига с просасыванием газа через всю газогенераторную установку, как для газогенератора АГ, в ко-

тором газифицируются битуминозные топлива /древесные чурки, торфобрикет, бурый уголь/, так и для газогенератора БГ, предназначенного для газификации тощих топлив /древесный уголь, полуокс и антрацит/.

В газогенераторе АГ камера газификации заполняется перед розжигом древесным углем. Температура воспламенения древесного угля составляет 350°C . Он обладает высокоразвитой поверхностью контакта с кислородом и для розжига вполне достаточно было расхода газа, создаваемого отсасывающим вентилятором АГГ120010. Время розжига в битуминозном газогенераторе АГ не превышало 5-7 минут. В пределах 10-12 минут производился розжиг древесного угля и в газогенераторе БГ.

Свежий полуокс с содержанием летучих 9-10% и образующийся из него кокс, заполняющий активную зону, требует для воспламенения более высоких температур нагрева и соответственно большего количества тепла.

В таблице № I приведены сравнительные данные по температурам воспламенения различных твердых топлив в воздухе при атмосферном давлении. Следует указать, что температура воспламенения не является физической или химической константой, а зависит от свойств твердого топлива.

Таблица № I.

Температура воспламенения твердых топлив в воздухе при атмосферном давлении.

№ п/п	Топливо	Температура воспламенения °C.	ПРИМЕЧАНИЕ.
1.	Торф	225	
2.	Дерево	295	
3.	Древесный уголь	350	
4.	Бурые угли	450	
5.	Кокс	600-700	
6.	Антрацит	700	

Температура воспламенения ниже у топлив, содержащих больше летучих и кислорода и выше у тощих топлив.

Кроме температуры, воспламеняемость твердых топлив характеризуется удельной теплотой воспламенения, под которой понимают количество тепла, необходимого для нагрева 1 кг твердого топлива и участующего в горении воздуха от 0°C до температуры воспламенения.

По данным, опубликованным в курсе "котельные установки"^{X/}, удельная теплота воспламенения кокса при $W^P = 3\%$ составляет 33% Q_p^H , для каменных углей при $W^P = 2,5\%-22,4 Q_p^H$ для сырого бурого угля при $W^P = 50\%-26,1 Q_p^H$.

Полуокс после отгонки летучих и влаги в верхних слоях активной зоны приближается по своим качествам к коксу. Поэтому ориентировочно можно считать, что потребная удельная теплота воспламенения составляет около 2000-2100 ккал/кг.

Воспламенение твердого топлива, как и жидкого, после нагрева требует определенного времени для саморазгона предпламенной реакции.

Этот период времени называемый периодом индукции согласно теории горения, предложенный впервые акад. Н. Семеновым, выражается следующим уравнением:

$$\tilde{C} \cdot p^n \cdot e^{-\frac{E}{R_t}} = \text{const} \quad /1/$$

где:

\tilde{C} - время индукции,

p и T - давление и температура, при которых происходит воспламенение,

R - газовая постоянная,

E - энергия активации, зависящая от химической природы топлива и состава смеси,

n - показатель, зависящий от характера протекания и порядка реакции.

При розжиге твердого топлива $p = 1$ и, как видно из уравнения, период индукции будет сокращаться с увеличением температуры газов, нагревающих твердое топливо.

^{X/} "Котельные установки" под редакцией М. В. Кирпичева, Э. Н. Ромм и Усенко, том I, стр. 145 изд. 1951 г. Госэнергоиздат.

- 4 -

По данным Вентреля^{X/} период индукции при воспламенении антрацита сокращается в 7 раз при повышении температуры воздуха с 640 до 800°C.

Таким образом для ускорения воспламенения необходимо при нагреве полукокса подвести газы с высокой температурой.

Это может быть достигнуто путем уменьшения коэффициента избытка воздуха при горении паров жидкого топлива, смачивающих факел, употребляемый для розжига, так как разбавление продуктов горения избыточным количеством воздуха снижает температуру газов, нагревающих полукокс.

После воспламенения топлива создается очаг горения и прогрев топлива в газогенераторе осуществляется теплом газов, образующихся при горении в очаге и нагревающих вышележащие слои топлива.

Теплонапряжение очага горения $\frac{Q}{U_r}$ ккал/м³ определяется нижеследующим уравнением ^{XX/}

$$\frac{Q}{U_r} = Q_p^H \cdot K_s \cdot \delta_o \cdot f \text{ ккал/м}^3 \text{ час} \quad /2/$$

где: Q

- количества тепла, выделяющегося в очаге горения в ккал,

U_r - объем образующихся газов при горении в м³,

Q_p^H - низшая теплотворная способность топлива ккал/кг,

K_s - интенсивность поверхностного горения ккал/м² час,

δ_o - количества одновременно горящего топлива в кг/м³,

f - полная поверхность реагирующих частиц м².

Величина K_s - увеличивается с измельчением частиц топлива, что одновременно приводит к увеличению f .

При слоевом горении увеличивается количество одновременно горящего топлива δ_o , чем в основном и определяется значение $\frac{Q}{U_r}$, которое может доходить до $1-10 \cdot 10^6$ ккал/м³ час.

^{X/} См. Линчевский В.П. "Топливо и его сжигание". Металлургиздат 1947 г. стр.149.

^{XX/} "Котельные установки" стр.147.

С увеличением теплового напряжения растет температура газов по теоретическим вычислениям Зельдовича и академика Н.Семенова^{X/}, приведенным в таблице № 2, может быть достигнуто значительное увеличение температуры, повышающей скорость реакций.

Таблица № 2.

Зависимость между температурой газов и тепловым напряжением объема.

Тепловое напряжение объема ккал/м³ час.	Температура газов К	ПРИМЕЧАНИЕ
$4 \cdot 10^6$	1300	
$30 \cdot 10^6$	1600	
$200 \cdot 10^6$	2000	
$450 \cdot 10^6$	2400	
$1250 \cdot 10^6$	3000	

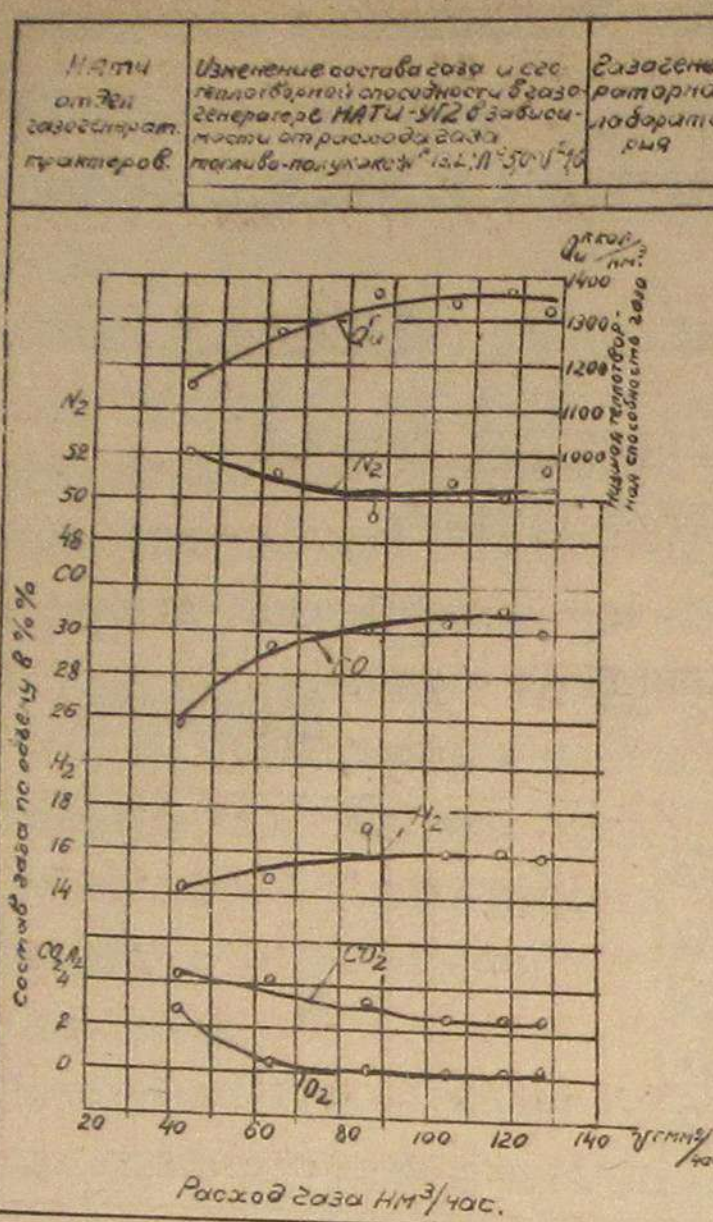
Для ускорения подъема температур в очаге горения и увеличения количества сгорающего топлива, необходимо увеличение притока кислорода воздуха и следовательно увеличение расхода газа при отсасывании или повышение расхода воздуха при нагнетании.

Увеличение относительной скорости воздуха и топлива ускоряет процесс диффузии кислорода к поверхности топлива через застойную пленку продуктов горения, образующуюся на поверхности кусков горящего топлива.

Это вызывает увеличение поверхности горящего топлива K_s , так как величина коэффициента диффузии пропорциональна скорости газов.

Зависимость состава газа и теплотворной способности его от расхода газа при нормальной работе газогенератора БГ показана на фиг. I.

^{X/} В.П.Линчевский "Топливо и его сжигание" Металлургиздат 1947 г. стр.179.



Фиг. I. Зависимость состава и теплотворности от расхода газа.

Теплотворность газа непрерывно возрастает.

Процесс розжига можно считать законченным по достижении минимальной теплотворной способности газа по величине и количеству газа, достаточных для совершения работы по преодолению трения возвратно- движущихся и вращающихся деталей в двигателе и сил инерции, увеличивающихся с повышением оборотов двигателя, так как преодоление сухого трения в начале трогания деталей двигателя с места совершается пусковым двигателем ПД-10 при работе его на бензине. В момент начала пуска двигателя расход отсасываемого газа после розжига снижается, так как число оборотов коленчатого вала основного двигателя при вращении его пусковым двигателем составляет 230-250 в минуту.

Этому числу оборотов соответствует расход газа в пределах $30 \text{ м}^3/\text{час}$ при $\bar{\gamma}_v = 0,9$, что приводит к замедлению розжига в момент перевода двигателя на газ, так как розжиг производится при значительно большем расходе газа.

Из хода кривых следует, что теплотворная способность газа увеличивается с расходом газа, подтверждая приведенное положение о целесообразности увеличения расхода газа при розжиге.

Завершение создания очага горения в слое топлива характеризуется полным использованием поступающего кислорода воздуха, достижением максимального значения CO_2 и начинающимся значительным повышением содержания в газе CO . С этого момента начинается процесс восстановления CO_2 и разложения H_2O , сопровождающийся увеличением объема газа и повышением содержания H_2 и CO .

Следует отметить, что среднее индикаторное давление за цикл P_i в период пуска при указанных оборотах двигателя должно превышать удельную работу трения P_{tr} , т.е. иначе скорость вращения коленчатого вала не будет увеличиваться, т.е. при пуске

$$P_i > P_{tr}$$

Возможность этого может быть обеспечена в том случае, если теплотворность газа после пуска двигателя повышается.

По данным лаборатории газовых двигателей пуск двигателя на газе в нормальных летних условиях совершился при достижении теплотворной способности газа в $600 \text{ ккал}/\text{нм}^3$.

Уменьшение необходимой теплотворности газа для пуска зависит от степени совершенства регулирования смеси газа с воздухом, при малых расходах воздуха для сгорания в двигателе.

Весь процесс пуска двигателя на газе разделяется на два этапа: а/розжиг и б/ перевод двигателя на газ.

В данной работе освещаются результаты исследования процесса розжига и факторов, ускоряющих достижение минимальной теплотворности газа.

Как указано выше, весь процесс розжига можно разделить на следующие три стадии:

- а/ воспламенение топлива,
- б/ создание очага горения,
- в/ начало восстановительных реакций.

Подобное расчленение процесса розжига позволяет выявить факторы, влияющие на ускорение розжига.

В первой стадии розжига наибольшее влияние оказывает температура газов, являющихся продуктами горения паров жидкого топлива факела, прогревающих топливо до температуры воспламенения.

Значительно влияет на температуру продуктов горения паров жидкого топлива коэффициент избытка воздуха. Неравномерный прогрев топлива, при котором не все куски топлива, прилегающие к месту подвода факела прогреваются до температуры воспламенения, приводит к значительному увеличению коэффициента избытка воздуха в начале процесса горения топлива, так как в этом случае часть кислорода воздуха может пройти, не реагируя с углеродом топлива.

В этой стадии розжига сосредоточие дутья ускоряет процесс воспламенения и расход воздуха не должен превышать количества, необходимого для скважания паров жидкого топлива.

Во второй стадии розжига, когда воспламенение угля началось на поверхности кусков, температура возросла, и реакции приняли гетерогенный характер, увеличение относительной скорости воздуха будет ускорять процесс диффузии кислорода через застойную пленку газов, образовавшихся в результате протекания реакций окисления. Увеличение расхода воздуха будет являться фактором, ускоряющим процесс розжига, потому что процесс диффузии лимитирует скорость реакций.

Так как очаг горения является источником тепла для всех эндотермических реакций восстановления CO_2 , разложения водяных паров, то совершенно очевидно, что течение реакций восстановления может происходить только при достаточном количестве кислорода, поступающего в очаг горения.

Таким образом только в период прогрева топлива до воспламенения его, расход воздуха может быть снижен, а для дальнейшего ускорения процесса розжига необходимо увеличение его.

В связи с изложенным были намечены следующие мероприятия для экспериментальной проверки по ускорению розжига:

а/ розжиг с вспомогательной формой, устанавливаемой только на период розжига в газогенераторе на определенной высоте от колосниковой решетки.

б/ Розжиг с увеличенным расходом газа путем отсасывания при сохранении общей схемы установки отсасывающего вентилятора.

в/ Розжиг с увеличенным расходом воздуха при подаче его под колосники газогенератора с некоторым избыточным давлением и выпуском газов после циклона через вытяжную трубу, как это предусмотрено проектом Б1.

Первое мероприятие рассчитано на ускорение розжига при малых расходах газа.

Второе - позволяет установить необходимые исходные данные для отсасывающего вентилятора.

Третье мероприятие позволяет при сохранении размеров вентилятора значительно /в 2-3 раза/ повысить его производительность путем уменьшения сопротивлений на линии нагнетания.

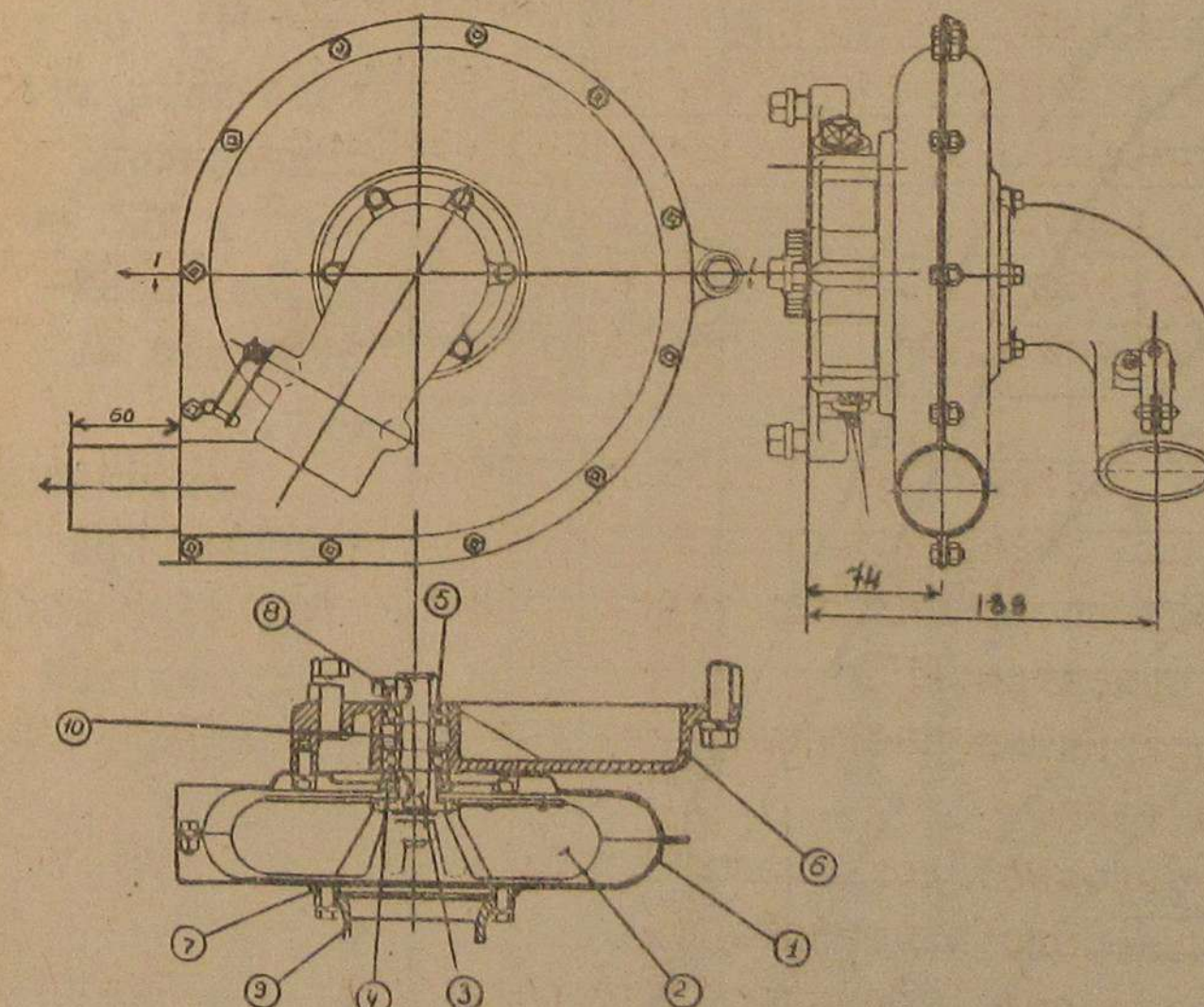
П. ВЫБОР РАСХОДА ГАЗА ДЛЯ РОЖИГА.

Для проведения экспериментальных работ по розжигу необходимо было выбрать диапазон расхода газа.

В газогенераторных тракторах ХТЗ-Т2Г и МГ-17 при розжиге отсасывание газа осуществляется двигателем, причем в первом случае двигатель работает на смеси бензо- и газовоздушной смеси, а во втором двигатель используется как насос, вращение которого производится вспомогательным пусковым двигателем.

Опыты по розжигу полукокса на тракторе типа ХТЗ Т2Г с газогенератором УГ-2, проведенные в НАТИ в 1950 г. показывали, что розжиг полукокса и перевод двигателя на газ производился в течение 10-12 минут.

Произведенные подсчеты показывают, что расход газа при этом составлял порядка $85-90 \text{ нм}^3/\text{час}$. Отсасывающий вентилятор в первоначальном варианте, предложенном для газогенераторных тракторов ГТ-58 и ГБ-58, обеспечивал расход газа не более $50 \text{ нм}^3/\text{час}$.



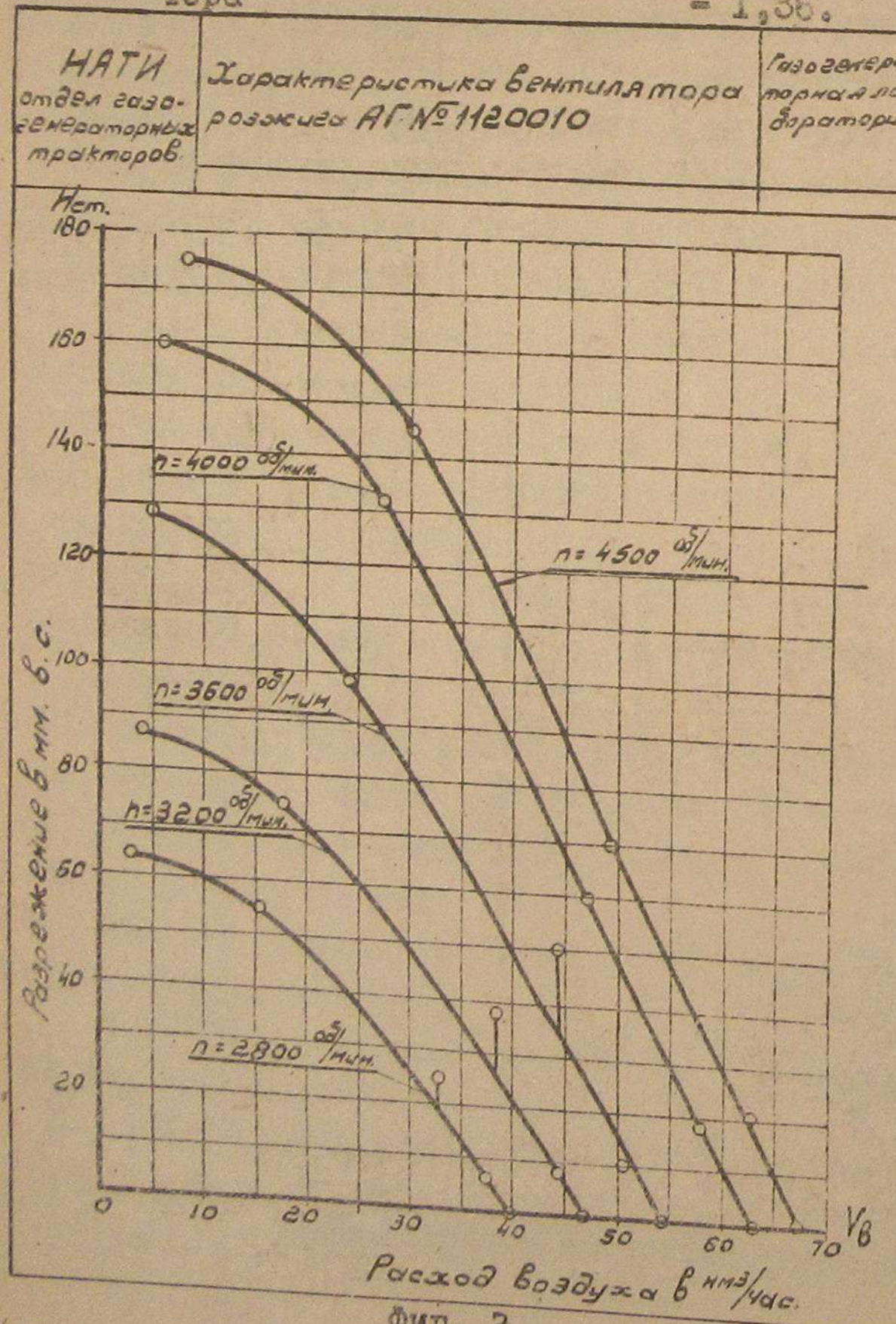
Нормальный расход двигателя ГД-50 составляет $95,5 \text{ нм}^3/\text{час}$. Вентилятор розжига АГ-II200IO с прямыми лопатками, проектированный для газогенераторных тракторов представлен на фиг. 2.

Фиг.2. Вентилятор розжига НАТИ АГ-II200IO.

Вентилятор имел следующие размеры рабочего колеса:

1. Диаметр колеса наружный - 200 мм.
2. Диаметр " - внутренний - 86 мм.
3. Число лопаток радиальных - 12
4. Ширина лопаток - 37,5 мм.
5. Ширина кожуха - 47 мм.
6. Диаметр всасывающего патрубка вентилятора - 55 мм.
7. Диаметр выходного патрубка вентилятора - 47 мм.
8. Число оборотов колеса - 4500 об/мин.
9. Передаточное число от вала пускового двигателя к колесу вентилятора

- I,36.



Лопатки к диску рабочего колеса были приклепаны. Характеристика зависимости $H_{ст}$ от расхода воздуха, отнесенного к 0° и 760 мм. рт. ст. представлена на Фиг. 3.

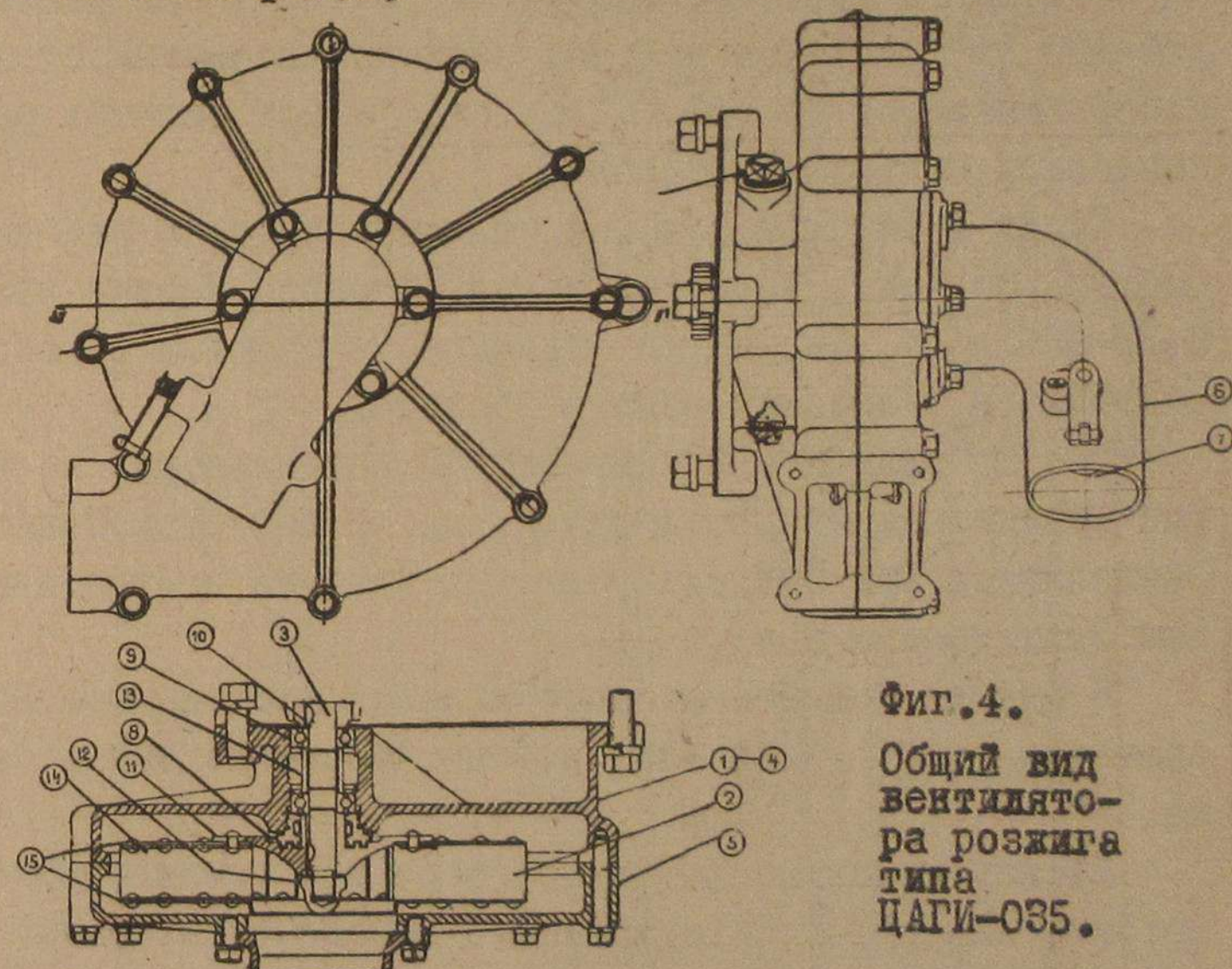
Вентилятор создает при $n = 4500$ об/мин. максимальный полезный статический напор $H_{ст} = 175$ мм. вод. ст. и поэтому расход газа, создаваемый им при отсасыв-

нии после газогенераторной установки составлял не более 41 м³/час.

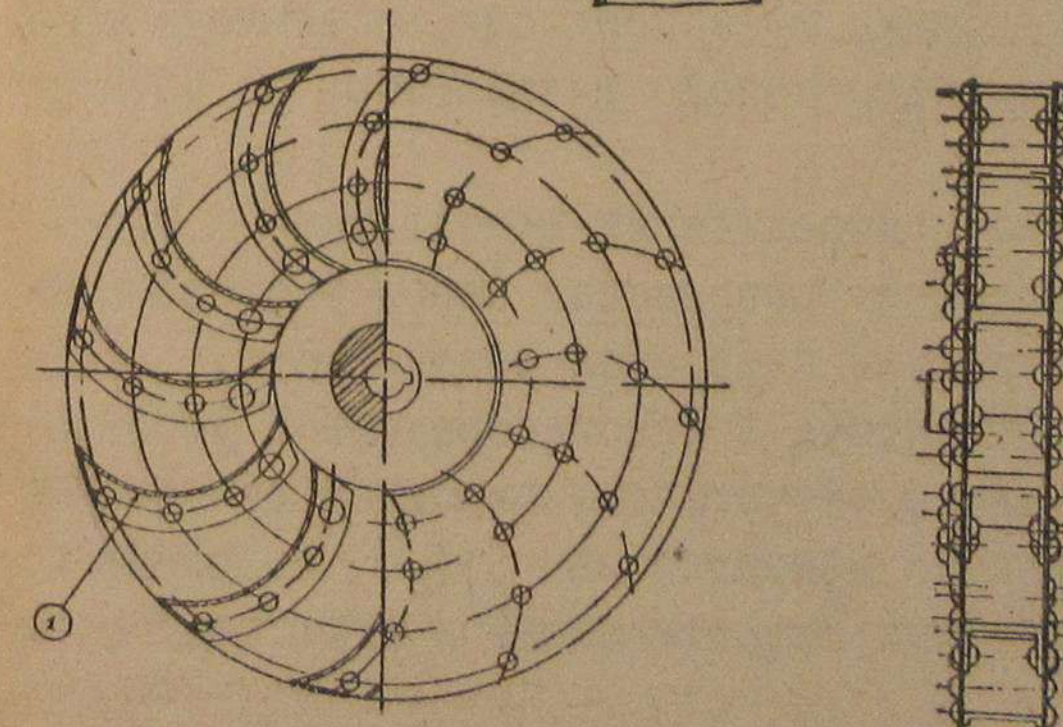
Диск вентилятора оказался недостаточно прочным и в дальнейшем был изменен. Лопатки были установлены между двумя параллельными дисками. С этим рабочим колесом характеристика вентилятора не снималась.

Для увеличения производительности вентилятора ЦАГИ рекомендовал применить вентилятор ЦАГИ-035 с рабочим колесом, имеющим лопатки, загнутые вперед.

Общий вид вентилятора типа ЦАГИ-035 представлен на Фиг. 4, а рабочее колесо на Фиг. 5.



Фиг. 4.
Общий вид
вентилято-
ра разжига
типа
ЦАГИ-035.



Фиг. 5.
Колесо венти-
лятора
ЦАГИ-035.

Вентилятор характеризуется следующими данными:

Диаметр рабочего колеса наружный - 220 мм.

" " " внутренний - 77 мм.

Ширина лопаток - 30 мм.

Угол выхода струи с лопаток β - $34^{\circ}30'$.

Число оборотов рабочего колеса в минуту - 4500

Характеристика $H_{ст}$ вентилятора в зависимости от расхода воздуха и числа оборотов колеса представлена на фиг. 6.

Максимальное значение $H_{ст}$ вентилятора ЦАГИ-035 при $n = 4725$ об/мин. составляет 240 мм.в.с. при расходе $100-130$ м m^3 /час. При меньших расходах полезный статический напор снижается до 220 мм.вод.ст., а при больших расходах снижается более значительно.

Таким образом в отличие от вентилятора с рабочим колесом, имеющим лопатки, загнутые назад, характеристика вентилятора ЦАГИ-035 $\frac{dH}{dQ}$, не круто падающая, а пологая с небольшим максимумом на указанном режиме расхода.

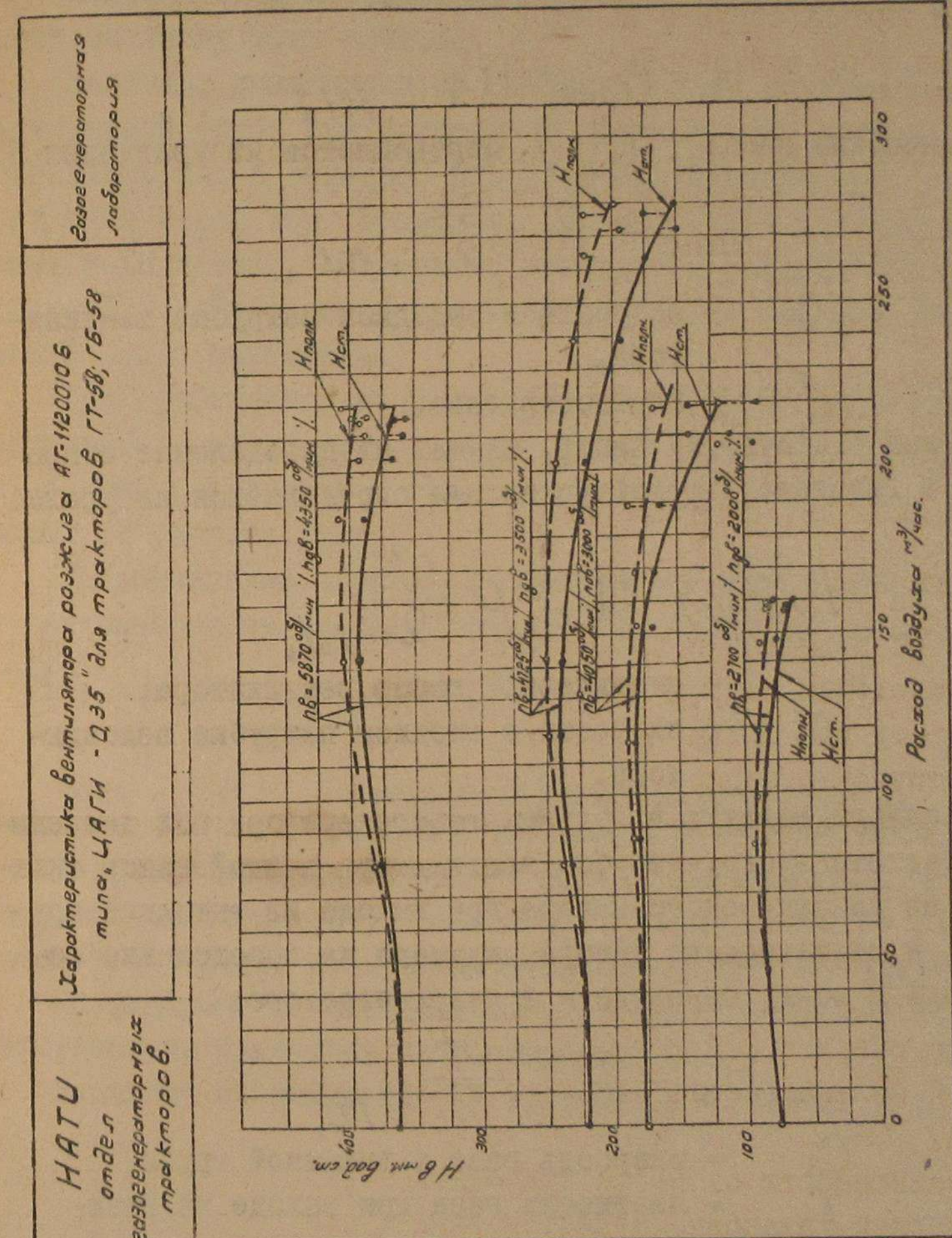
Это не является преимуществом вентилятора, но позволяет при преодолении сопротивлений, не превышающих полного напора, располагать при больших расходах воздуха значительным полезным статическим напором $H_{ст}$.

В случае повышения сопротивления в сети выше максимального значения $H_{ст}$, вентилятор может резко изменять расход воздуха.

Производительность вентилятора при разжиге может быть графическим путем определена из пересечения кривой сопротивлений газогенераторной установки, в зависимости от расхода газа с кривой полезного статического напора вентилятора по расходу воздуха.

В зависимости от места присоединения вентилятора к газогенераторной установке меняется разжение перед всасывающим или напор перед нагнетательным патрубком вентилятора.

При присоединении вентилятора к газогенераторной установке для отсасывания газа перед смесителем, полезный статический напор на линии всасывания вентилятора $H_{ст}$ затрачивается на преодоление всех местных сопротивлений в агрегатах уста-



Фиг. 6.

новки $h_{\text{г.у.}}$ и на создание скорости C_1 во всасывающем патрубке вентилятора. Часть полного напора H затрачивается на создание скорости в выходном патрубке вентилятора. Полный напор определяется из уравнения:

$$H = H_{\text{дин}} + H_{\text{ст}} \quad /4/,$$

Динамический напор $H_{\text{дин}}$ определяется из уравнения 5:

$$H_{\text{дин}} = \rho \cdot \frac{C_2^2}{2} \quad /5/,$$

где: C_2 - скорость в выходном патрубке вентилятора.

ρ - плотность газа.

Полезный статический напор, идущий на преодоление сопротивлений в газогенераторной установке определяется из уравнения /6/:

$$h_{\text{г.у.}}^2 = H_{\text{ст}} - \rho \frac{C_1^2}{2} \quad /6/,$$

где: $H_{\text{ст}}$ - статический напор вентилятора,

C_1 - скорость в входном патрубке вентилятора.

При подводе воздуха в зольник газогенератора под давлением от нагнетательного патрубка вентилятора полный напор складывается из динамического напора при выходе из вытяжной трубы H_3 и статического напора, идущего на преодоление сопротивлений в воздухопроводе и в газогенераторе:

$$H_3 = \rho_3 \cdot \frac{C_3^2}{2} \quad /7/,$$

где: C_3 - скорость газа в вытяжной трубе

ρ_3 - плотность газа при выходе из газогенератора.

Сопротивление воздухопровода от вентилятора до газогенератора при скоростях движения воздуха, не превышающих 8-10 м/сек., невелико, и поэтому основное сопротивление складывается из потерь давления в газогенераторе, состоящих из потерь давления в слое топлива, колосникововой решетки, газоотборном патрубке и зависит от места установки вытяжной трубы.

При установке вытяжной трубы после циклона к потерям давления в газогенераторе прибавляются потери статического напора в циклоне.

Выпуск газов непосредственно после газогенератора уменьшает величину этих потерь.

Величина динамического напора H_3 на создание скорости в вытяжной трубе при нагнетании вентилятором воздуха в газогенератор или в выходном патрубке вентилятора при отсасывании газа через всю установку, при скоростях газа, не превышающих 8-10 м/сек., составляет в пределах расхода газа от 60 до 100 $\text{мм}^3/\text{час}$ не более 1-6 мм. в.с. и поэтому этой величиной можно пренебречь.

При графическом методе определения производительности вентилятора можно пользоваться значениями $H_{\text{ст}}$ вентилятора и данными разрежений в газогенераторной установке в зависимости от расхода газа.

Сопротивление агрегатов газогенераторной установки $h_{\text{г.у.}}$ в зависимости от расхода газа V_r следует квадратичному закону:

$$h_{\text{г.у.}} = K \cdot V_r^2 \quad /8/,$$

где: K - коэффициент, учитывающий местные сопротивления и изменения удельного веса газа.

На фиг. 7 нанесены кривые сопротивлений отдельных агрегатов газогенераторной установки БГ в зависимости от расхода газа, построенные по приведенному эмпирическому уравнению.

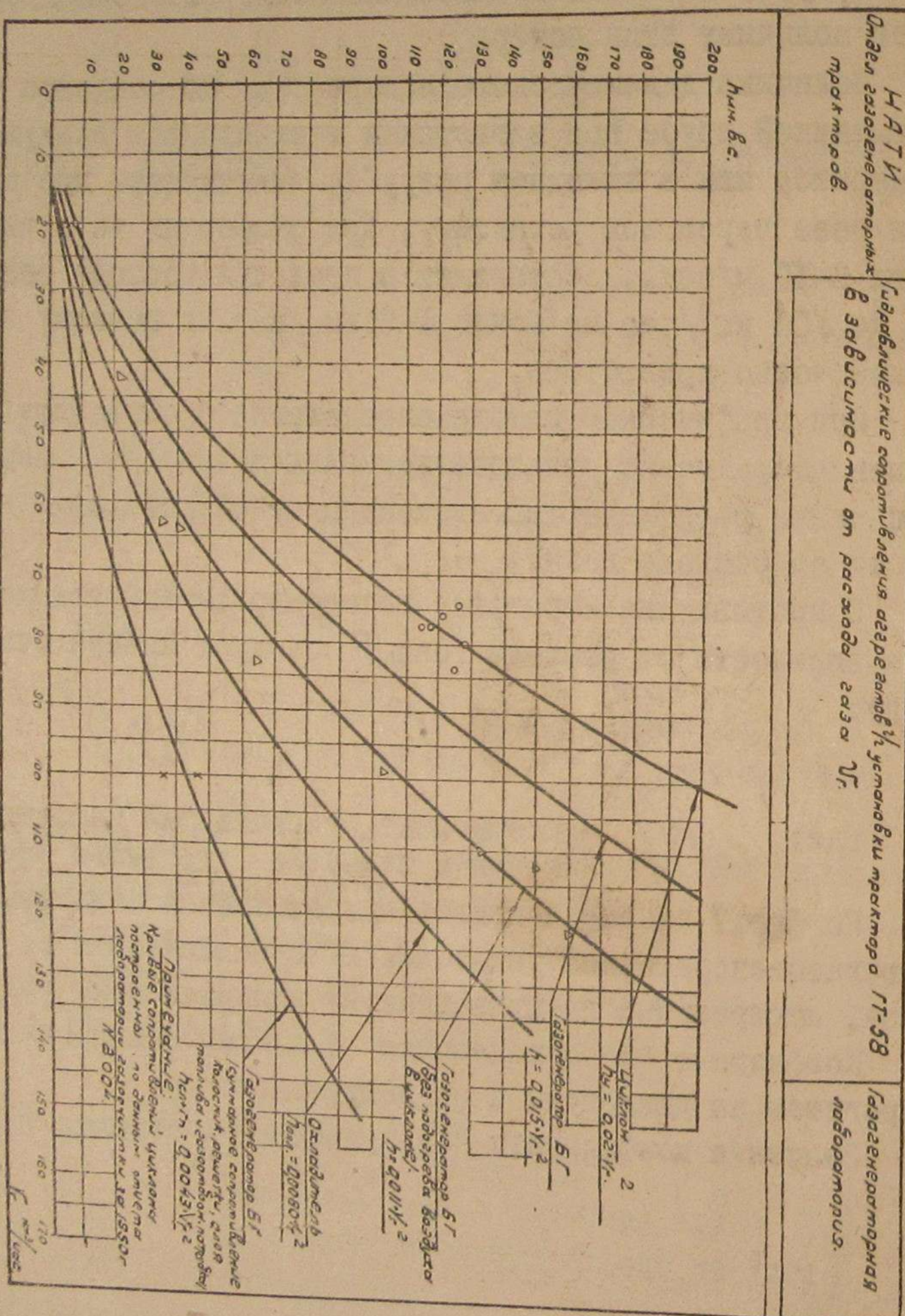
Коэффициент "K" определялся по данным стендовых испытаний агрегатов на двигателе и на вакуумнасосе.

Значения коэффициента "K" приведены в таблице № 3.

Таблица № 3.

Значения коэффициента "К".

№ № п/п	Наименование агрегата газогенераторной уста- новки	К	Примечание
I	2	3	4
1.	Газогенератор БГ:	0,0155	Испытания 1950г.
2.	а/ без подогрева воздуха в циклоне	0,011	Испытания 1951г.
3.	б/ без паровоздушной линии /подвод воздуха в зольник/	0,0043	Испытания 1950 и 1951 г.
4.	Центробежный очиститель /циклон/	0,020	Испытания 1950г. лабораторной га- зоочистки, отчет № 2004.
5.	Охладитель газа /с газо- проводом до фильтра/	0,0080	Данные стендовых испытаний 1950г. лаборат. газ. дви- гат. / $U_{t,3}$ при- нято 95 $\text{мм}^3/\text{час.}$
6.	Фильтр газа	0,016	По тем же испы- таниям 1950 г.
7.	Газогенераторная уста- новка при нормальной работе	0,076- 0,080	
8.	Газогенераторная установ- ка при разжиге /выпуск воз- духа через люк зольника/	0,065	
9.	Газогенераторная установ- ка в загрязненном состо- янии.	0,10	



Для определения производительности вентилятора на фиг. 8 нанесена характеристика вентилятора ЦАГИ-035 при $h = 4050$ и 4725 об/мин., что соответствует числу оборотов в минуту пускового двигателя 3000 и 3500 . Для сравнения показана характеристика вентилятора НАТИ-АГII20010. На той же фигуре нанесены кривая гидравлических сопротивлений газогенераторной установки при разжиге: $h_{\text{г.у.}} = 0,065 \cdot V_r^2$, а также кривые сопротивлений газогенераторной установки при нормальном и загрязненном состоянии.

Пересечение характеристики сопротивления газогенераторной установки при розжиге с кривой Нст вентиляторов показывает, что расход газа при отсасывающем вентиляторе составляет с вентилятором ЦАГИ-085 - 60 $\text{мм}^3/\text{час}$, а с вентилятором АГ-П20010 - 41 $\text{мм}^3/\text{час}$.

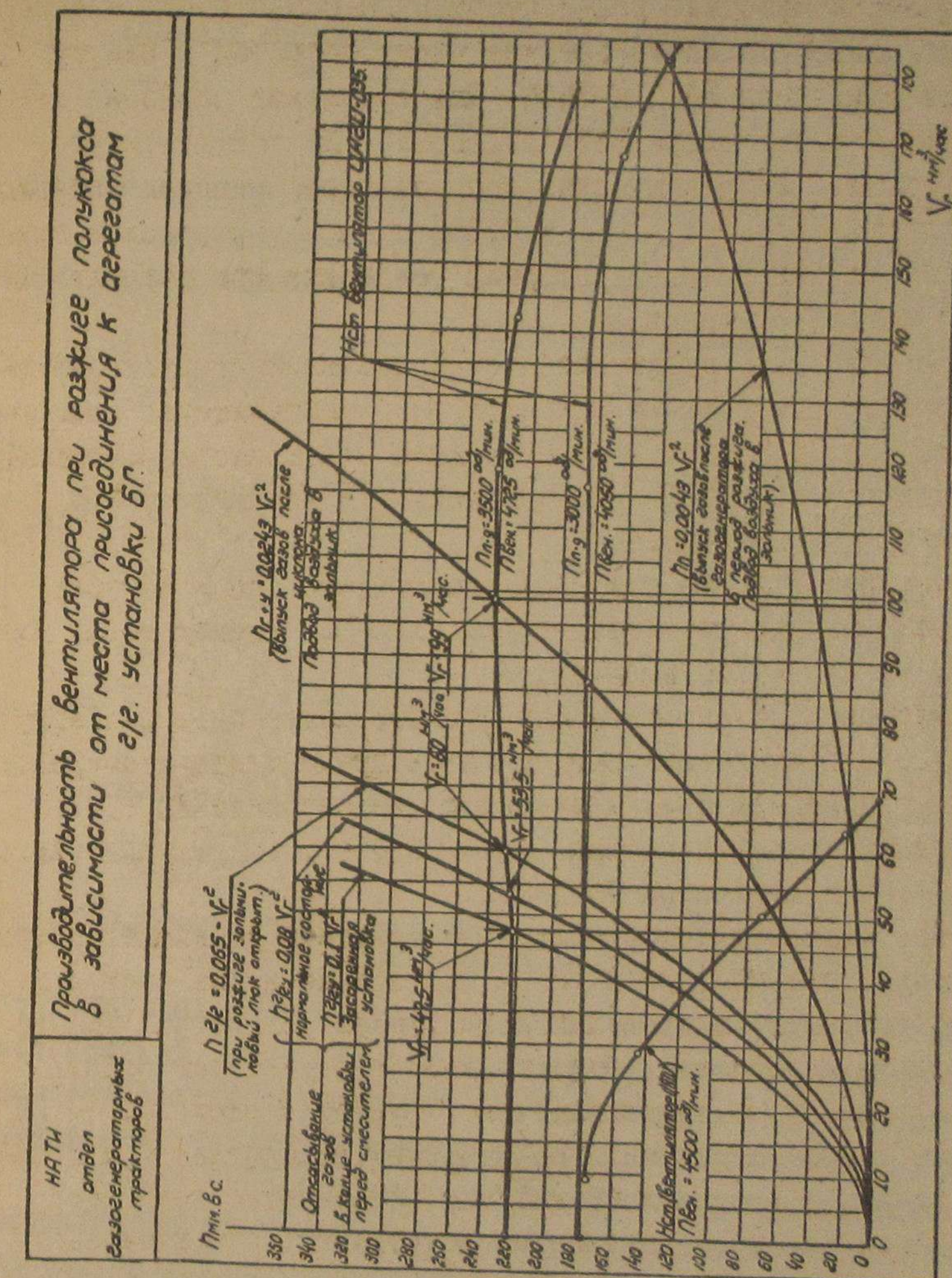
При подаче воздуха в зольник газогенератора и выпуске газов после циклона с вентилятором ЦАГИ-035 расход может быть увеличен до $V_f = 100 \text{ м}^3/\text{час.}$

Увеличение расхода газа при разжиге может быть достигнуто до $\sim 200 \text{ м}^3/\text{час}$, если выпуск газов производить непосредственно после газогенератора, что следует из пересечения кривых сопротивлений газогенератора $h_g = 0,0043 \cdot U_g^2$ с характеристикой Нст вентилятора ЦАГИ-035.

В этом случае имеется полная возможность уменьшить обороты вентилятора, так как для розжига достаточно иметь расход газа $-100 \text{ м}^3/\text{час}$, т.е. в пределах нормального режима расхода топлива.

Учитывая изложенное, было принято решение производить опыты по разжигу со вспомогательной фурмой с расходом от 35 до 100 $\text{м}^3/\text{час}$, рассчитывая нормальный расход газа при отсасывании иметь в пределах 60 $\text{м}^3/\text{час}$. Увеличение диапазона расхода газа при исследовании могло показать закономерность течения процесса разжига, но рассчитывать на расход при разжиге с фурмой более 60 $\text{м}^3/\text{час}$ не представлялось возможным.

Следует иметь ввиду, что выпуск газов после газогенератора или циклона при разжиге древесного угля, имеющего большее содержание летучих, чем полуокс, когда температура в верхнем слое активной зоны недостаточна для разложения смоляных паров, газогенераторная установка будет меньше загрязняться смолами и тем надежнее будет предохраняться от засмоления двигатель.



Фиг. 8.

диаметр 30 мм.

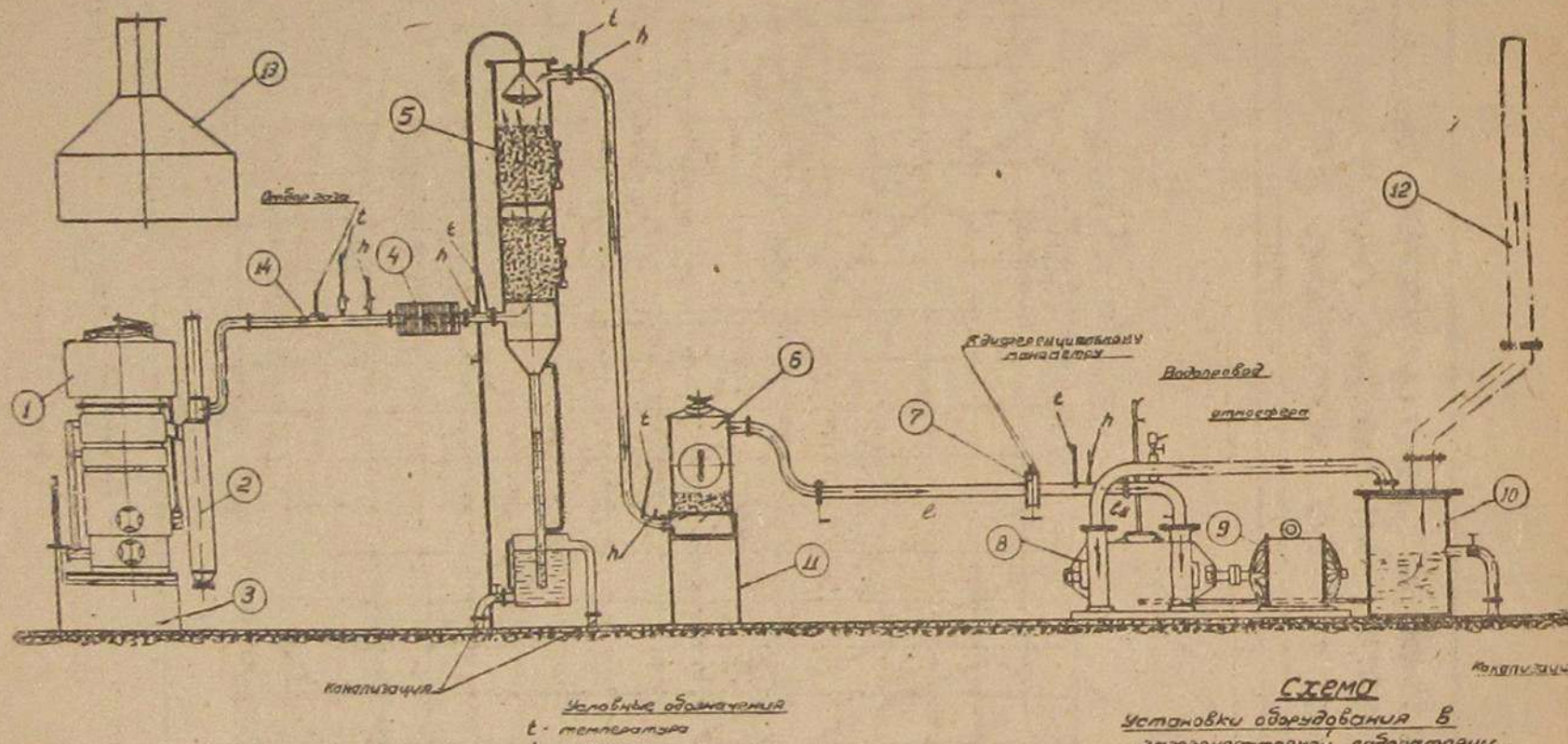
-20-

III. РОЖИГ ПОЛУКОКСА СО ВСПОМОГАТЕЛЬНОЙ ФУРМОЙ.

I. Объект испытаний.

Опыты по исследованию розжига полукокса проводились на безмоторном стенде в газогенераторной лаборатории.

Схема установки газогенератора БГ при испытании на безмоторном стенде показана на фиг.9.



Фиг.9. Схема установки газогенератора БГ на безмоторном стенде.

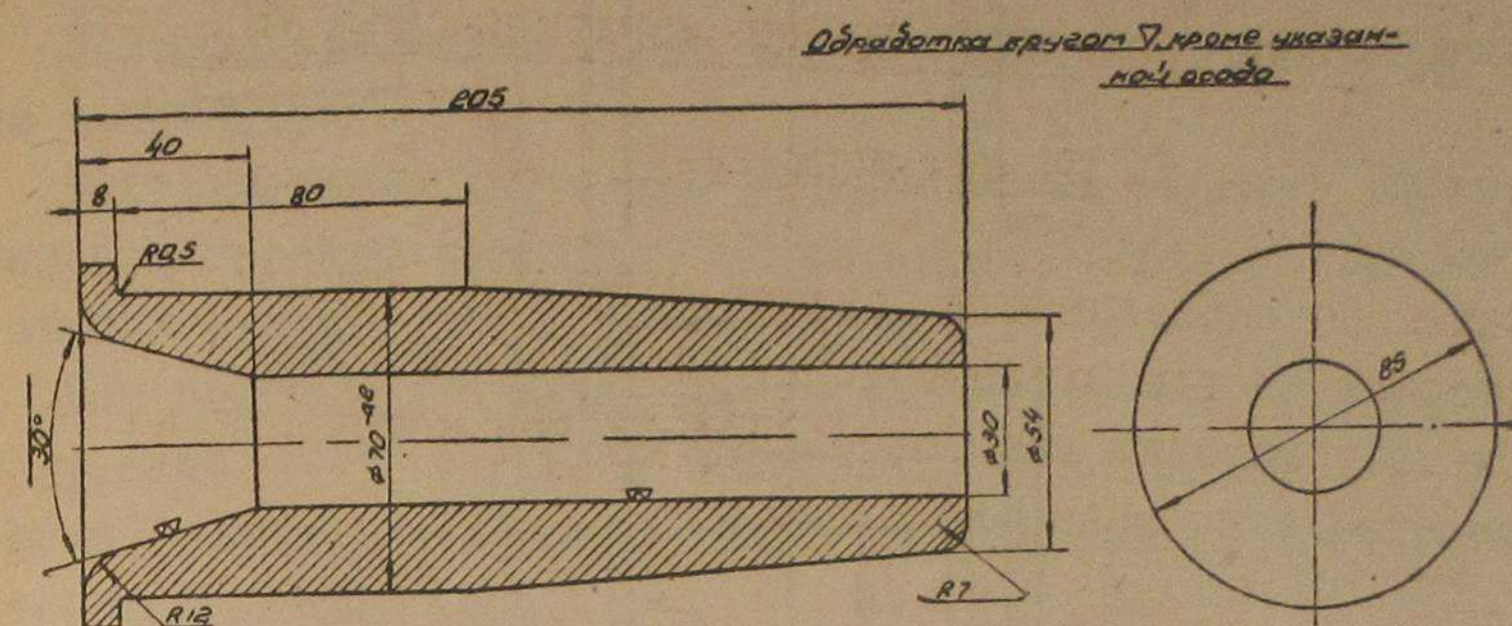
Безмоторный стенд состоял из вакуумнасоса /8/, дроссельного прибора /7/ для определения расхода газа, фильтра тонкой очистки /6/, скруббера /5/, циклона /2/ и газогенератора /1/. После скруббера газ отбирался в горелку калориметра с помощью вакуумного лабораторного насоса.

Для поддержания необходимого давления в газовой системе калориметра часть газа из ресивера перепускалась в атмосферу.

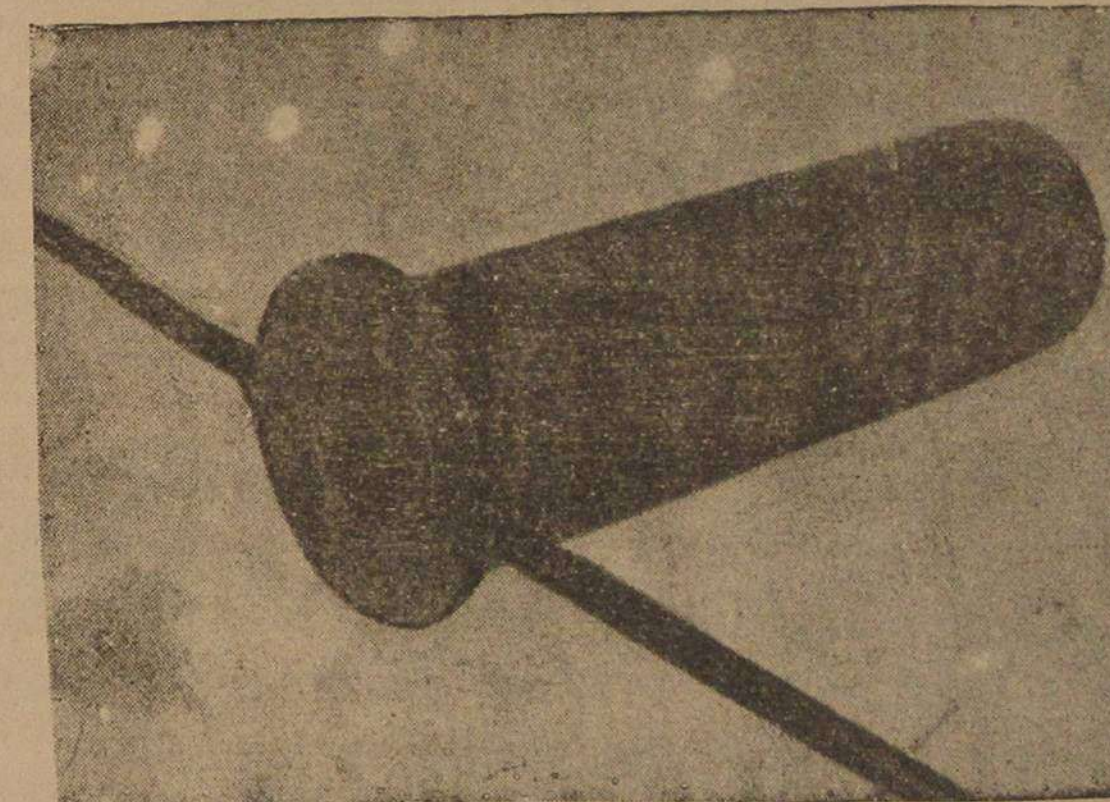
Для создания концентрированного потока газов факела при розжиге и увеличении скорости дутья в газогенератор вставляется дополнительная фурма, схема которой представлена на фиг.10. Фурма изготавливалась из стали 25 и имеет коническую форму для увеличения отвода тепла от переднего торца.

Указанная форма фурмы была выбрана на основании экспериментов с несколькими видами фурм. Основные опыты проводились с фурмой цилиндрической формы, показанной на фиг.II, имеющей

размеры обработанных поверхностей, не имеющие указаний о допусках, выдерживались с точностью $\pm 0,25$



Фиг. 10. Фурма.



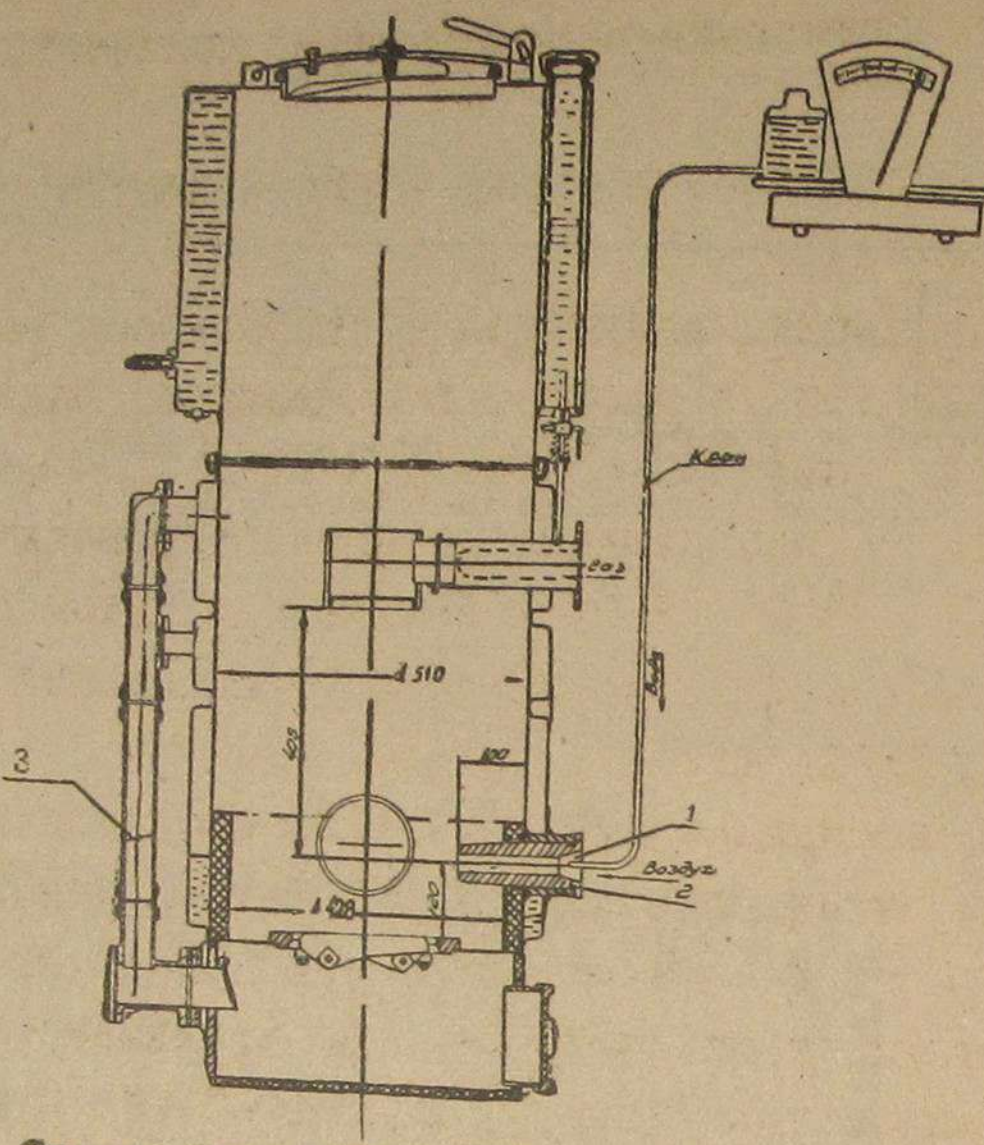
Фиг. II. Вспомогательная фурма для розжига (цилиндрическая).

Схема потока воздуха, газа и воды при розжиге с фурмой, показаны на фиг.12.

Воздух поступает при розжиге только через фурму I. Уплотнение фурмы обеспечивалось шнуром асбестом 2, пароводяная линия отсоединялась заслонкой 3, установленной в трубе паровоздушной смеси.

При розжиге подводилась вода по трубочке, устанавливаемой в центре отверстия фурмы.

Подвод воды при розжиге являлся необходимым не только для увеличения теплотворности газа, но главным образом для предохранения торца фурмы от обгорания.



Фиг. 12. Схема установки фурмы в газогенераторе БГ и движения потока воздуха, воды и газа при розжиге.

Фурма без охлаждения с носком из карбидной стали не выдерживала повторных розжигов, так как температура при розжиге по замерам оптическим пирометром превышала 1500°C .

Ввод воды приводил к сильному охлаждению кусков угля перед торцом фурмы и уменьшал температуру газов.

2. Методика опытов.

Опыты по исследованию розжига полукокса с различными скоростями дутья и увлажнением воздуха проводились на безмоторном стенде с Фурмой диаметром 30 мм.

Изменение скорости воздушного дутья достигалось изменением расхода газа. Отсасывание осуществлялось водокольцевым вакуумным насосом 8 /см. фиг. 9/. Расход газа определялся по перепаду давлений в диафрагме /7/ и приводился к нормальным условиям 0°C и 760 мм.рт.ст. на основании замера температуры и давления газа перед диафрагмой. Удельный вес газа принимался средний за опыт.

Расход воды, поступающий с воздухом в фурму из бачка, установленного на весах, регулировался кранником и определялся

по времени истечения определенного количества воды секундомером.

Вода подавалась в фурму через 2 минуты после воспламенения полукокса.

Воспламенение полукокса производилось газами, образующимися при горении керосина, смачивающего факел из хлопчатобумажных концов.

Все опыты проводились со свежезагруженным полукоксом, влажностью $W^P = 8\%-9\%$ и зольностью сухой массы $A^c = 5\%$. Розжиг производился после полного остывания газогенератора в течение 22-24 часов.

После воспламенения полукокса производился отбор проб газа, при выходе его из газогенератора через 2-3 мин.

Догорание газа не имело места при выходе из газогенератора, так как температура его не превышала 50°C .

В горелке калориметра, к которой газ подводился под давлением, фиксировался момент появления устойчивого газового пламени.

В течение опыта отбор проб газа производился в газовые бюретки емкостью 100 и 200 миллилитров. Анализ газа производился в газоанализаторе с раздельным дожиганием для определения H_2 и CH_4 . Кроме состава газа определялись температура газа после газогенератора и температура окружающей среды. Разрежения замерялись ртутными и водяными пьезометрами. Температуры газа определялись ртутными термометрами и термопарой.

Опыты по розжигу с вспомогательной фурмой проводились при расходе газа от 85 до 100 $\text{nm}^3/\text{час}$.

Увлажнение дутья проводилось в пределах расхода воды от 2,5 до 4 кг/час.

Расход газа при опытах с различным расходом воды в период розжига был выбран $60 \text{ nm}^3/\text{час}$, исходя из изложенных выше соображений.

Теплотворность газа рассчитывалась по уравнению:

$$Q_H^r = 30,5 \text{ CO} + 25,7 \text{ H}_2 + 84,65 \text{ CH}_4 \text{ ккал}/\text{nm}^3 /6/.$$

Расход воздуха, поступающего в газогенератор в период розжига, определялся по содержанию азота в газе и вычислил-

ся по уравнению:

$$\lambda_B = \frac{N_2^r \cdot V_r}{79} \text{ нм}^3/\text{час} /7/$$

Коэффициент избытка воздуха в процессе розжига в газогенераторе α_r - определялся по уравнению:

$$\alpha_r = \frac{N_2^r}{N_2^r - 3,762 O_2^r} /8/$$

где: N_2^r и O_2^r - содержание азота и кислорода в газе.

Этим коэффициентом определяется использование воздуха, поступающего в газогенератор, и ход изменения его характеризует распространение очага горения в слое топлива.

Увеличенные значения α_r характеризуют замедление процесса розжига. Нормальная величина $\alpha_r = 1,015$ при содержании $O_2 = 0,2\%$.

Для характеристики управляемости регулирования газовоздушной смеси по отдельным опытам подсчитывался коэффициент избытка воздуха для сгорания всего топлива α_t .

$$\alpha_t = \frac{1}{1 - \frac{79}{21} \cdot \frac{O_2 - [0,5(CO + H_2) + 2CH_4]}{N_2}} /9/$$

В этом уравнении участвуют полностью газы, определяемые при анализе.

Нормальная величина $\alpha_t = 0,502$ указывает о потребности воздуха для сгорания в двигателе. Ход изменения α_t характеризует при значениях $\alpha_t > 1$ невозможность регулирования качества смеси и только при значениях $\alpha_t < 1$ процесс приготовления газовоздушной смеси в смесителе становится возможным.

Теоретически необходимое количество воздуха для сгорания газа определялось из уравнения:

$$\ell_o = \frac{1}{0,21} [0,5(CO + H_2) + 2CH_4 - O_2] /10/$$

При ℓ_o - отрицательном, $\alpha_t > 1$.

Выход газа из полукокса в процессе розжига определялся по уравнению:

$$V_g = \frac{1,867 \cdot C^P}{(CO + CO_2 + CH_4)} \text{ нм}^3/\text{кг} /II/$$

где: C^P - содержание углерода в полукоксе принято 79,5% CO, CO_2, CH_4 - компоненты в газе в % по объему.

Величина C^P определена, исходя из содержания в горючей массе $C^r = 91\%$ и пересчитана по содержанию влаги в рабочем топливе $W^P = 8\%$ и золы $A^c = 5\%$.

Пересчет производился по уравнению:

$$C^P = C^r \cdot \frac{100 - (W^P + A^c)}{100} /12/$$

Содержание золы в рабочем топливе определялось из уравнения:

$$A^P = A^c \cdot \frac{(100 - W^P)}{100} /13/$$

где: A^c - содержание золы в сухом топливе.

Расход полукокса в процессе розжига определялся по уравнению:

$$G_r = \frac{V_r}{V_g} \text{ кг/час} /14/$$

где: V_r - расход газа в $\text{нм}^3/\text{час}$,

V_g - выход газа в нм^3 на 1 кг топлива.

Определяя расход полукокса при розжиге в течение 1 минуты и принимая значение его средним за прошедший отрезок времени, а затем суммируя эти величины был определен расход полукокса за период розжига.

Таким образом ход процесса розжига возможно оценивать по следующим критериям:

- 1/ Изменению состава газа по времени.
- 2/ Достижению минимального значения Q_h^r .
- 3/ Коэффициенту избытка воздуха в газогенераторе α_r .
- 4/ Коэффициенту избытка воздуха для сгорания топлива α_t .
- 5/ Теоретически необходимому количеству воздуха ℓ_o .
- 6/ Времени полного перехода двигателя на газ.
- 7/ Выходу газа в процессе розжига V_g .
- 8/ Расходу топлива в процессе розжига G_r .

Основными критериями оценки розжига является состав газа, количество газа и время перевода двигателя на газ.

Методика опытов при розжиге с наддувом излагается во второй части отчета.

3. Результаты опытов по розжигу полукокса со вспомогательной фирмой при различных скоростях дутья.

При розжиге со вспомогательной фирмой и различными расходами газа разрежение после газогенератора возрастало с повышением расхода газа, но в течение опыта на одном расходе газа уменьшалось, в связи с уменьшением количества воздуха, поступающего в газогенератор. После начала горения полукокса происходит резкое падение разрежения.

Об изменении разрежения после газогенератора дают представление данные, приведенные в таблице № 4.

Таблица № 4.

Разрежение после газогенератора в процессе розжига.

Дата	Расход газа в $\text{м}^3/\text{ч}$	Разрежение в мм. вод. ст. в период розжига T в мин.														
		$T=1$	2	3	4	5	6	7	8	9	10	II	12	13	14	15
4/XII-50	36,8	-	118	25	-	25	-	25	-	27	-	25	-	25	-	-
3/IU-51	61,0	-	-	48	-	46	-	46	-	46	-	44	-	50	-	-
I/II-51	103,0	-	115	-	105	-	100	-	100	-	98	-	95	-	95	-
3/II-51	101	-	-	-	120	-	145	-	115½	-	115	-	105	-	105	-
24/I-51	82,2	-	92	-	87	-	80	-	72	-	70	-	70	-	-	-

ПРИМЕЧАНИЕ: Время отсчитывалось с момента засасывания горящих газов факела в фуму.

Температура газа при выходе из газогенератора в период розжига непрерывно возрастает, так как температурный режим в очаге горения повышается.

Данные об изменении температуры газа в период розжига приведены в таблице № 5.

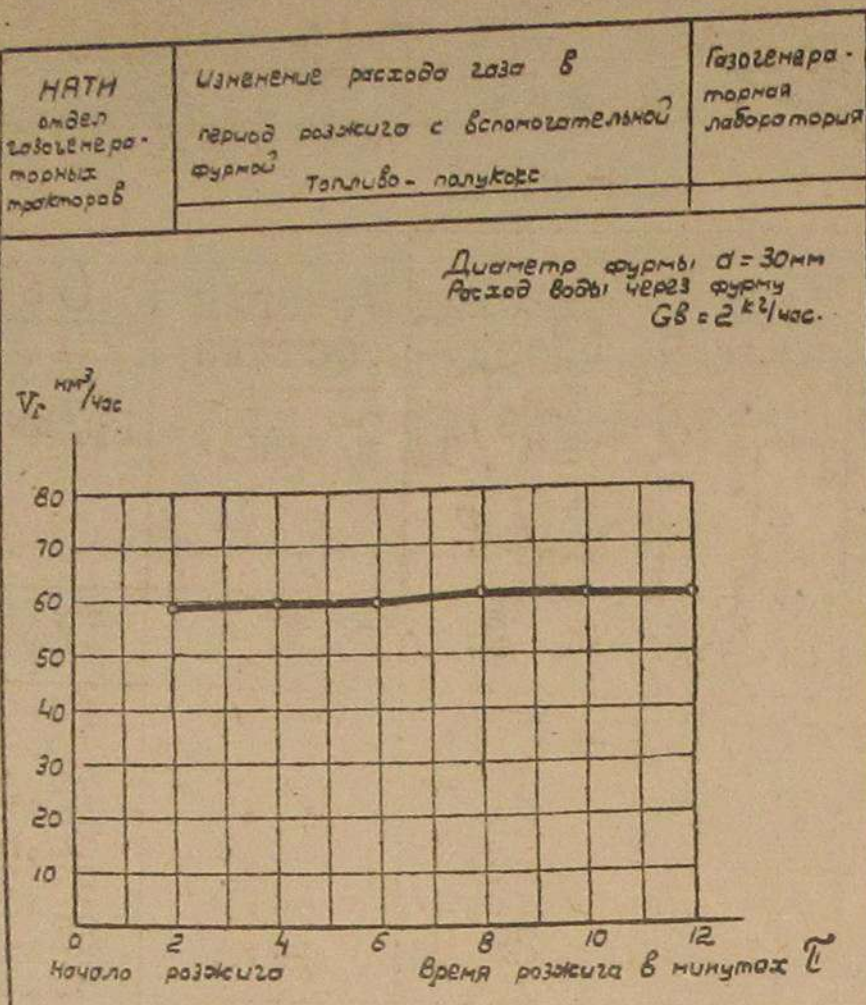
Таблица № 5.

Температура газа после газогенератора в период розжига.

Дата	Расход газа в $\text{м}^3/\text{ч}$	Temperatura gaza v $^{\circ}\text{C}$ v period rozhiga														
		1	2	3	4	5	6	7	8	9	10	II	12	13	14	15
4/XII-50	36,8	-	-	10	-	50	-	60	-	70	-	60	-	60	-	60
3/IU-51	61,0	5	-	5	-	5	-	5	-	8	-	8	-	8	-	10
I/II-51	103,5	-	-	-	-	48	-	-	56	-	60	-	56	-	56	-
3/II-51	101,0	-	-	-	8	-	22	-	34	-	38	-	50	-	66	-
24/I-51	82,2	-	18	-	19	-	24	-	40	-	42	-	62	-	-	-
	59,4	-	10	-	20	-	35	-	40	-	40	-	-	-	-	-

Из приведенных данных следует, что в период розжига происходило повышение температуры газа, но в пределах, исключающих возможность течения реакций между кислородом, содержащимся в газе и остальными компонентами. Возможность окисления горячей части газа в слое топлива, конечно, не исключалась в зонах с более высокой температурой, но эта сторона вопроса для практического использования результатов опытов не представляла интереса, так как необходимо было знать конечный состав газа на данном отрезке времени для питания двигателя при пуске его на газе.

Проверка изменения расхода газа в период розжига, результаты которого приведены на фиг. I3 показала, что расход газа в течение опыта повышается с 59,4 до 61,2 $\text{м}^3/\text{час}$, т.е. на 3%, в связи с чем можно считать расход газа постоянным. Расход газа определялся по среднему удельному весу и средним значениям температуры и давления газа перед дроссельным при-



Фиг. 13.

бороm.

В таблице № 6 приведены данные по изменению состава газа, теплотворной способности, удельному весу, в период розжига при различных расходах газа.

В этой таблице приведены расчетные данные по расходу воздуха \dot{m}_v , определенному по уравнению 7. Условная скорость воздушного дутья определялась по формуле:

$$W_6 = \frac{h^8}{\pi d^2 c_p} \cdot 3600 \text{ м/сек}$$

/15/

Отношение $\frac{G\theta}{L\theta}$, указанное в таблице, характеризует увлажнение дутья, которое в опытах не оставалось постоянным и находилось в пределах от 26 до 88 гр/нм³ воздуха, уменьшаясь с увеличением расхода газа.

Визуальные наблюдения показывали, что испарение воды происходило в конце фурмы и за пределами ее в слое угля.

Расход воздуха в период розжига уменьшается, как это показано на фиг. I4. Производная $\frac{dL}{d\tilde{t}}$ больше по величине

личине при больших расходах газа, чем при малых.

Таблица № 6.

3A

№ п/п	№ м³	$\frac{CO}{CO_2}$	Расход возду- ха м³/ч.	Условия состава дутья м/сек.	$G\delta$	d_r
					$L\delta$	
I		I4	I5	I6	I7	I8
I.		0,56	34,0	I3,4	73,0	I,25
1.		I,19	50,4	II,9	82,4	I,18
2.		I,56	29,4	II,6	85,2	I,10
3.		2,14	28,3	II,1	88,5	I,09
4.		2,48	28,3	II,1	88,5	I,12
5.						
6.		0,814	48,3	I9,0	51,8	I,39
7.		I,26	46,5	I8,6	55,8	I,20
8.		I,86	43,6	I7,2	57,2	I,18
9.		2,44	42,5	I6,6	59,1	I,14
10.		3,04	42,5	I6,7	58,8	I,12
II.		3,24	41,3	I6,3	60,5	I,10
I2.		0,37	99,0	39,0	27,2	3,15
I3.		0,82	97,5	38,4	27,7	I,70
I4.		I,07	94,8	37,3	28,5	I,56
I5.		I,62	85,0	33,4	31,7	I,11
I6.		2,75	80,2	31,6	33,6	I,09
I7.		3,83	77,5	30,5	34,8	I,09
I8.		0,44	56,9	22,4	45,6	I,34
I9.		0,96	52,9	20,7	49,5	I,24
20.		I,57	50,9	I9,7	51,9	I,29
21.		I,9	49,9	I9,5	52,5	I,18
22.		2,19	48,9	I9,9	53,1	I,16
23.		2,43	48,1	I8,9	54,0	I,13
24.		0,19	81,2	52,0	30,8	4,16
25.		0,18	80,2	31,6	31,2	2,72
26.		0,56	79,8	31,4	31,4	I,81
27.		I,2	75,6	29,9	33,0	I,62
28.		2,12	75,0	29,5	33,4	I,26
29.		2,94	69,0	27,2	36,2	I,25
30.	2	0,43	98,9	39,9	26,3	2,96
31.		0,95	94,1	37,1	27,6	I,63
32.		I,48	91,1	35,9	28,5	I,25
33.		2,69	84,5	33,3	30,6	I,07
34.		4,0	82,5	32,4	31,6	I,11
35.		4,4	81,4	32,0	32,0	I,06

Таблица № 6.

СОСТАВ ГАЗОВ ПРИ РОЖИГЕ ПОЛУКОКСА С ДОПОЛНИТЕЛЬНОЙ ФУРМОЙ В ЗАВИСИМОСТИ ОТ РАСХОДА ГАЗА.

№ № п/п	Дата опыта	Расход газа нм ³ /час <i>V_r</i>	Расход воды кг/час <i>G_б</i>	Время отбора газа от начала режига	Состав газа в % по объему						Низшая тепло- творность газа	<i>J'</i> кг/м ³	<i>CO</i> <i>CO₂</i>	Расход возду- ха нм ³ /ч. <i>L_б</i>	Условия состава дутья и/сек.	<i>G_б</i> гр/мм ³	<i>d_r</i>
					<i>CO</i>	<i>CO₂</i>	<i>O₂</i>	<i>CH₄</i>	<i>H₂</i>	<i>N₂</i>							
I	2	3	4	5	6	7	8	9	10	II	12	13	14	15	16	17	18
1.	4/XI-50 г.	36,8	2,5	I	6,4	II,4	4,2	0,2	I,8	75,0	260	I,3	0,56	34,0	I,4	73,0	I,25
2.	-"	-"	-"	6	12,6	10,6	2,0	0,6	7,6	66,4	630	I,24	I,19	50,4	II,9	82,4	I,18
3.	-"	-"	-"	9	15,4	9,9	I,4	0,6	9,2	63,2	760	I,21	I,56	29,4	II,6	85,2	I,10
4.	-"	-"	-"	II	18,4	8,6	I,4	0,2	10,6	60,8	845	I,19	2,14	28,3	II,1	88,5	I,09
5.	-"	-"	-"	II	19,4	7,8	I,8	0,2	9,8	60,8	870	I,19	2,48	28,5	II,1	88,5	I,12
6.	24/XI-50 г.	51	2,5	2	7,8	9,6	5,6	I,6	0,4	74,8	385	I,32	0,814	48,3	I,0	51,8	I,39
7.	-"	-"	-"	5	12,6	10,0	3,2	I,8	0,4	72,0	545	I,32	I,26	46,5	I,6	53,8	I,20
8.	-"	-"	-"	7	16,4	8,8	2,8	2,4	2,0	67,6	750	I,28	I,86	43,6	I,2	57,2	I,18
9.	-"	-"	-"	IO	19,0	7,8	2,2	2,4	2,4	66,2	845	I,26	2,44	42,5	I,6	59,1	I,14
10.	-"	-"	-"	II	20,6	6,8	2,0	2,8	2,0	65,8	917	I,27	3,04	42,5	I,7	58,8	I,12
II.	-"	-"	-"	II	22,0	6,8	I,6	2,2	3,4	64,0	945	I,25	3,24	41,5	I,3	60,5	I,10
12.	I/II-51 г.	103,5	2,7	3	1,8	4,8	I3,8	0,4	2,6	76,0	156	I,27	0,37	99,0	39,0	27,2	3,15
13.	-"	-"	-"	5	6,4	7,8	8,2	2,0	0,2	75,4	370	I,3	0,82	97,5	38,4	27,7	I,70
14.	-"	-"	-"	7	9,2	8,6	6,0	2,8	0,6	72,8	534	I,3	I,07	94,8	37,3	28,5	I,56
15.	-"	-"	-"	9	15,2	9,4	I,8	0,6	7,4	65,6	702	I,23	I,62	85,0	33,4	31,7	I,11
16.	-"	-"	-"	II	19,8	7,2	I,4	0,8	8,8	62,0	894	I,2	2,75	80,2	31,6	33,6	I,09
17.	-"	-"	-"	II	22,2	5,8	I,4	0,4	10,2	60,0	969	I,17	5,83	77,5	30,5	34,8	I,09
18.	3/IV-51 г.	61,0	2,6	3	4,8	10,8	5,0	0,4	5,4	73,6	320	I,27	0,44	56,0	22,4	45,6	I,34
19.	-"	-"	-"	5	9,6	10,0	3,6	0,4	8,2	68,0	544	I,23	0,96	52,5	20,7	49,5	I,24
20.	-"	-"	-"	7	13,0	8,8	2,8	0,4	9,4	64,8	700	I,2	I,57	50,1	19,7	51,9	I,19
21.	-"	-"	-"	9	15,2	8,0	2,6	0,4	9,6	64,0	747	I,2	I,9	49,5	19,5	52,5	I,18
22.	-"	-"	-"	II	16,2	7,4	2,4	0,4	10,2	63,2	794	I,19	2,19	48,9	19,2	53,1	I,16
23.	-"	-"	-"	II	17,0	7,0	2,0	0,4	II,2	68,4	844	I,17	2,43	48,1	18,0	54,0	I,13
24.	24/I-51 г.	82,2	2,5	2	0,8	4,2	I5,8	0,2	0,2	78,2	46,5I	I,3	0,19	81,2	32,0	30,8	4,16
25.	-"	-"	-"	4	I,4	7,8	I3,0	0,2	0,2	77,2	64,8	I,32	0,18	80,2	31,6	31,2	2,72
26.	-"	-"	-"	6	4,8	8,6	9,2	0,4	0,2	76,8	I85,I	I,33	0,56	79,8	31,4	31,4	I,81
27.	-"	-"	-"	8	9,6	8,0	7,4	I,4	0,4	72,8	422,0	I,5	I,2	75,6	29,8	33,0	I,62
28.	-"	-"	-"	IO	14,4	6,8	4,0	0,4	1,6	72,2	512	I,28	2,12	75,0	29,5	33,4	I,26
29.	-"	-"	-"	I2	I8,8	6,4	3,6	0,4	3,8	66,4	702	I,25	2,94	69,0	27,2	36,2	I,25
30.	3/II-51 г.	101,0	2,6	2	2,4	5,6	I3,6	0,0	I,0	77,2	I84	I,32	0,43	98,9	39,9	26,3	2,96
31.	-"	-"	-"	5	8,0	8,4	7,6	0,8	I,4	73,8	347	I,3	0,95	94,7	37,1	27,6	I,63
32.	-"	-"	-"	7	I3,6	9,2	3,8	0,4	I,8	71,2	493	I,3	I,48	91,7	35,9	28,5	I,25
33.	-"	-"	-"	IO	21,0	7,8	I,2	0,4	3,6	66,0	764	I,3	2,69	84,5	33,3	30,6	I,07
34.	-"	-"	-"	I2	22,4	5,6	I,8	0,4	4,0	65,8	828	I,27	4,0	82,5	32,4	31,6	I,06
35.	-"	-"	-"	I4	24,6	5,6	0,8	0,4	5,0	63,6	908	I,28	4,4	81,4	32,0	32,0	I,06

Продолжение таблицы № 6.

I	2	3	4	5	6	7	8	9	10	II	12	13	14	15	16	17	18
36.	I8/Y-5I г.	79	2,7	2,2	9,4	6,2	0,4	4,4	77,4	214	I,27	0,23	77,4	30,5	34,9	I,45	
37.	-"	-"	-"	II,2	I0,6	I,4	0,2	8,0	68,2	563	I,23	I,05	68,2	26,8	39,6	I,08	
38.	-"	-"	-"	I5,0	8,6	I,2	0,4	I3,2	61,6	829	I,16	I,75	61,6	24,2	43,9	I,07	
39.	-"	-"	-"	I9,8	7,6	I,0	0,4	I0,8	60,0	912	I,18	2,6	60,0	23,6	45,0	I,06	
40.	-"	-"	-"	I8	20,4	7,0	I,2	0,4	I0,2	60,4	915	I,18	2,91	60,4	23,8	44,6	I,08
41.	-"	-"	-"	I8	24,6	5,4	0,8	0,4	8,6	60,0	I001	I,18	4,55	60,0	23,6	45,0	I,05
42.	I9/Y-5I г.	51,2	2,7	2,5	I0,0	I0,8	I,6	3,2	I,4	72,0	514	I,29	0,93	47,0	I8,5	57,6	I,09
43.	-"	-"	-"	I8	I7,2	8,4	I,4	0,4	7,6	64,0	751	I,22	2,05	42,9	I6,5	64,3	I,08
44.	-"	-"	-"	I0	I7,8	7,6	0,6	0,4	8,8	64,8	800	I,20	2,4	42,0	I6,5	64,3	I,05
45.	-"	-"	-"	I3	22,0	7,1	I,0	0,4	7,8	61,6	902	I,21	3,1	40,2	I5,8	67,0	I,06
46.	-"	-"	-"	I3	23,0	6,4	I,0	0,4	8,0	60,6	937	I,20	3,6	39,5	I5,5	68,4	I,06

Условная скорость воздушного дутья в опытах по розжигу в пределах от II до 39 м/сек.

На фиг. 15 и 16 представлено изменение содержания и период розжига в газе N_2 и O_2 .

На фиг. 17 и 18 соответственно CO_2 и CO .

На фиг. 18/а - CO/CO_2 .

На фиг. 19 и 20 - содержание в газе H_2 и CH_4 .

На фиг. 21 - теплотворная способность газа.

На фиг. 22 показано изменение коэффициента избытка воздуха в процессе розжига при различных расходах газа, а на фиг. 23 изменение в расходе топлива, выходе газа при двух расходах газа 51 и 101 $\text{м}^3/\text{час}$.

Изучение состава газа и произведенные расчеты α_r , α_t и ℓ , количества воздуха, необходимого для сгорания газа и других показателей позволило сделать следующие выводы:

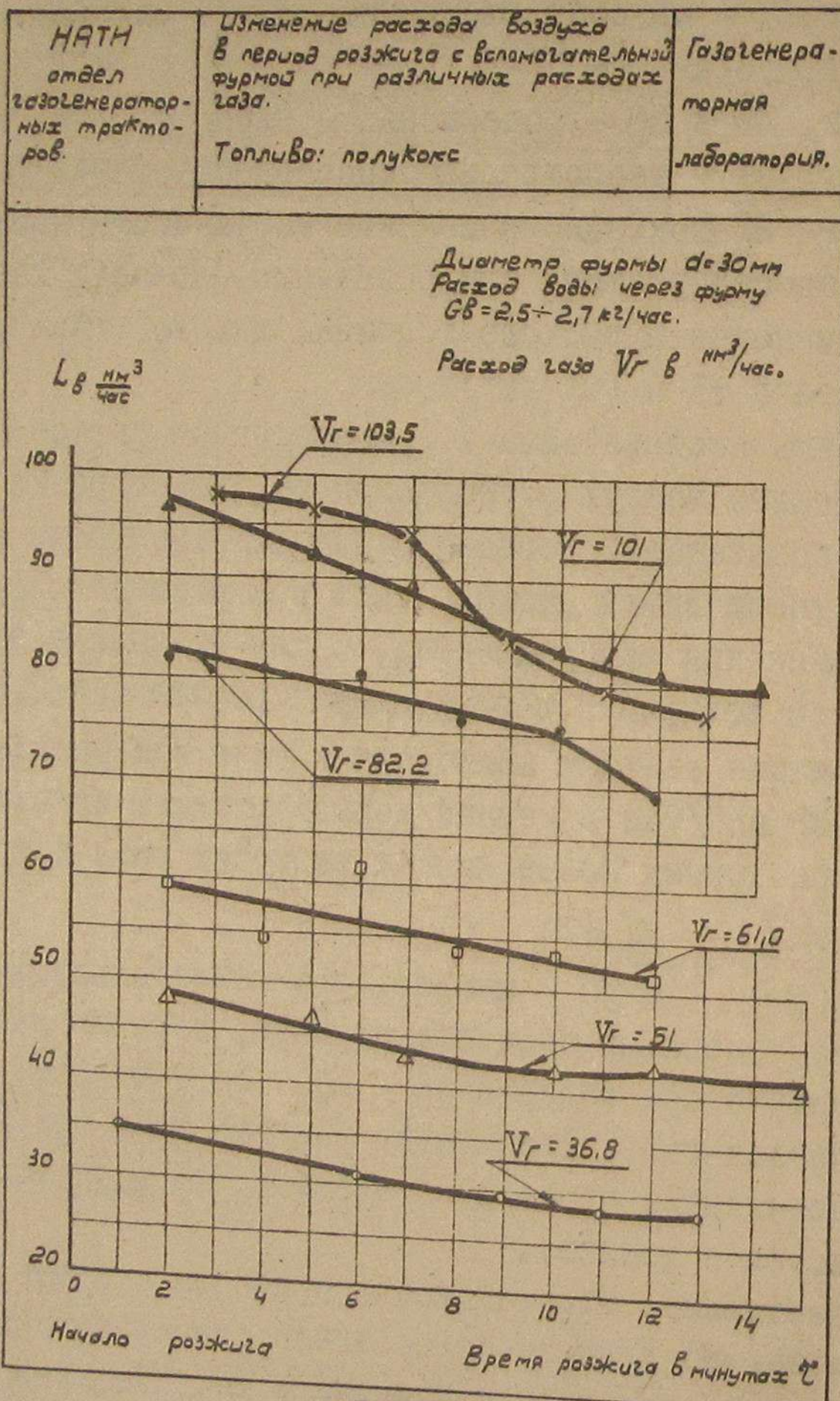
1. С увеличением расхода газа при розжиге с формой периода воспламенения задерживается, о чем указывает значительный избыток воздуха в первые минуты розжига /фиг. 15, 16 и 22/.

Содержание азота и кислорода в газе при расходах газа в 101 и 103 $\text{м}^3/\text{час}$ в первый период розжига значительно выше, чем при других более низких расходах газа и производные

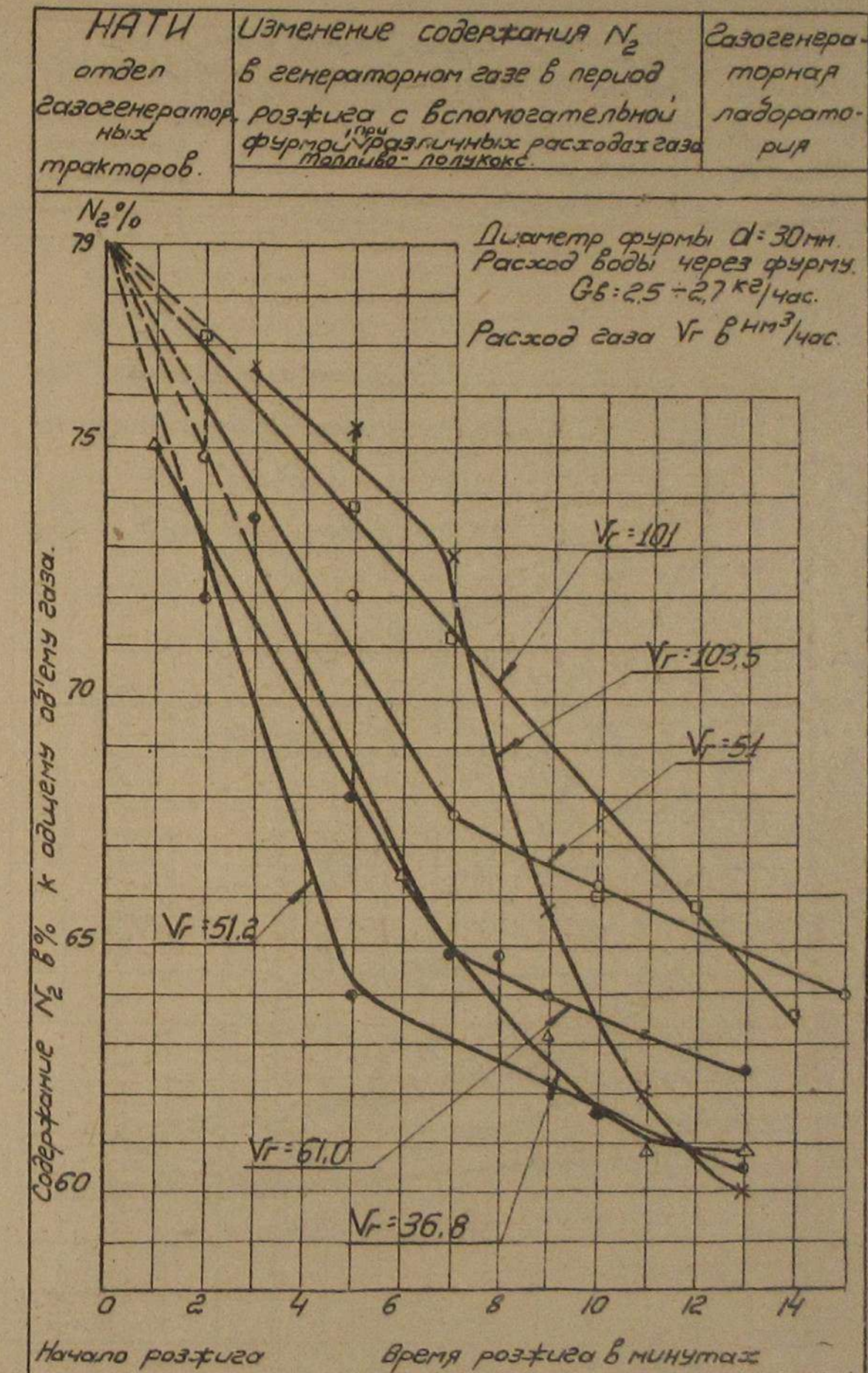
$\frac{dN_2}{dt}$, $\frac{dO_2}{dt}$ и $\frac{d\alpha_r}{dt}$ меньше, что свидетельствует о менее интенсивном развитии процесса розжига, хотя и завершающегося на 9-10 минуте при содержании O_2 более низком, чем при малых расходах газа. Увеличение расхода газа при розжиге с формой растягивает процесс по времени, но происходит в большем объеме слоя топлива.

2. Замедленное воспламенение приводит к более четкому разграничению по времени образования очага горения, которое характеризуется наличием максимума в течение кривой CO_2 , представленной на фиг. 17. Такой максимум отмечается при расходе 101 и 103,5 $\text{м}^3/\text{час}$. Он наблюдается и при более низком расходе газа в случае замедления воспламенения полукокса и дальнейшее развитие процесса растягивается по времени.

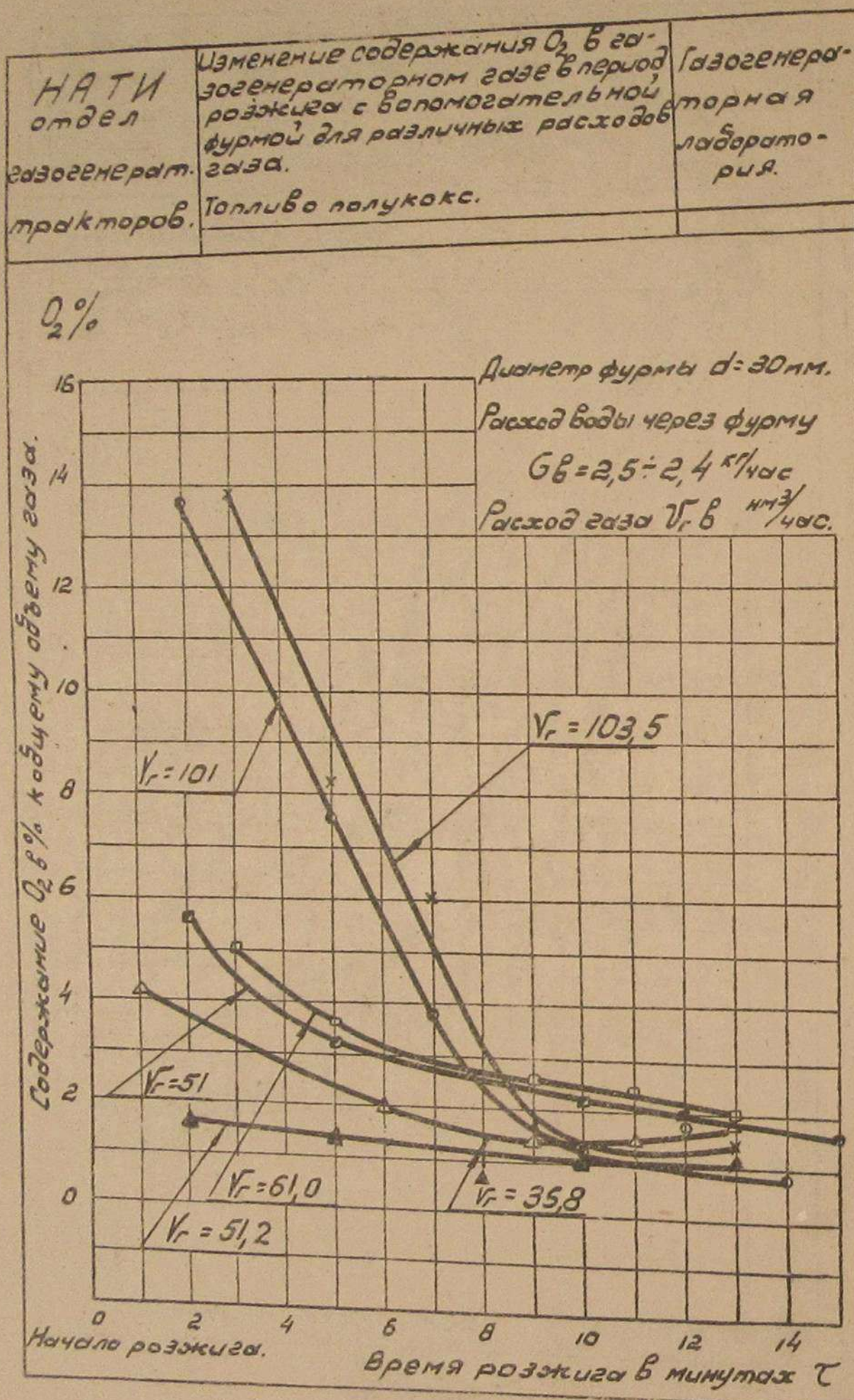
3. В ходе процесса образования CO отмечается перелом по времени, когда дальнейшее образование CO увеличивается линейно, но при меньшей скорости образования по времени.



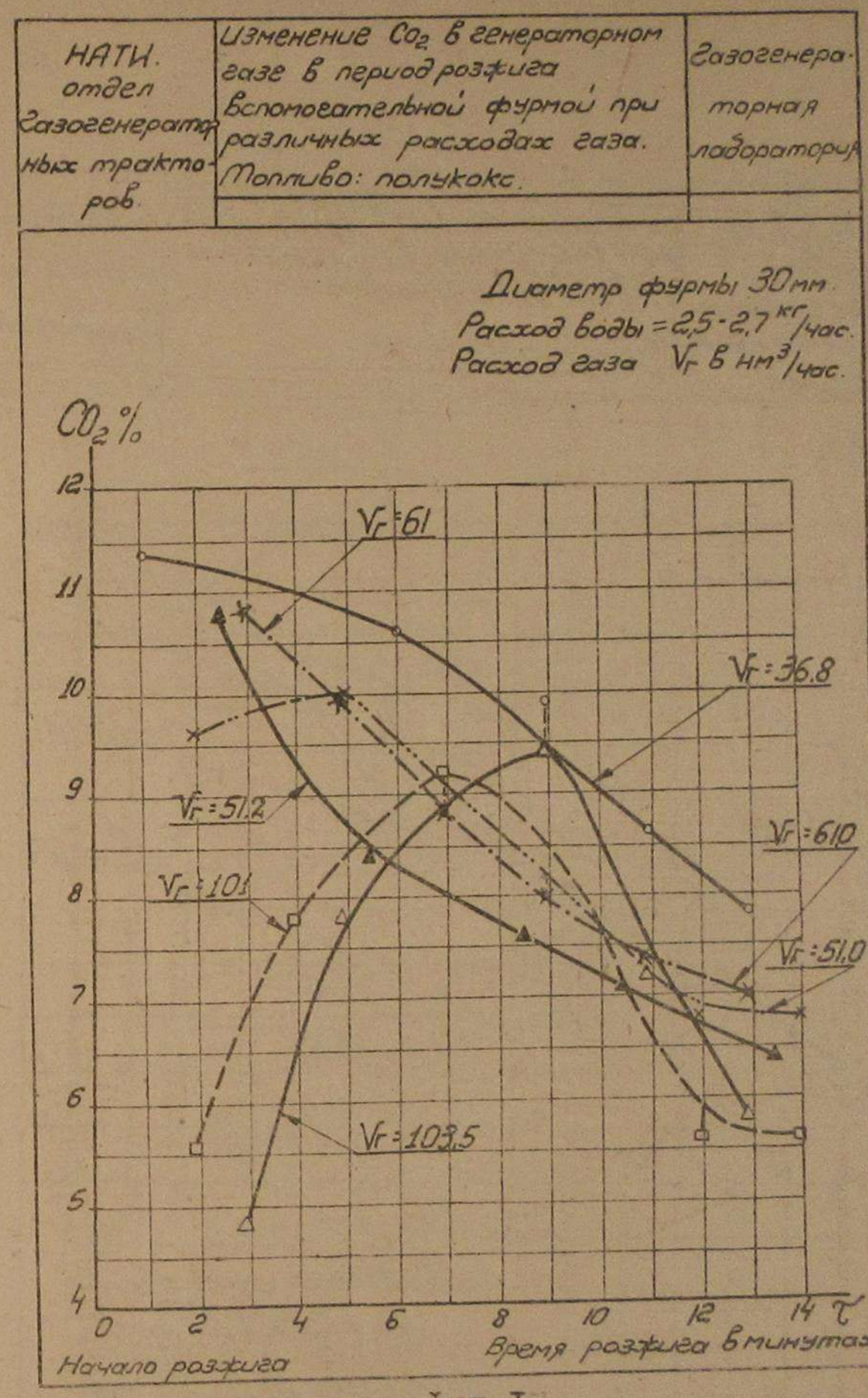
Фиг. 14.



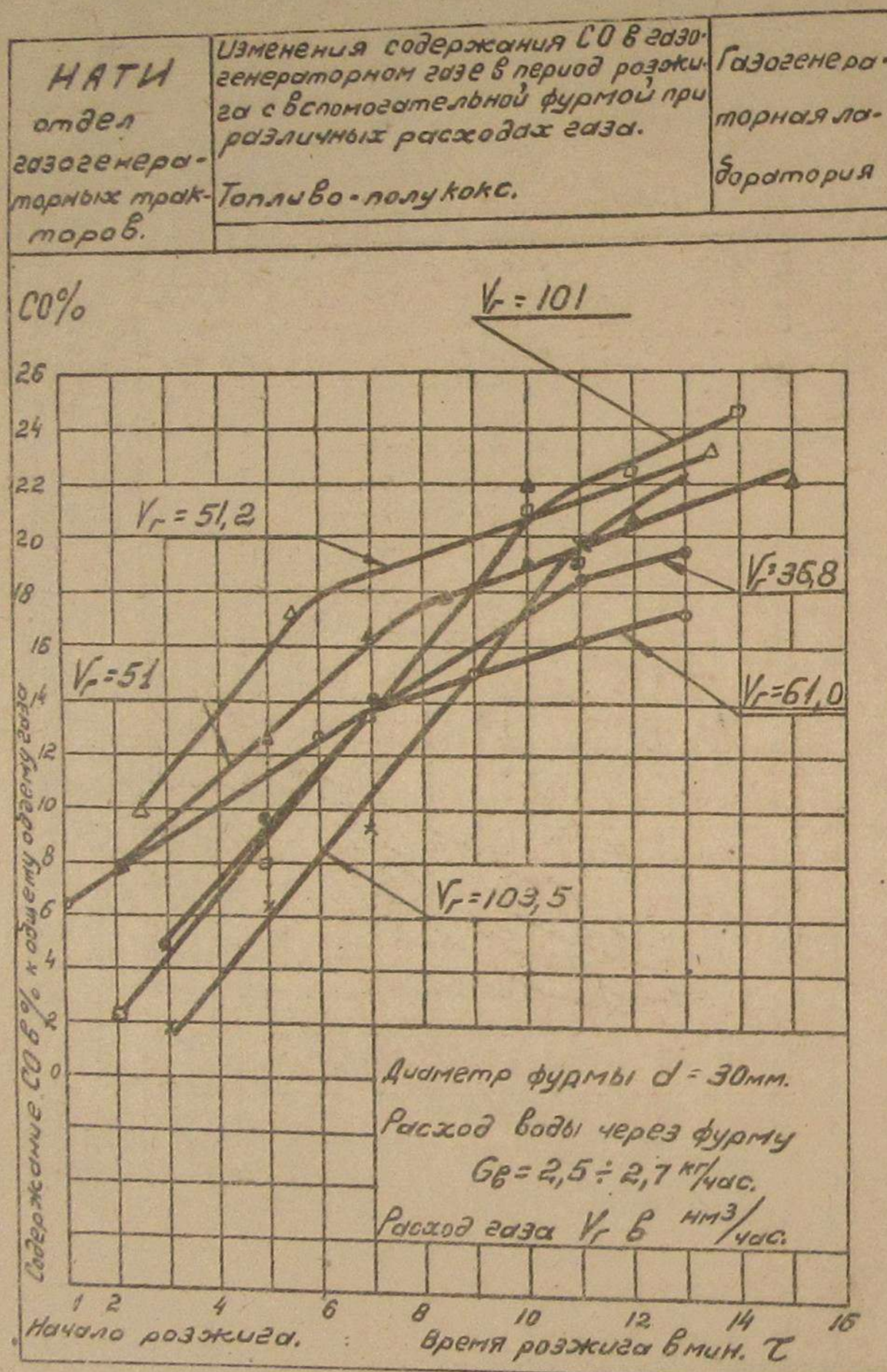
Фиг. 15.



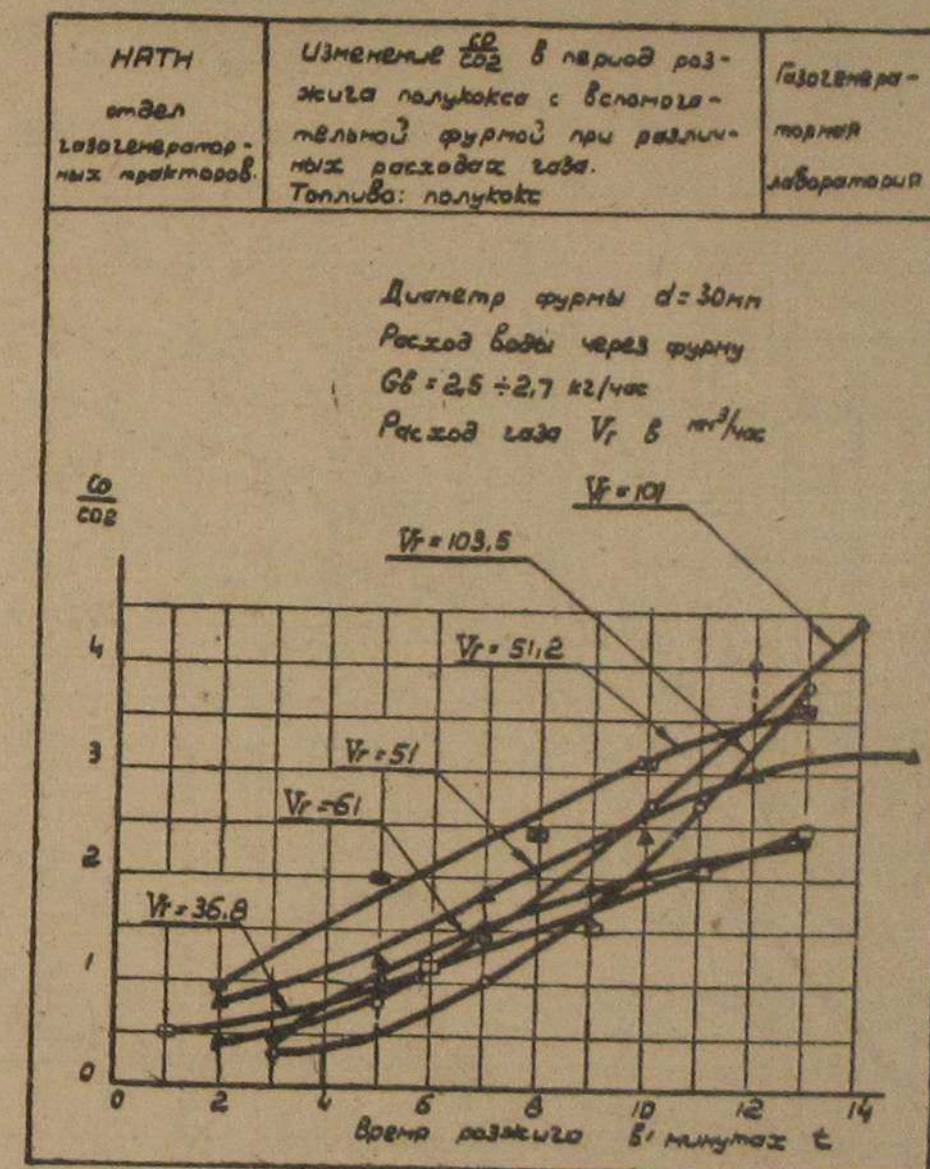
ФИГ. I6.



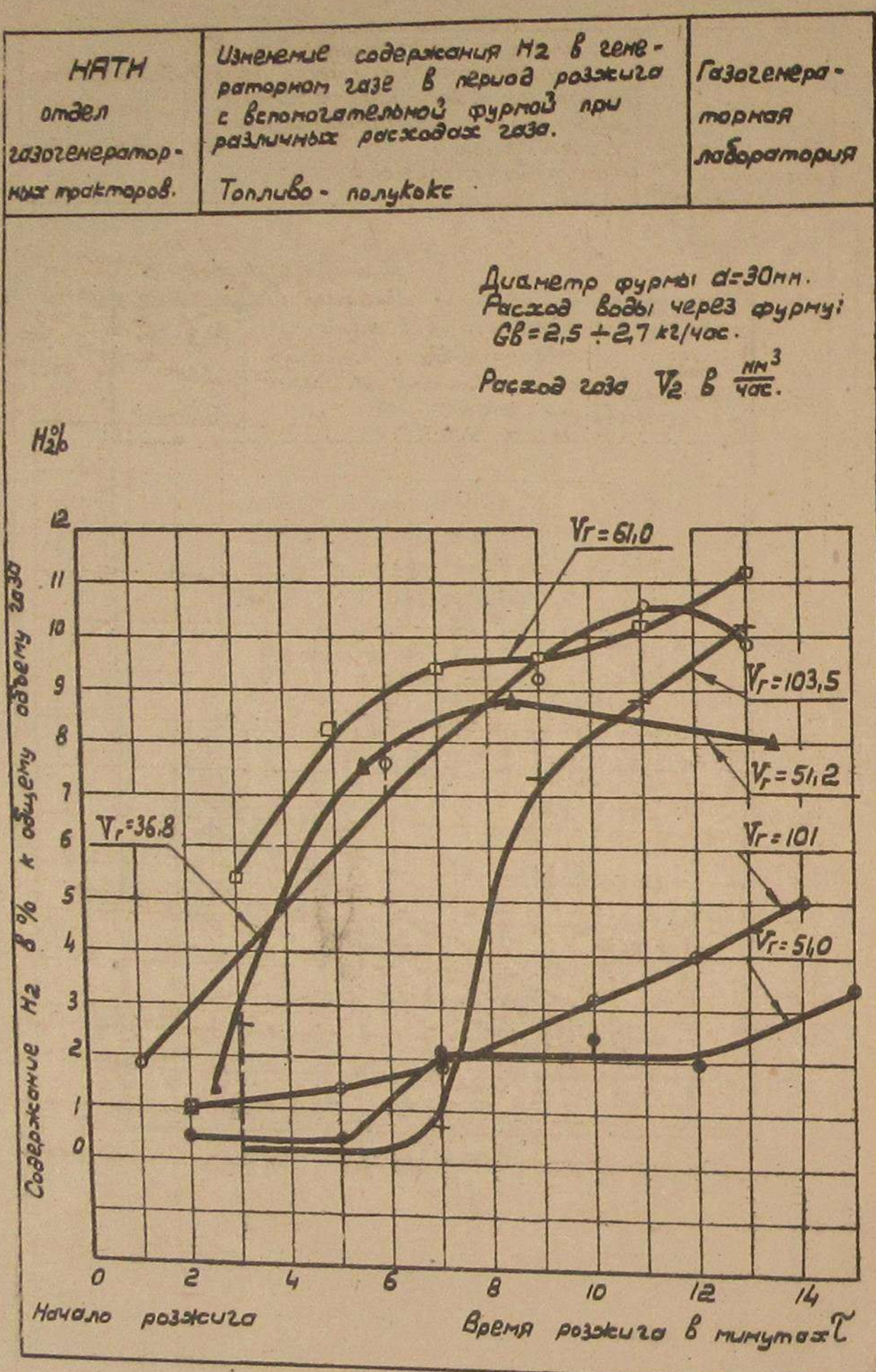
ФИГ. I7.



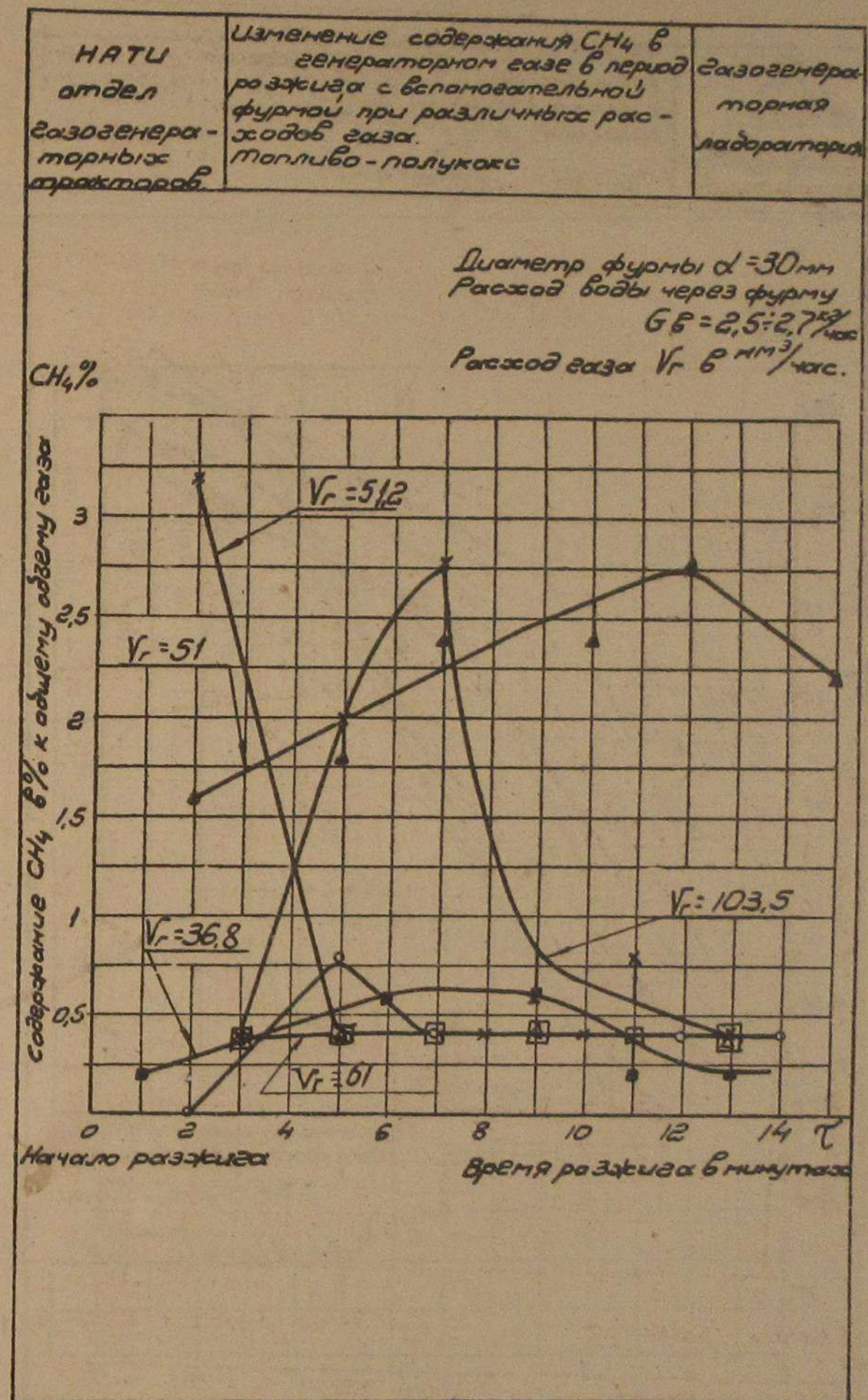
Фиг. 18



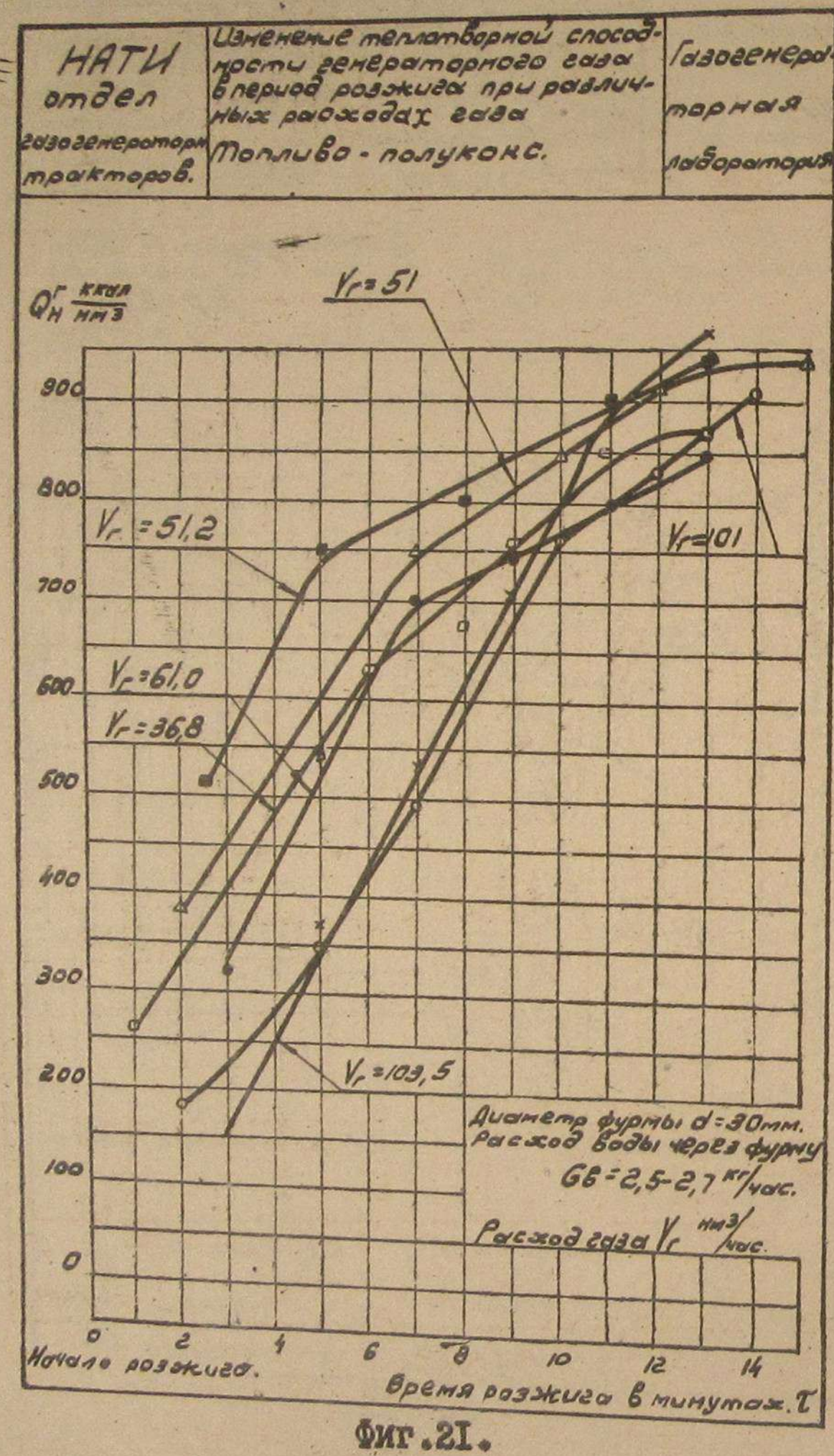
Фиг. 18 а.



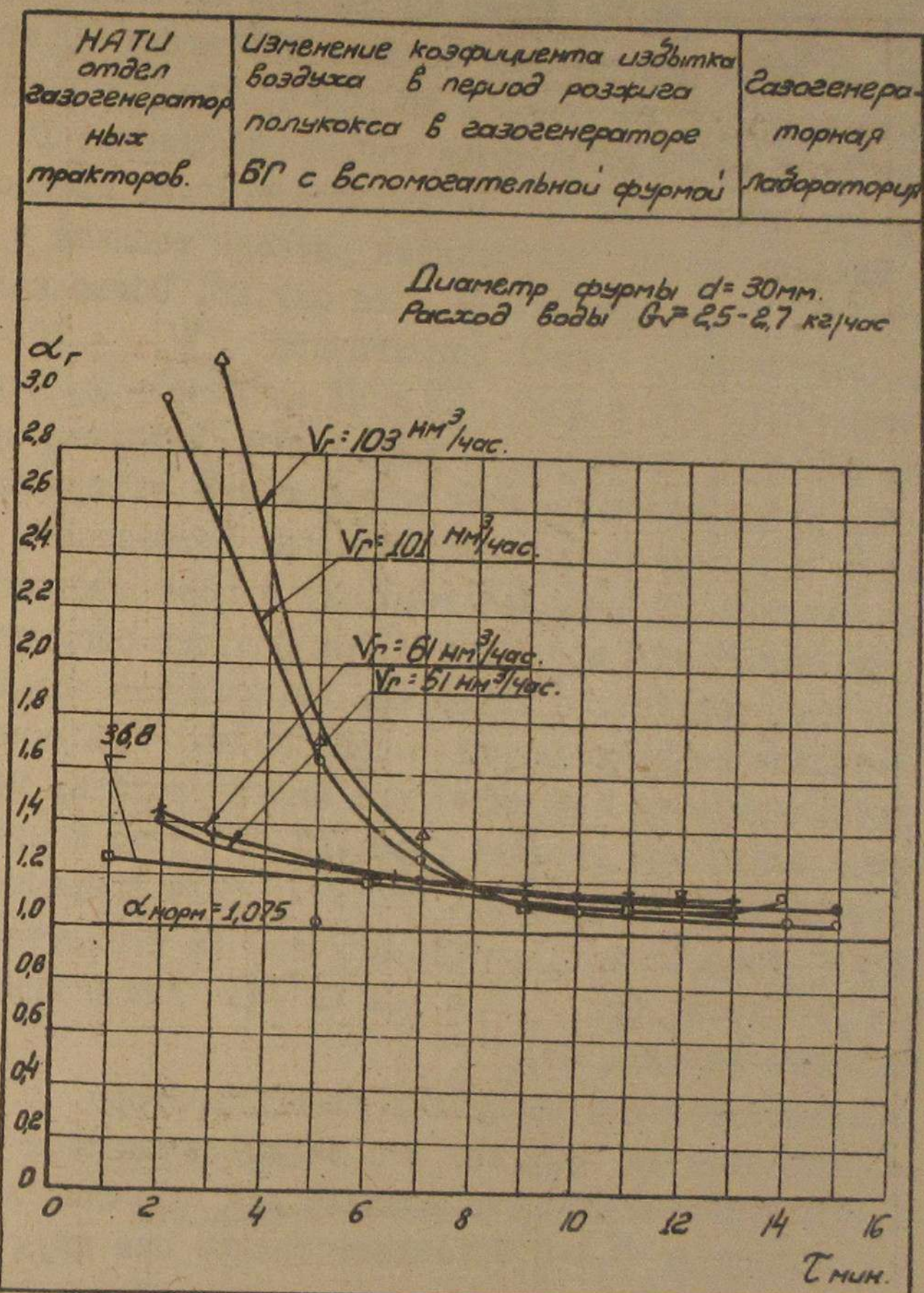
Фиг. 19.



Фиг. 20.



Фиг. 21.



Фиг. 22.

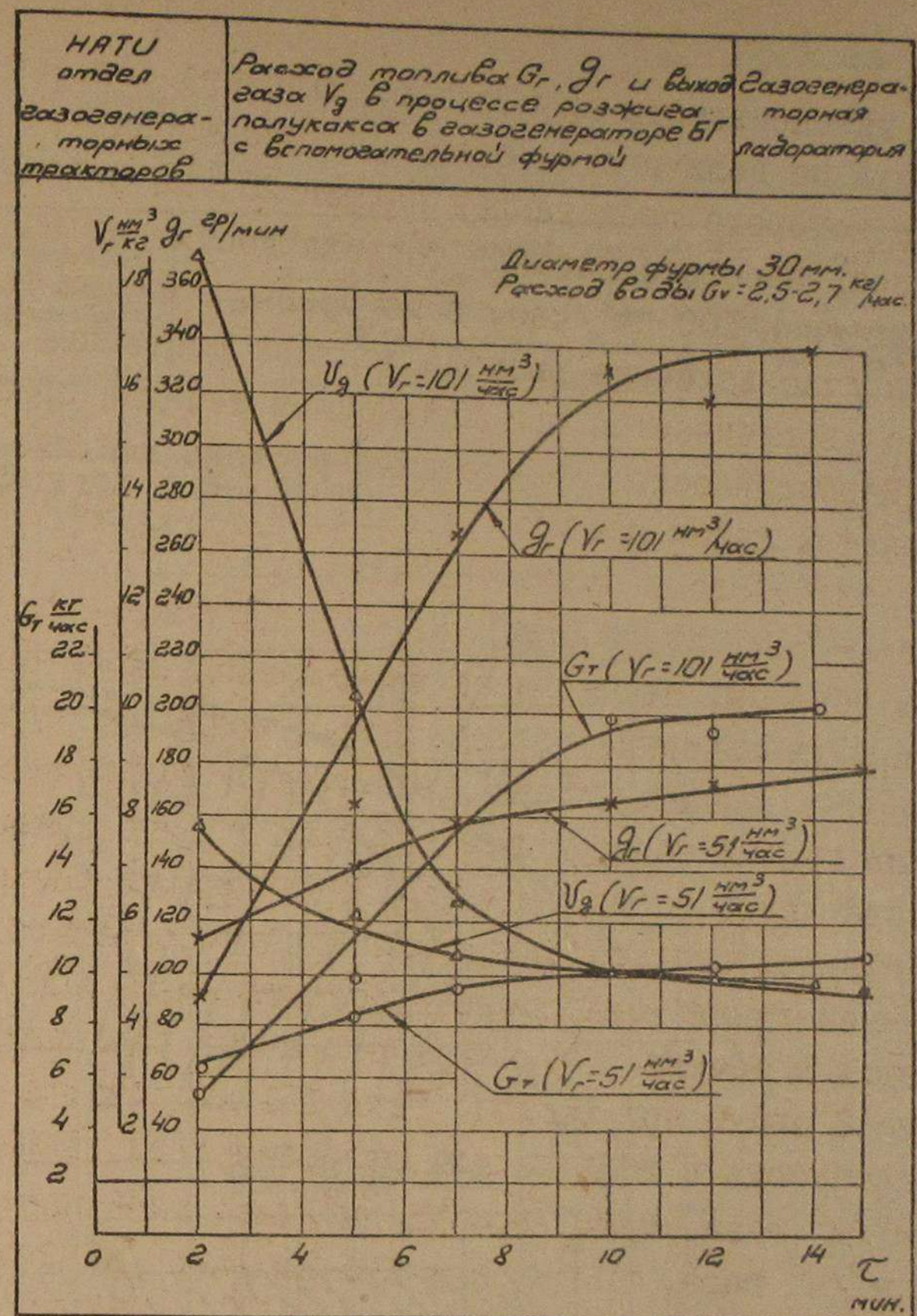
4. Об интенсивности процесса розжига при больших расходах можно судить по величине часового расхода топлива, характер протекания которого представлен на фиг. 23. На 9-10 минуте интенсивность часового расхода топлива достигает 20 кг/час при расходе газа 101 $\text{м}^3/\text{час}$, в то время, как при расходе газа 51 $\text{м}^3/\text{час}$ величина расхода топлива достигает 10 кг/час. и медленно увеличивается при дальнейшем течении процесса розжига. Интенсивность нарастания расхода топлива в минуту иллюстрируется ходом кривых G_t на фиг. 23. Общее количество топлива, сожженного в период розжига при $V_r = 101 \text{ м}^3/\text{час}$ составляет - 3,77 кг, а при $V_r = 51 \text{ м}^3/\text{час}$ - 2,15 кг.

Таким образом, несмотря на замедленный характер воспламенения при увеличенном расходе дутья, можно утверждать, что объем зоны в период розжига значительно возрастает.

5. Ход кривых образования водорода в газе показывает низкое содержание водорода в газе при больших расходах газа в связи с недостаточно подававшимся количеством воды.

6. Минимальная теплотворная способность - 600 ккал/ м^3 достигается в течение 5-6 минут при малых расходах газа и в течение 8 минут при расходе газа 101 $\text{м}^3/\text{час}$. К этому времени потребность в воздухе для сгорания газа возрастает до 0,4 $\text{м}^3/\text{м}^3$ газа, при $V_r = 51 \text{ м}^3/\text{час}$. на 6 минуте, и до 0,38 $\text{м}^3/\text{м}^3$ газа, при $V_r = 101 \text{ м}^3/\text{час}$ /на 8 минуте/, как это видно на фиг. 24.

Коэффициент избытка воздуха в газогенераторе d_r к этому времени снижается до 1,05, как это видно из таблицы № 7 и фиг. 22, а коэффициент избытка воздуха для сгорания всего топлива d_t падает до 0,6-0,7 соответственно при двух указанных расходах газа.

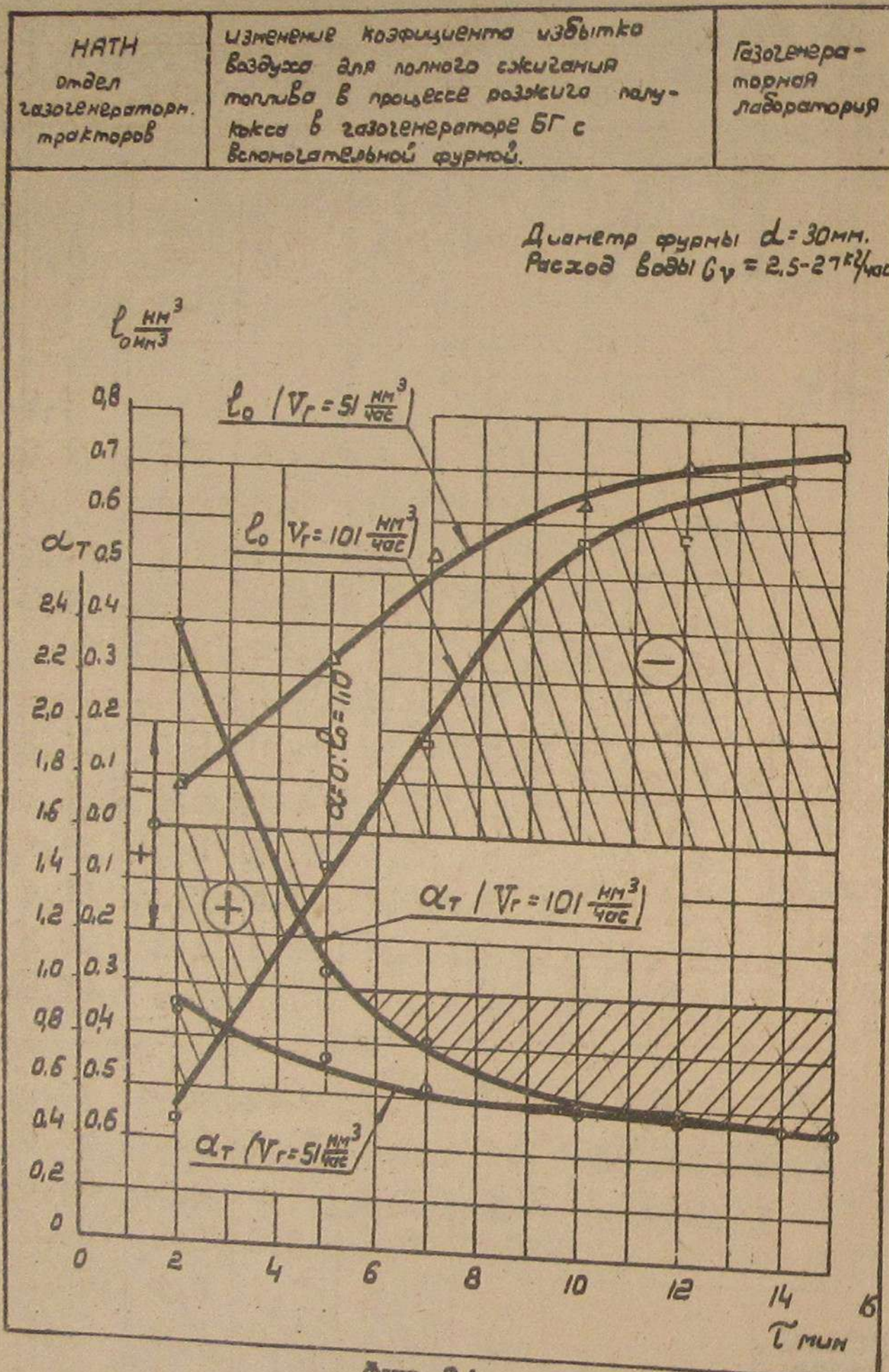


Фиг. 23.

Таблица № 7.

Коэффициент избытка воздуха в процессе розжига полукокса d_r и d_t

№ № п/п	•Расход. газа $\text{м}^3/\text{час}$	\bar{t} МИН.	d_r	d_t	№ № п/п	•Расх. газа $\text{м}^3/\text{ч.}$	\bar{t} МИН.	d_r	d_t
I.	51	2	1,39	0,92	7.	101	2	2,97	2,38
2.	"	5	1,03	0,73	8.	"	5	1,68	1,07
3.	"	7	1,18	0,62	9.	"	7	1,26	0,80
4.	"	10	1,14	0,57	10.	"	10	1,07	0,59
5.	"	12	1,12	0,54	11.	"	12	1,12	0,58
6.	"	15	1,11	0,52	12.	"	14	1,05	0,53



Фиг. 24.

Таблица № 8.
Изменение состава газа при разжиге полу-
кокса с различной подачей воды в воздушное дутье.

Расход во- ды через форму в период подно- са фа- кела в кг/час.	Время после подно- са фа- кела в ми- нутах	Состав газа в % по объему.						Теплотвор- ная способ- ность газа в кал/нм ³ Q_H^r
		CO	H ₂	CH ₄	CO ₂	O ₂	N ₂	
2	2	1,4	0,4	0,0	7,0	II,4	79,0	138
	4	12,4	1,0	1,6	10,6	3,2	71,0	539
	6	17,0	3,8	0,8	8,8	2,4	67,0	682
	9	21,8	6,0	0,4	6,4	2,4	63,0	850
	12	20,6	5,2	0,4	6,8	2,6	64,2	793
	15	19,0	4,4	0,0	7,4	3,0	66	775
2,14	2	2,4	1,8	1,2	8,0	9,6	76,8	222,1
	5	9,6	5,0	0,8	9,0	4,8	70,2	488,0
	7	13,8	9,4	0,8	8,6	3,0	64,4	728,3
	9	15,2	14,4	0,4	7,4	2,2	60,4	866,3
	12	17,6	13,8	0,4	6,6	1,8	59,2	922,5
	14	20,0	9,2	0,4	7,0	1,6	61,6	877,0
3,8	3	4,8	5,4	0,4	10,8	5,0	73,6	320
	5	9,6	8,2	0,4	10,0	3,6	68,0	544
	7	13,8	9,4	0,4	8,8	2,8	64,8	700
	9	15,2	9,6	0,4	8,0	2,6	64,0	747
	II	16,2	10,2	0,4	7,4	2,4	63,2	794
	III	17,0	II,2	0,4	7,0	2,0	62,4	844
4,5	2	6,0	3,6	0,0	8,6	7,4	74,4	274
	4	9,4	9,4	0,4	10,0	4,0	66,8	561,3
	6	13,8	9,0	0,2	9,0	3,4	64,4	668
	8	12,4	II,4	0,4	8,8	3,8	63,8	703,3
	10	15,6	8,8	0,2	8,2	3,6	63,0	717
	12	14,6	12,4	0,4	7,6	3,8	60,8	796,3

Таким образом, разжиг можно считать завершенным, когда d , приближается к значению 1,05.

Дальнейшее развитие процесса газификации при разжиге с дополнительной фурмой осложняется тем, что необходимо перейти к нормальному дутью через колосниковую решетку, о чем будет подробно описано ниже.

4. Опыты по разжигу с переменным расходом воды.

В связи с необходимостью выяснения влияния расхода воды в период разжига были поставлены опыты по разжигу с фурмой при расходе газа 61-63 $\text{м}^3/\text{час}$ при переменном расходе воды.

В таблице № 8 приведен состав газа в период разжига при подаче различного количества воды, а на фиг. 25 нанесен ход привых теплотворности газа. Из рассмотрения кривых следует, что увеличение расхода воды до 4,5 $\text{кг}/\text{ч}$. влечет замедление процесса разжига.

Учитывая необходимость охлаждения фурмы, расход воды меньше 2,5-2,7 $\text{кг}/\text{час}$ нельзя снижать, во избежание обгорания торца фурмы, вокруг которого развивается очаг горения.

Фурма, как правило, при вынимании ее через 10-14 мин. нагревалась очень сильно. В отдельных случаях до светлокрасного каления. При увеличении толщины стенок фурмы нагрев ее снизился.

5. Опыты по разжигу и переводу двигателя на газ с вспомогательной фурмой.

Опыты по разжигу полукокса в газогенераторе БГ с вспомогательной фурмой проводились в лабораторных условиях с двигателем, установленным на стенде ГД-50 и системой очистки ГТ-58.

Описание системы очистки и установки двигателя на стенде дано в отчете лаборатории газовых двигателей за 1950 год.

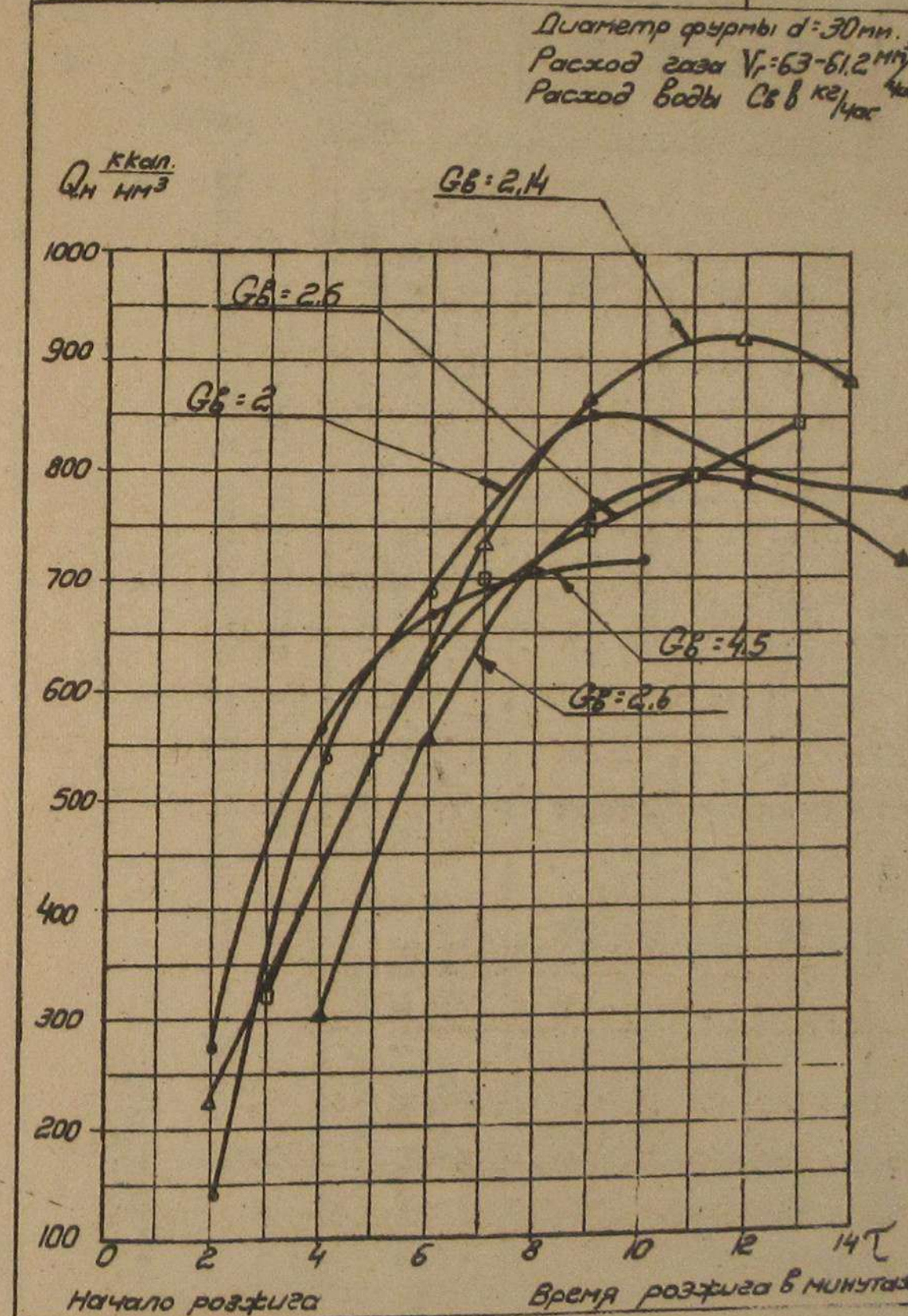
При разжиге газ отсасывался двигателем, вращение которого осуществлялось электромотором, при этом число оборотов двигателя находилось в пределах 280-300 в минуту.

Рожиг производился в обычном порядке, описанном выше, т.е. с подачей воды через 2 минуты после воспламенения полу-

кокса.

При полном открытии заслонки З, в паровоздушной трубе /см. фиг. 12/ непосредственно после первых вспышек на газе, двигатель глох.

Изменение теплотворной способности газогенераторного газа при различных расходах воды в период разжига с вспомогательной фурмой при постоянном расходе газа. Топливо: полукокс	Газогенераторная лаборатория
отдел газогенераторных тракторов.	лаборатория



Фиг. 25.

подвода воздуха через колосники, путем медленного открытия заслонки. Таким путем удавалось перевести двигатель на газ без перерывов в пуске.

Объясняется это тем, что ввод воздуха в шахту газогенератора через колосниковую решетку и уменьшение подачи воздуха через фурму приводило к уменьшению теплотворной способности газа, так как газ разбавлялся воздухом при выходе из слоя. Этот факт наблюдался неоднократно и поэтому были выработаны особые приемы перевода двигателя на газ. Они заключались в том, что после пуска двигателя на газе, для расширения зоны горения в активном слое, производилось после установившейся работы двигателя на газе, постепенное увеличение

Таблица 9.
Время разжига и перевода двигателя на газ со
вспомогательной фурмой.

Таблица 9.

№ пп	Дата	Диаметр фурм мм	Время разжига до первых вспышек в дви- гателе мин.	Время до ус- тойчив.рабо- ты двигателя на газе мин.	Окончание вре- мени перехода на нижнее дутье мин.	Расход газа $\text{V}_{\text{г}}^3$ $\text{n}/\text{м}^3$ час.	Время от нача- ла роз- жига
1.	13/ХII-50г.	25	15	17	40		
2.	14/ХII-50г.	25	8	24	25		
3.	15/ХII-50г.	25	8	20	27		
4.	18/ХII-50г.	30	8	22 ^{х/}	27	x/ Двигатель заглох.	
5.	18/ХII-50г.	25 ^{хх/}	6	14	32	хх/ Через 8 часов поворотный пуск.	
6.	19/ХII-50г.	25	12	19	24		
Среднее:			9,1 мин.	19,6	32		

СОСТАВ ГАЗА В ПЕРИОД РОЗЖИГА ПОЛУКОКСА В ГАЗОГЕНЕРАТОРЕ БГ
ПРИ УВЕЛИЧЕННОМ РАСХОДЕ ГАЗА И НИЖНЕМ ДУТЬЕ.

№ пп	Расход газа V_g н/м ³ час.	Время от на- чала розви- тия	Состав газа в объемных %						Низшая тепло- твор- ность газа Q_n ккал/нм ³	Уд.вес газа кг/нм ³	$\frac{CO}{CO_2}$	Рас- ход возду- ха в нм ³ / час.	Услов- ная ско- ростъ дутья в про- зорах решет- ки м/сек.	Время вос- пламе- ния газа в горел- ке мин.	Вре- мя про- грев фа- ке- лом мин.	d_g
			CO	H ₂	CH ₄	CO ₂	O ₂	N ₂								
I.	60,7	8	0,4	1,0	0,4	0,8	17,2	79,6	-	1,26	0,5	60,7	I,12	-	-	5,3
2.		I2	0	0,6	0,4	0,2	20,4	78,4	-	1,29	0	60,7	I,12			46,1
3.		I6	0	0,8	0,4	0,6	18,6	79,4	-	1,26	0	60,7	I,12			8,5
4.		20	0,8	0,6	0,2	2,0	16,4	79,6	-	1,28	0,4	60,7	I,12			4,4
5.		24	I,1	I,2	0,4	4,8	I3,9	78,6	78,7	I,29	0,23	60,4	I,II			2,8
6.		26	5,2	I,8	0,8	8,2	9,4	74,6	273	I,30	0,63	57,5	I,06	30мин.	8мин.	I,88
7.	83,4	6	0,2	0,6	0,0	0,6	20,0	78,4	22	I,28	0,33	82,7	I,53			24,5
8.		8	0,2	0,8	0,2	I,4	I9,2	78,2	44	I,29	0,14	82,5	I,52			I3,03
9.		I0	0,4	0,2	0,4	2,4	I7,8	69,6	52	I,I8	0,16	73,4	I,35			25,77
10.		I4	I,0	I,2	0,4	3,6	I5,6	78,0	95	I,29	0,27	83,4	I,54			4,02
II.		I6	4,2	4,4	0,4	5,6	II,2	74,2	274	I,26	0,75	78,3	I,45			2,31
12.		I8	I0,8	6,8	0,4	6,2	6,1	69,2	537	I,22	I,74	73,05	I,35	20мин.	5мин.	I,49
I3.	98,6	7	I,2	I,2	0,2	2,6	I7,4	77,4	84	I,28	0,33	96,6	I,78			6,45
I4.		I2	9,3	0,6	3,4	6,4	8,1	71,8	589	I,28	I,45	89,7	I,66			I,73
I5.		I5	I6,2	6,4	0,2	6,1	3,4	67,4	673	I,22	2,65	84,2	I,55			I,23
I6.		I8	2I,0	8,4	0,2	5,8	I,0	63,2	871	I,I9	3,77	78,3	I,45			I,06
I7.		2I	22,2	8,4	0,2	5,0	I,0	63,2	907	I,I9	4,44	78,3	I,45			I,06
I8.		24	25,8	7,0	0,2	4,2	0,7	62,0	980	I,20	6,14	77,3	I,45			I,04
I9.	II9,8	7	0,0	7,4	0,0	3,0	I6,8	72,4	I90	I,2I	0,0	I09	2,0I			7,86
20.		9	I,4	5,2	0,4	6,0	II,4	75,6	2I0	I,25	0,23	II4,5	2,I2			2,3
2I.		I2	II,4	I0,8	0,8	7,4	3,6	65,6	692	I,I8	1,54	99,5	I,84			I,25
22.		I5	I7,6	II,6	0,8	7,0	I,0	68,0	900	I,24	2,5I	I03,0	I,9			I,05
23.		I8	20,2	I2,4	0,4	5,2	I,2	60,4	966	I,I4	3,88	91,5	I,69	14мин.	5мин.	I,08
24.	I25	2	0,6	0,0	0,0	2,0	I8,2	79,2	I8,2	I,37	0,3	I25	2,3I			7,33
25.		4	2,0	I,4	0,0	3,2	I6,4	77,0	97,0	I,29	0,62	I2I,8	2,25			5
26.		II	5,6	3,6	0,2	5,2	II,6	73,4	I27,0	I,26	I,07	II6,I	2,I5			2,46
27.		I3	I0,6	3,2	I,2	6,9	6,6	71,2	507,0	I,27	I,54	II2,6	2,08			I,33
28.		I5	I7,2	6,4	0,4	7,4	2,2	66,4	72I,0	I,23	2,32	I05,I	I,94			I,I4
29.		I7	2I,8	9,2	0,2	6,0	0,8	6I,8	9I4	I,29	3,63	97,8	I,8I	15мин.	-	I,05
30.	I3I,3	7	0,0	5,0	0,8	5,4	I3,2	75,2	I97	I,25	0	I24,9	2,3I			2,98
31.		9	6,2	I0,6	0,4	7,2	5,8	69,6	460	I,I9	0,875	II5,6	2,I4			I,45
32.		II	I6,0	II,0	0,4	6,8	I,6	64,0	902	I,I7	2,35	I06,3	I,97			I,I
33.		I3	I8,4	I3,4	0,4	5,6	I,2	60,8	827	I,I3	3,28	I0I	I,87			I,07
34.		I4	I9,8	I2,8	0,8	4,4	I,4	60,4	998	I,I3	4,5	I00,3	I,85			I,09
35.		I7	I2,2	5,8	0,4	2,4	9,4	69,6	553	I,20	5,08	II5,6	2,I4	II,5мин.	5мин.	2,03
36.	I37,0	5	0,0	0,0	0,0	0,8	20,4	79,0	0	I,29	0	I37	2,53			20,7
37.		I5	0,2	0,8	0,0	I,6	I9,0	78,4	27	I,29	0,125	I35,9	2,5I			II,2
38.		I8	2,2	0,8	0,0	3,2	I5,4	78,4	87	I,29	0,69	I35,2	2,5			3,88
39.		20	8,6	5,0	0,4	6,2	8,2	7I,6	424	I,25	I,39	I24,I	2,29			I,75
40.		22	I7,4	9,4	0,4	6,6	2,8	63,2	799	I,I9	2,79	I09,6	2,02			I,19
41.		25	I9,6	8,8	0,4	5,6	2,8	62,4	855	I,I9	3,52	I08,2	2,0	I7,5мин.	5мин.	I,2

В таблице № 9 указаны данные времени, затраченного на пуск. Среднее время розжига до появления первых вспышек в двигателе составило 9,16 мин. при колебании от 6 до 15 мин. Время до момента устойчивой работы двигателя на газе составило 19,6 мин., а полное время перевода генератора на нижнее дутье составило 32 мин.

Таким образом, несмотря на сравнительно сокращенное время розжига полукокса в этом случае остальные операции по пуску занимают значительное время.

Учитывая коренные недостатки данного метода, заключающиеся в создании малого по объему очага горения, не охватывающего всего сечения шахты, что приводит к проходу воздуха помимо очага горения и поэтому снижает его теплотворность, были поставлены опыты по розжигу с увеличением расхода газа.

Применение форы для розжига целесообразно в том случае, если основной поток воздуха поступает через нее, так как в этом случае развитие очага горения не прерывается и поэтому исключается и проход воздуха помимо него.

IV. РОЖИГ ПОЛУКОКСА ПРИ УВЕЛИЧЕННЫХ РАСХОДАХ ГАЗА С НИЖНИМ ДУТЬЕМ.

В связи с настойчивыми требованиями представителей завода СТЗ проверить способ розжига полукокса при увеличенном расходе газа были поставлены специальные опыты.

Опыты велись при отборе газа из газогенератора БГ вакуумнасосом. При розжиге открывался зольниковый люк и воздух поступал под колосниковую решетку, минуя трубу паровоздушной смеси. В этом случае сопротивление газогенератора уменьшалось.

Розжиг проводился со свежим полукоксом один раз в сутки. После остывания топливо высыпалось и каждый раз загружалось свежее.

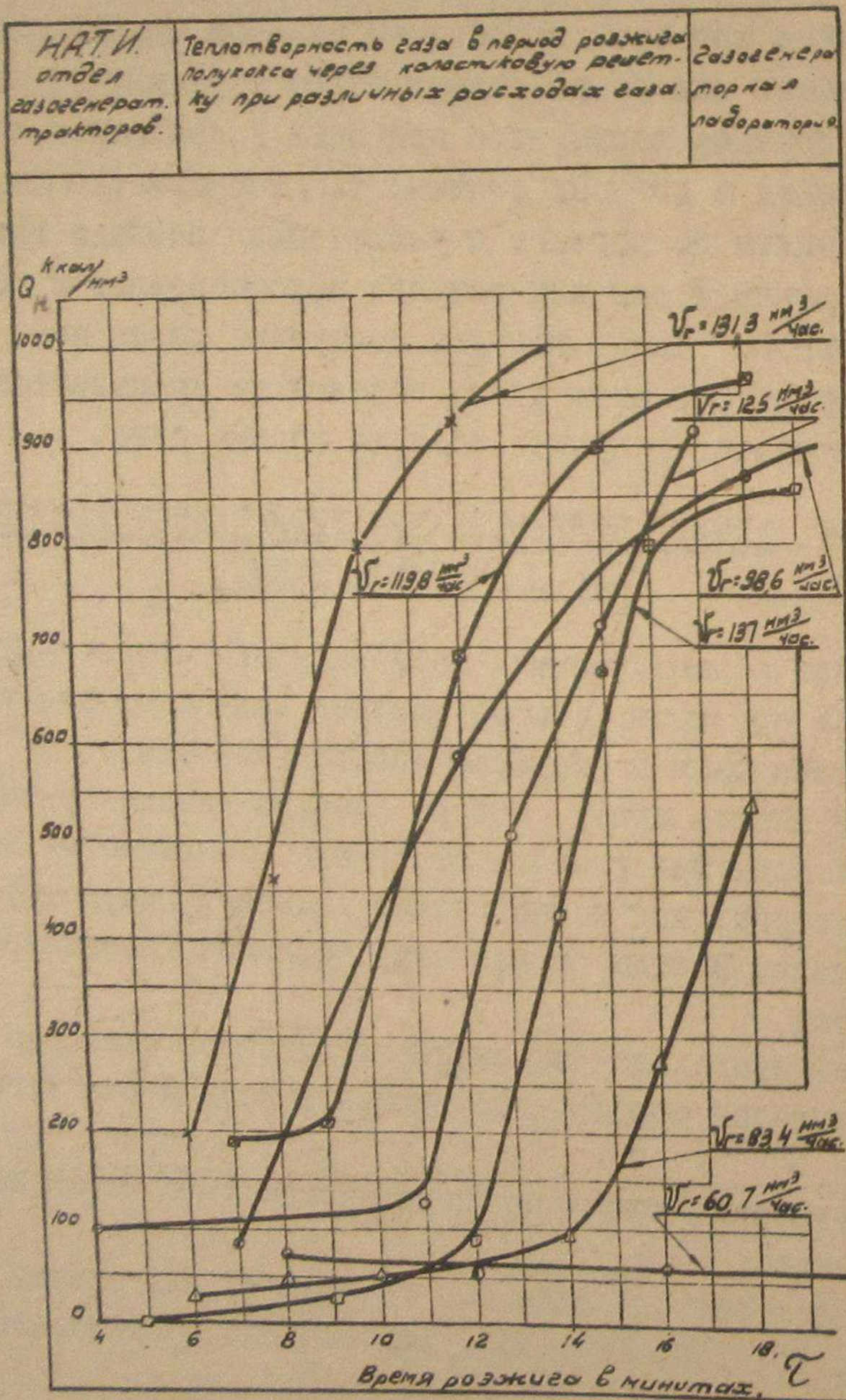
Оборудование испытательного стенда было таким же, как описано выше.

Диапазон расхода газа был установлен для опытов следующий: 60, 80, 100, 120, 130, 140 $\text{м}^3/\text{час}$ и отклонялся от заданного режима в пределах 1-2%.

Результаты опытов приведены в таблице № 10. Изменение состава газа в период розжига показано на фиг. 27-32.

На фиг. 26 показано изменение теплотворности газа в период розжига.

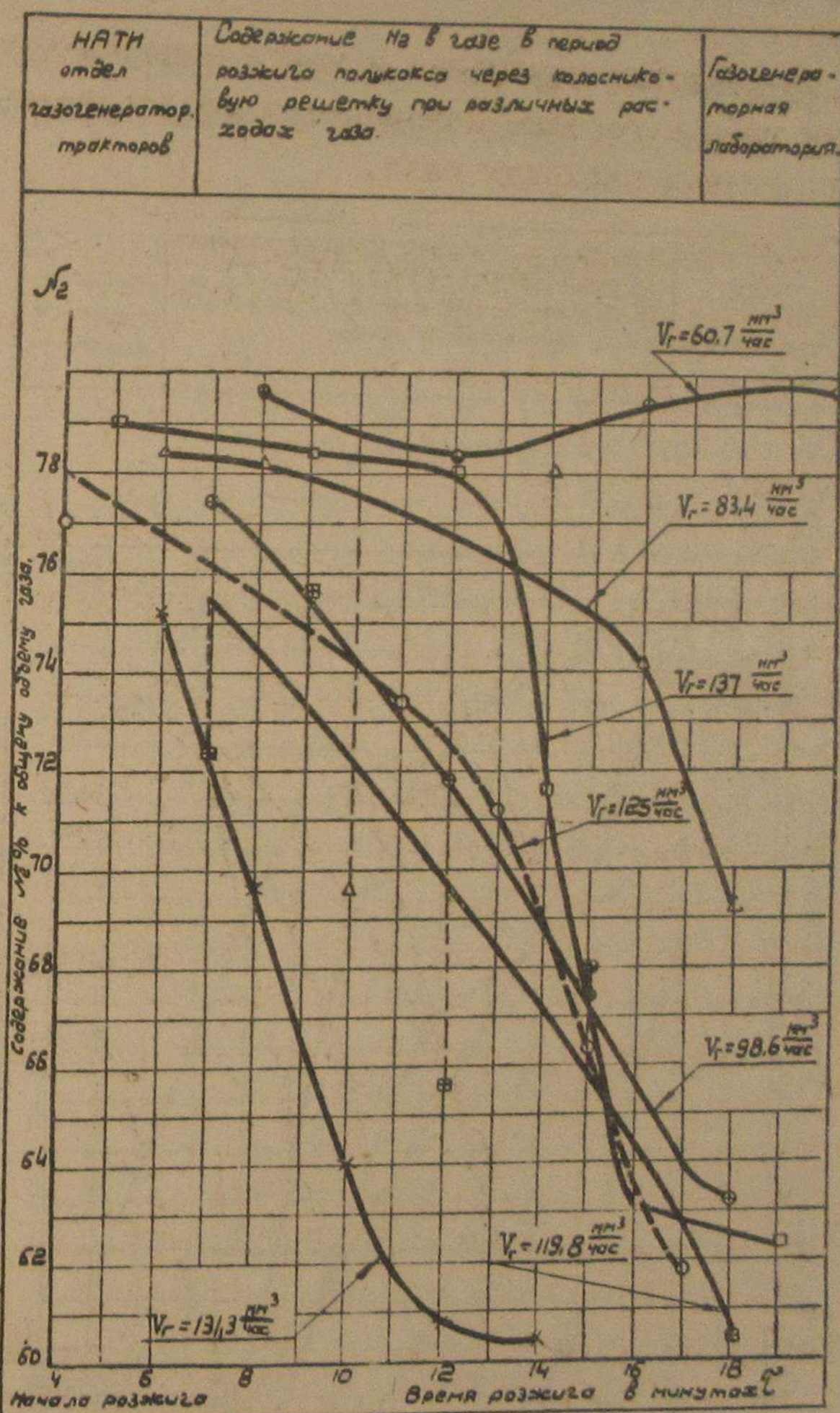
На фиг. 33 показано изменение момента появления устойчивого пламени газа в горелке калориметра после розжига полукося при различных расходах газа.



Фиг. 26.

Анализ результатов опытов приводит к следующим выводам:

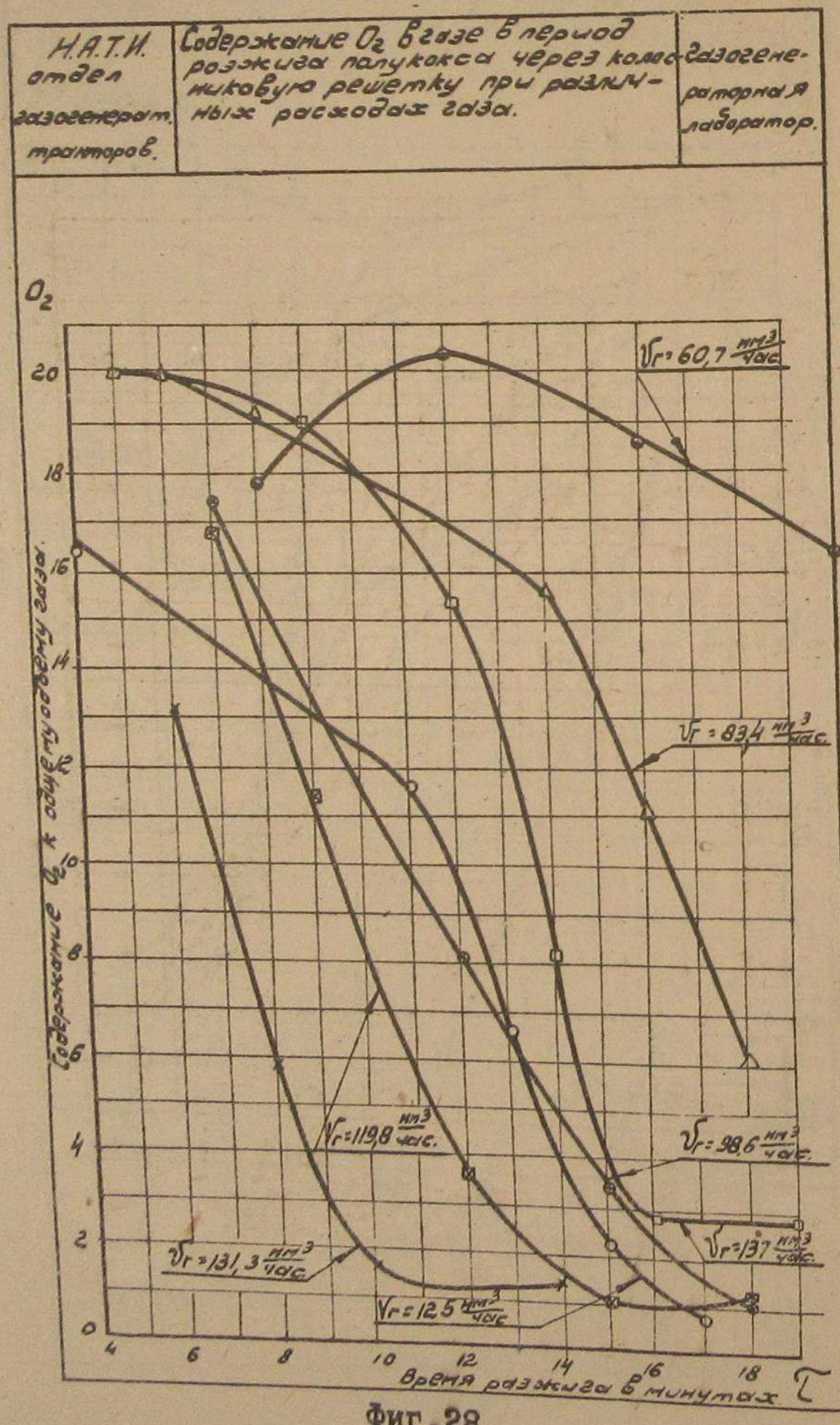
I. Момент начала воспламенения розжига полукося значительно отстает по времени от розжига с вспомогательной фурмой.



Фиг. 27.

Уменьшение содержания N_2 и O_2 в газе начинается на 4-6 минуте, причем с увеличением расхода газа до 120-130 $\text{м}^3/\text{час}$ процесс разжига ускоряется и протекает интенсивнее.

2. При расходе 60,7 $\text{м}^3/\text{час}$ разжиг затянулся до 30 минут в течение 26 минут в составе газа появляется незначительное количество CO и H_2 .



№ II.

за.

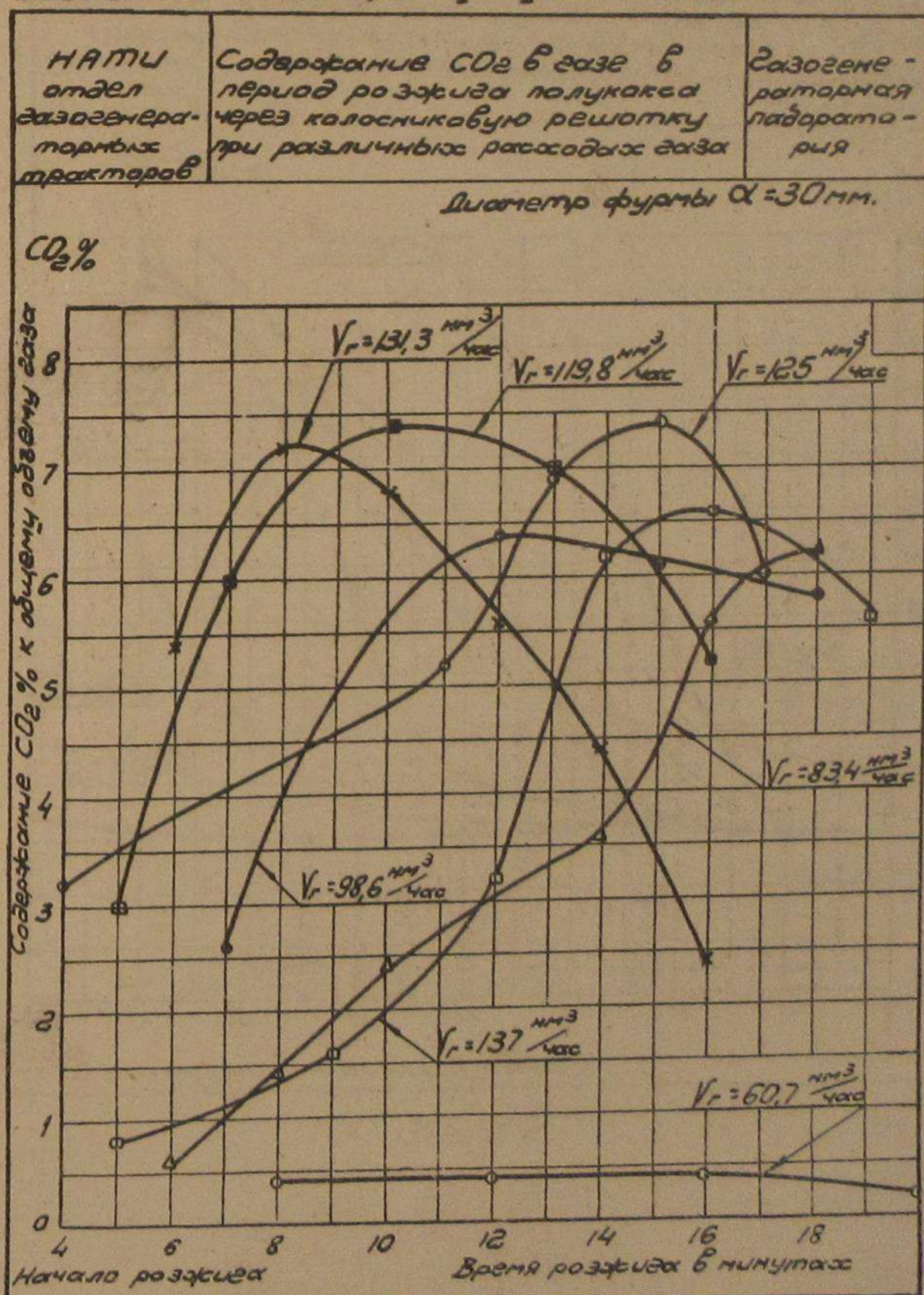
№ п/п	Дата						
		21	22	23	24	25	26
1.	31/III-5I	-	-	-	45	-	4I
2.	30/III	-	-	-	-	-	-
3.	24/III	65	-	-	65	-	-
4.	26/III	-	-	-	-	-	-
5.	29/III	-	-	-	-	-	-
6.	27/III	-	-	-	-	-	-
7.	28/III	1	-	140	-	-	140

3. Начало резкого увеличения содержания в газе CO и H_2 начинается на 6-12 минуте и следовательно первые 6-12 минут затрачиваются на период воспламенения и создания очага горения.

Это отчетливо видно на фиг. 29 по достижению CO_2 максимального значения.

4. Начавшийся процесс восстановления CO_2 и разложения H_2O происходит быстрее с увеличением расхода газа.

Таким образом, с увеличением расхода газа процесс разжига сокращается и ускорение его зависит в значительной степени от источника тепла для прогрева топлива.



Фиг. 29.

Таблица II.

Р А З Р Е Ж Е Н И Е

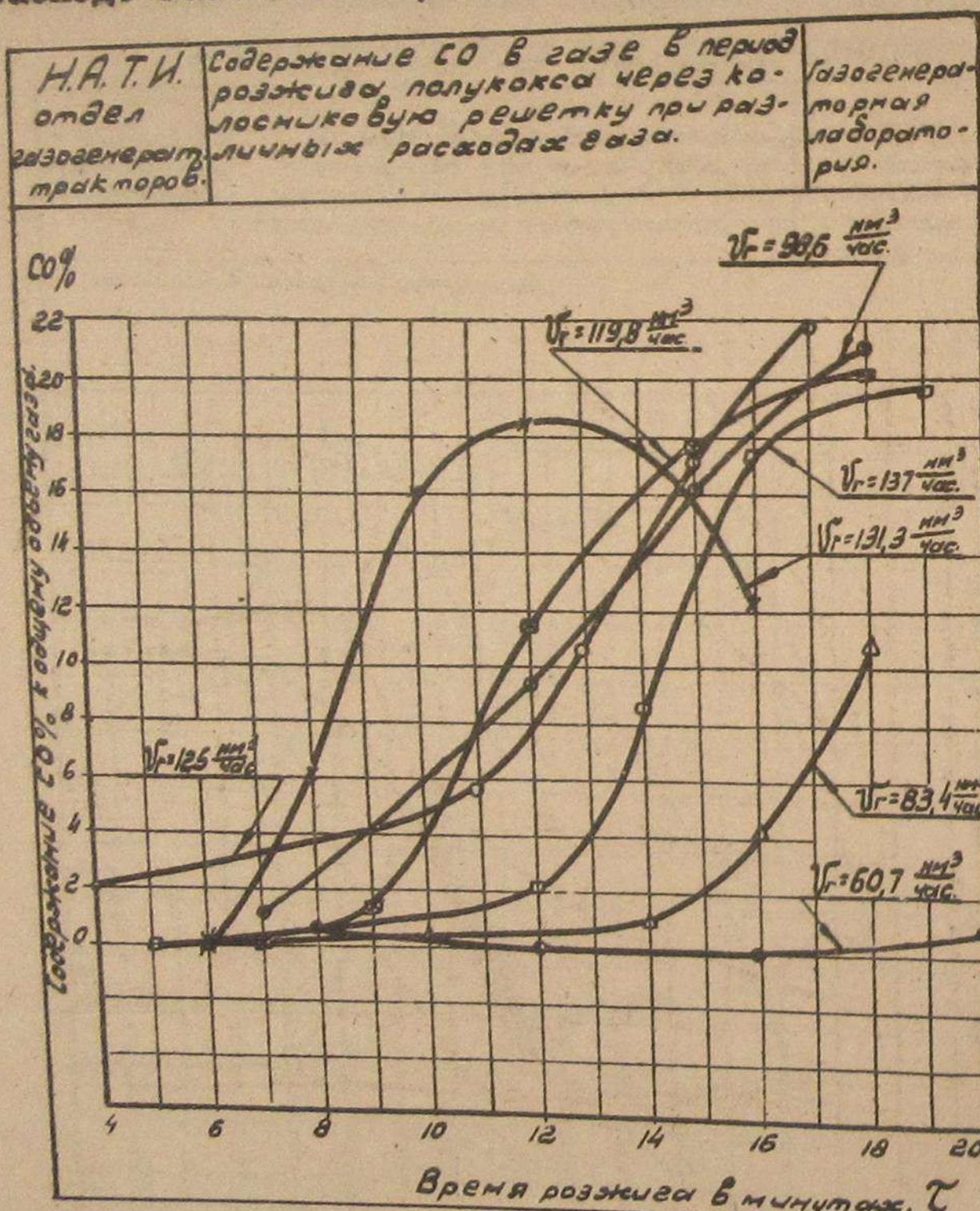
ПОСЛЕ ГАЗОГЕНЕРАТОРА В ПЕРИОД РОЖИГА ЧЕРЕЗ КОЛОСНИКОВУЮ РЕШЕТКУ ПРИ РАЗЛИЧНЫХ РАСХОДАХ ГАЗА.

№ п/п	Дата	Расход газа V_g мм ³ /с.	Время от начала розжига в минутах																											
			1	2	3	4	5	6	7	8	9	10	II	12	13	14	15	16	17	18	19	20	21	22	23	24	25	26		
1.	31/III-51	60,7	-	-	-	-	-	-	-	16	-	-	-	38	-	-	-	38	-	-	-	42	-	-	-	45	-	41		
2.	30/III	83,4	-	-	-	-	-	66	-	65	-	65	-	-	-	65	-	65	-	65	-	-	-	-	-	-	-	-	-	
3.	24/III	88,6	-	-	-	-	-	-	75	-	-	-	-	69	-	-	66	-	-	67	-	-	65	-	-	65	-	-	-	
4.	26/III	119,8	-	-	-	-	-	-	107	-	107	-	-	95	-	-	95	-	-	-	-	-	-	-	-	-	-	-	-	
5.	29/III	125		165		170		-	-	-	-	-	165	-	165	-	160	-	145	-	-	-	-	-	-	-	-	-	-	
6.	27/III	131,3	-	-	-	-	-	-	150	-	160	-	130	-	120	-	120	-	110	-	-	-	-	-	-	-	-	-	-	
7.	28/III	137	-	-	-	-	-	170	-	-	-	-	-	-	-	-	150	-	-	145	-	140	-	-	140	-	-	140	-	-

В таблице № II приведены данные о разрежении после газогенератора при различных расходах газа в период розжига.

Из этих данных следует, что для увеличения расхода газа до 100 $\text{мм}^3/\text{час}$ при розжиге необходимо значительное увеличение оборотов вентилятора при отсасывании из газопровода перед смесителем.

Это видно из следующего расчета:
Суммарное сопротивление газогенераторной установки при розжиге с учетом уменьшения сопротивления газогенератора составляет при расходе газа 100 $\text{мм}^3/\text{час}$ - 650 мм.вод.ст.

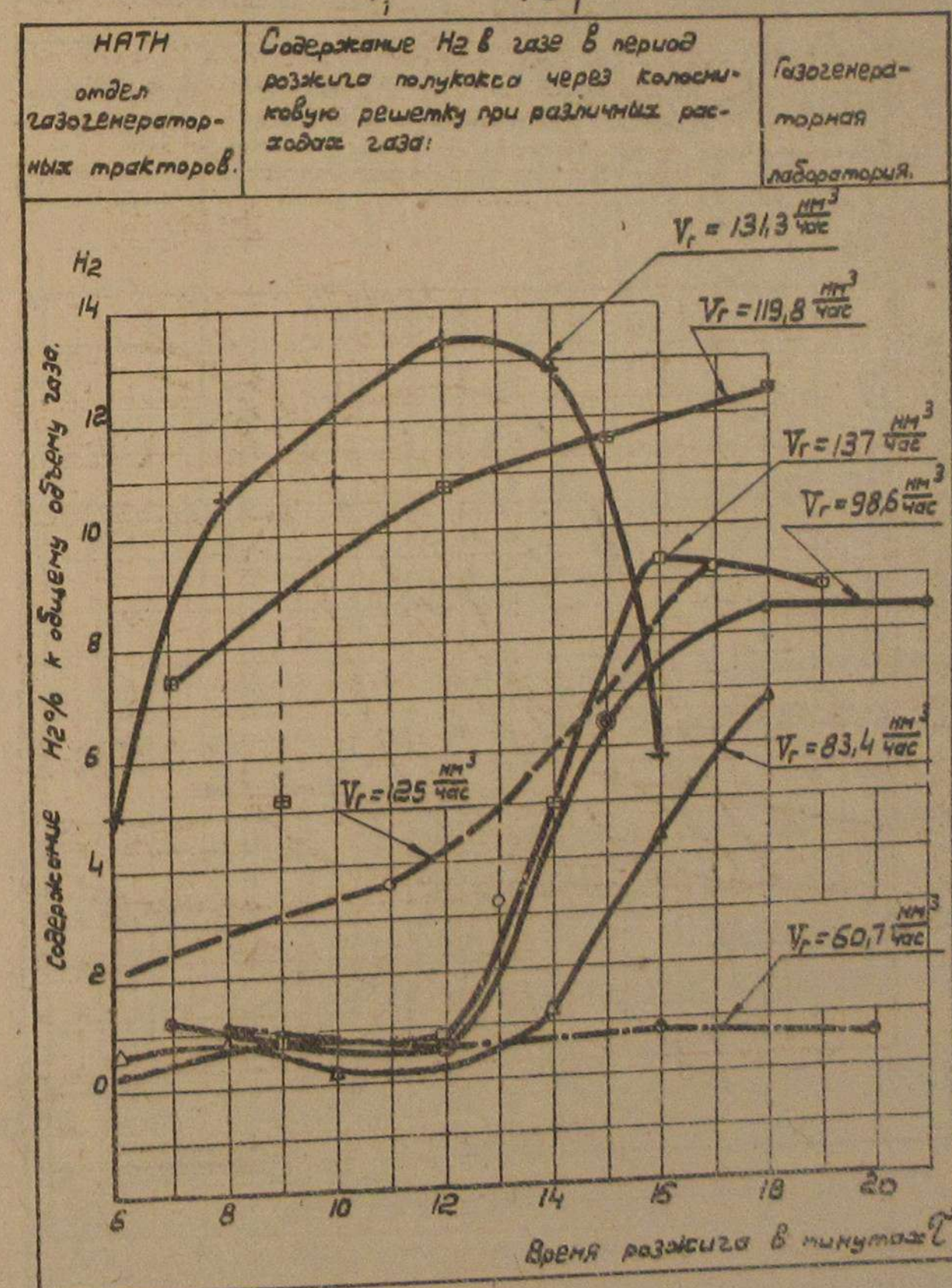


Фиг. 30.

При розжиге с вентилятором ЦАТИ-035 при расходе газа 60 $\text{мм}^3/\text{час}$, сопротивление газогенераторной установки составляет - 230 мм вод.ст. Это разрежение достигается при числе оборотов рабочего колеса - 4725 в минуту.

Полезный статический напор вентилятора возрастает пропорционально квадрату числа оборотов:

$$\frac{H_{\text{ст},0}}{H_{\text{ст},1}} = \frac{n_0^2}{n_1^2} \quad \dots /16/$$



Фиг. 31.

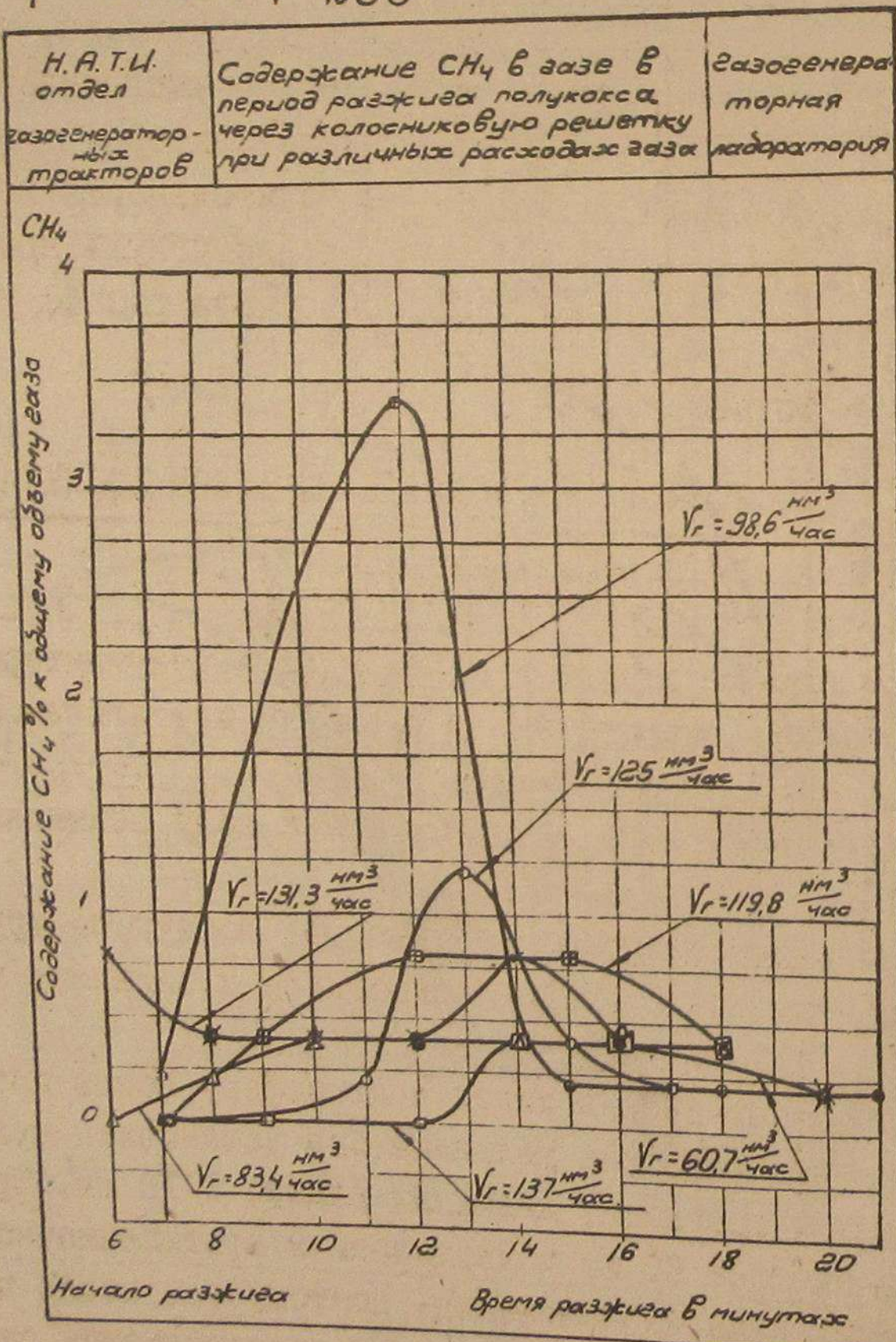
Из уравнения I6 следует, что

$$n_1 = n_0 \cdot \sqrt{\frac{H_{ct_1}}{H_{ct_0}}} \quad \dots /17/$$

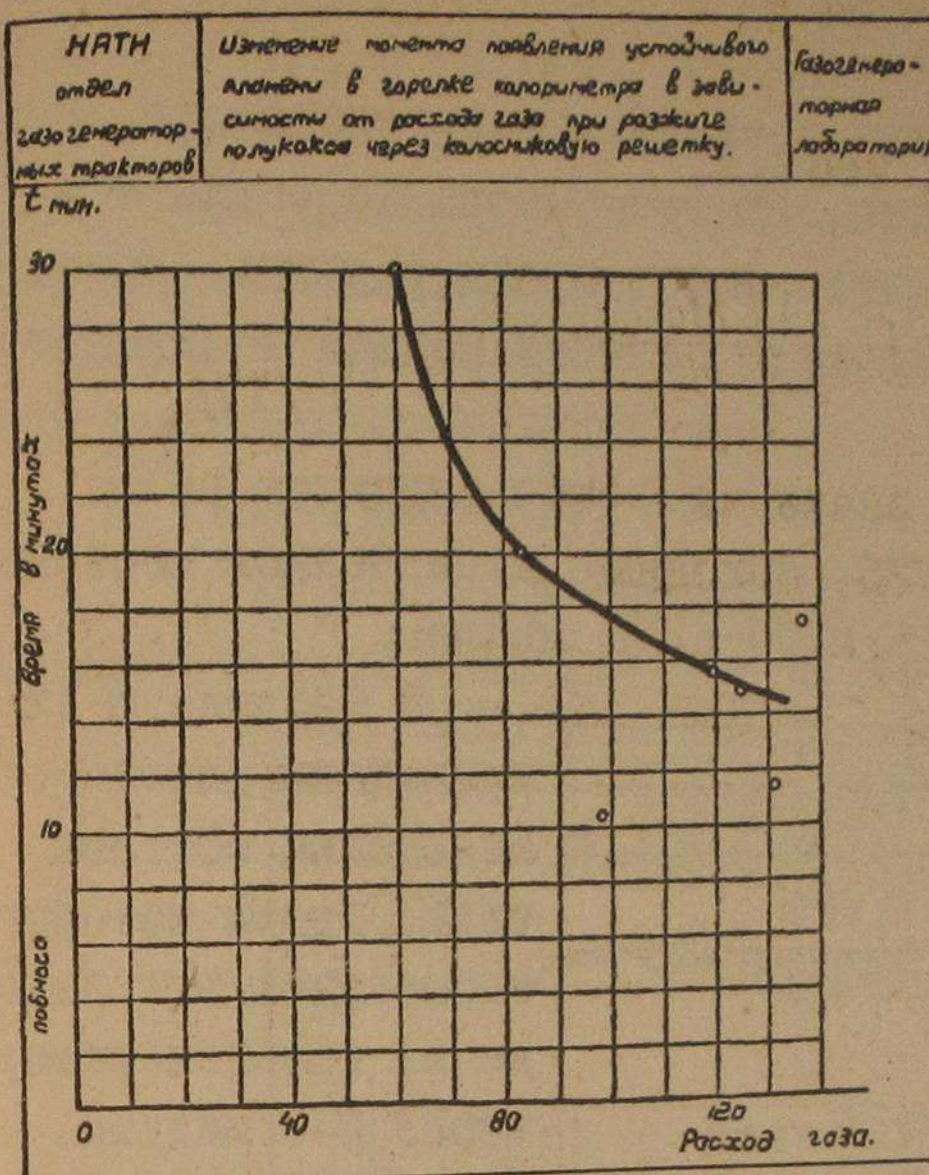
Подставляя в формулу I7 значения $H_{ct_1} = 650$,

$$H_{ct_0} = 230, \quad n_0 = 4725, \text{ находим}$$

$$n_1 = 4725 \cdot \sqrt{\frac{650}{230}} = 7925 \text{ об/мин.}$$



Фиг.32.



Фиг.33.

У. РОЖИГ ПОЛУКОКСА С НАДДУВОМ ВОЗДУХА В ГАЗОГЕНЕРАТОР.

В этом случае розжиг производился с вентилятором ЦАГИ-035, описанном выше, соединенным с пусковым двигателем ПД-10 через редуктор.

Передаточное число от редуктора к валу вентилятора

$$i = 1,36.$$

От напорного патрубка вентилятора воздух по трубе диаметром 65 мм и длиной 6 метров подводился к зольнику газогенератора.

Выпуск газов производился в атмосферу после циклона, на котором по лабораторным условиям был установлен чугунный патрубок с двумя коленами, имеющими радиус 9-10 мм. Труба выхода газа диаметром 65 мм подводилась к вентиляционному окну для удаления газа из помещения. Поэтому газ после циклона не поджигался, а для проверки момента воспламенения отводился газ из выпускной трубы в горелку калориметра.

Воспламенение производилось факелом с увеличенной поверх-

таким образом, при увеличении расхода газа с отсывающим вентилятором необходимо значительно увеличить обороты вентилятора.

Учитывая это обстоятельство были поставлены опыты по розжигу полукокса с подачей воздуха в зольник газогенератора и выпуском газа после циклона, что позволяет, не увеличивая оборотов вентилятора, повысить производительность вентилятора и достигнуть необходимого расхода газа.

- 56 -

ностью против применяемого для разжига в газогенераторе АГ.

Факел вставлялся в зольник газогенератора до разжига и с момента его поджигания отсчитывалось время разжига. Интенсивное горение факела начиналось с момента подачи воздуха в зольник.

Разжиг производился при числе оборотов вентилятора ~ 3900 в мин. Но числа оборотов не поддерживались постоянными, а колебались в пределах 3900–4200 об/мин.

В таблице № 12

приведены данные об изменении состава газа, пробы которого отбирались при выходе из газогенератора через 2–3 минуты. В той же таблице указаны длительность времени разжига и перевода двигателя на газ.

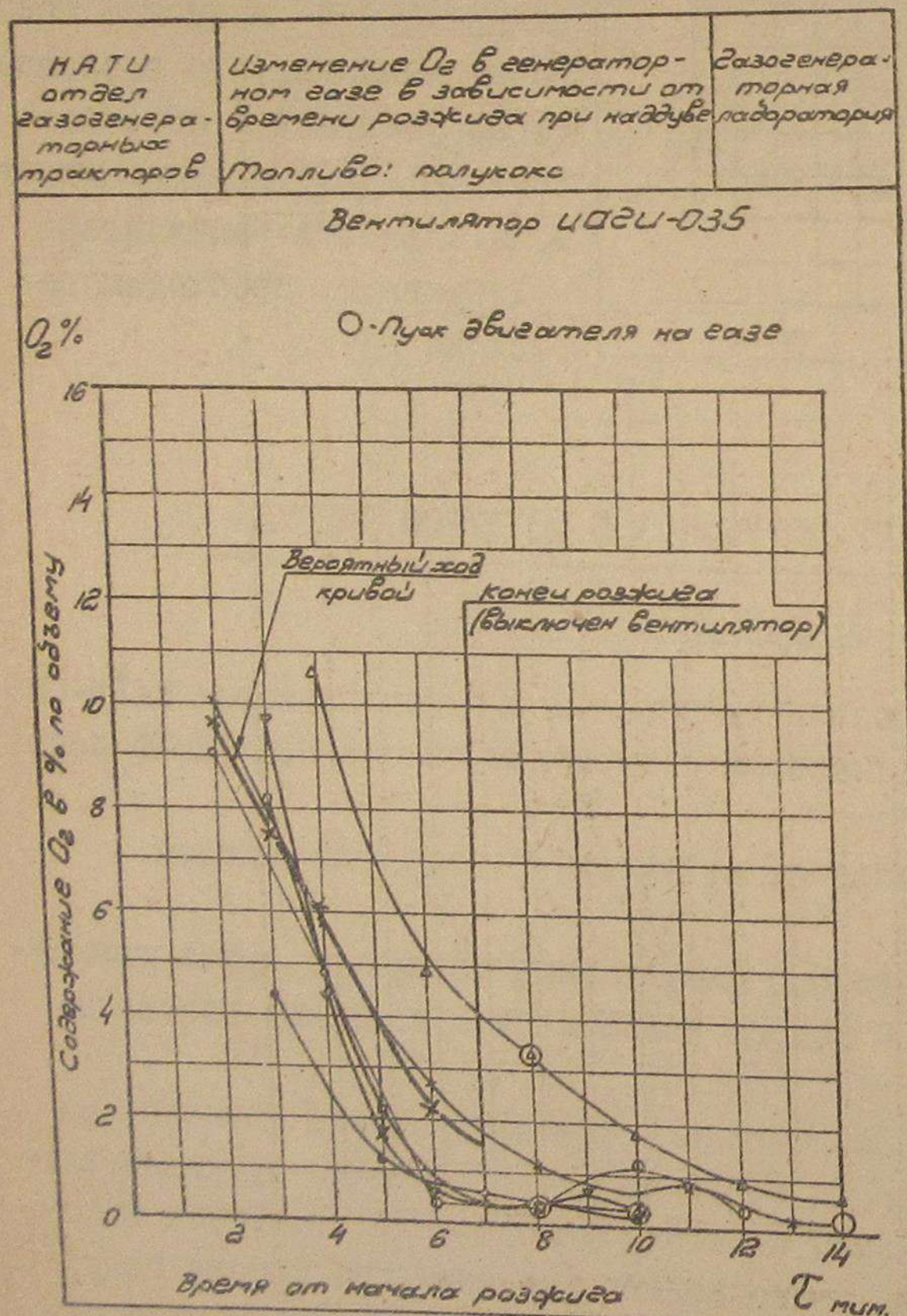
После разжига вентилятор выключался, закрывалась труба выхода газа из циклона и производился пуск двигателя на газе. Поворачивание двигателя осуществлялось электромотором. Число оборотов двигателя в минуту при пуске не превышало 300.

На фиг. 34–38 нанесены кривые хода изменения компонентов газа в пе-

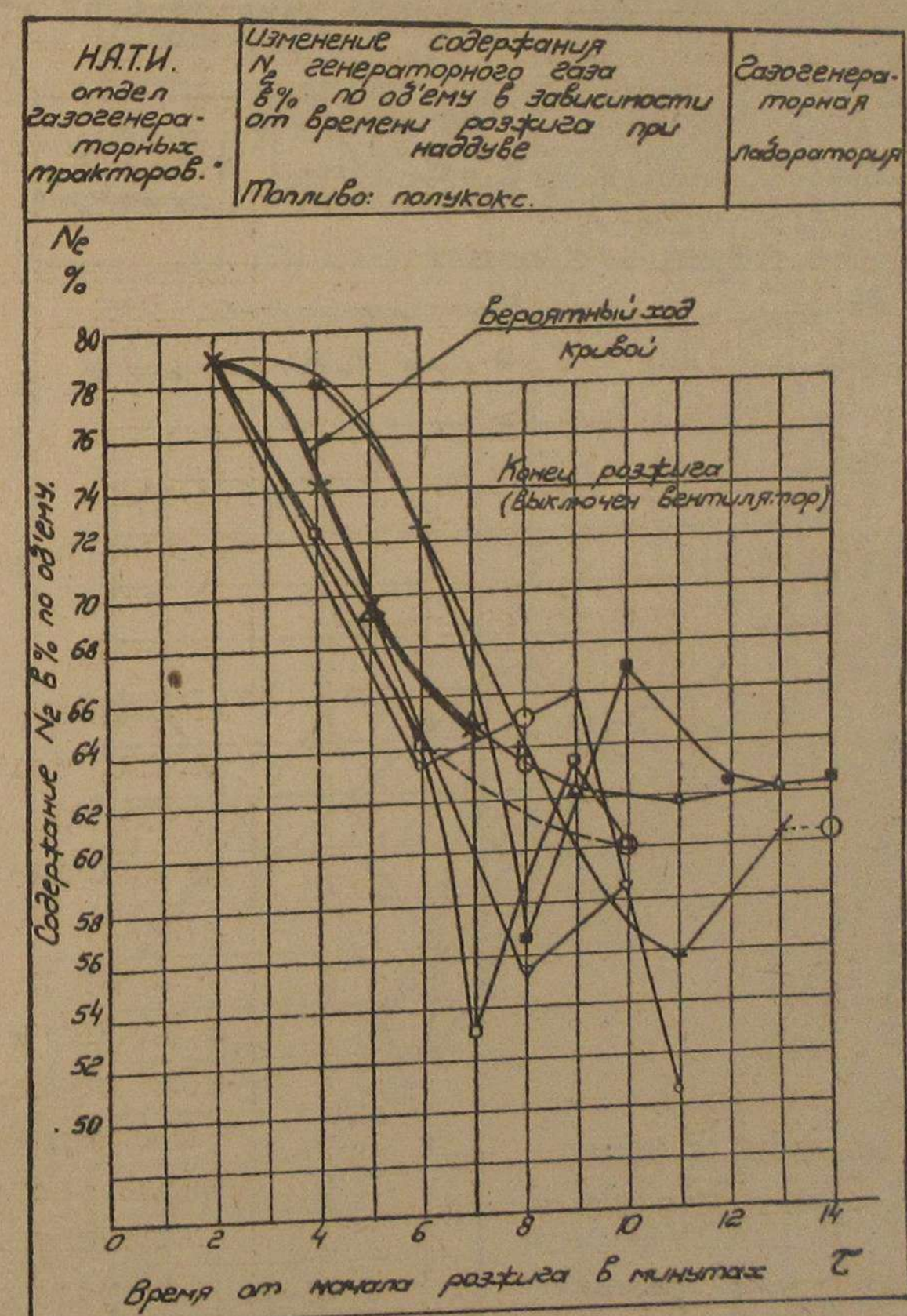
риод разжига, длившегося 7 минут в 7 опытах /13, 16, 18, 20, 21, 23 и 25 /ГУ/, а на фиг. 39 показано изменение теплотворности газа в процессе разжига.

Жирной линией на фигурах нанесено вероятное значение изменения компонентов газа, определенное как средне-арифметическое по данным анализа газа, совпадавшим по времени. Средняя величина наносилась не менее, чем из 4 точек.

Обращает внимание, что содержание минимального количества O_2 – 0,4–0,2% достигается на 7–10 минуте и только в отдельных опытах затягивается до 14 минут.



Фиг. 34.

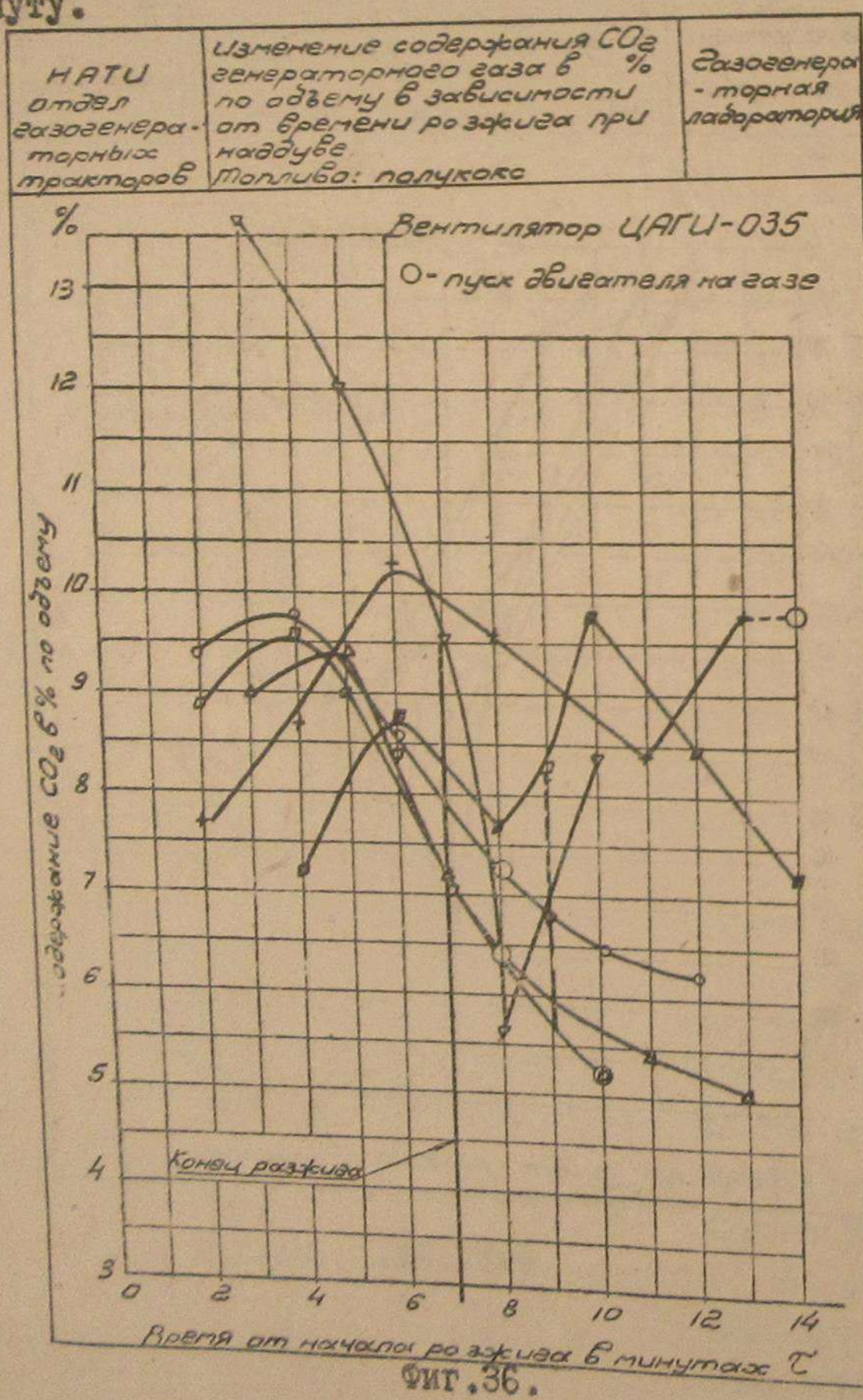


Фиг. 35.

Каражание CO и H_2 , уменьшения CO_2 , O_2 и N_2 в газе происходит при этом методе розжига значительно быстрее, чем при розжиге с фирмой, что свидетельствует о более интенсивном процессе розжига.

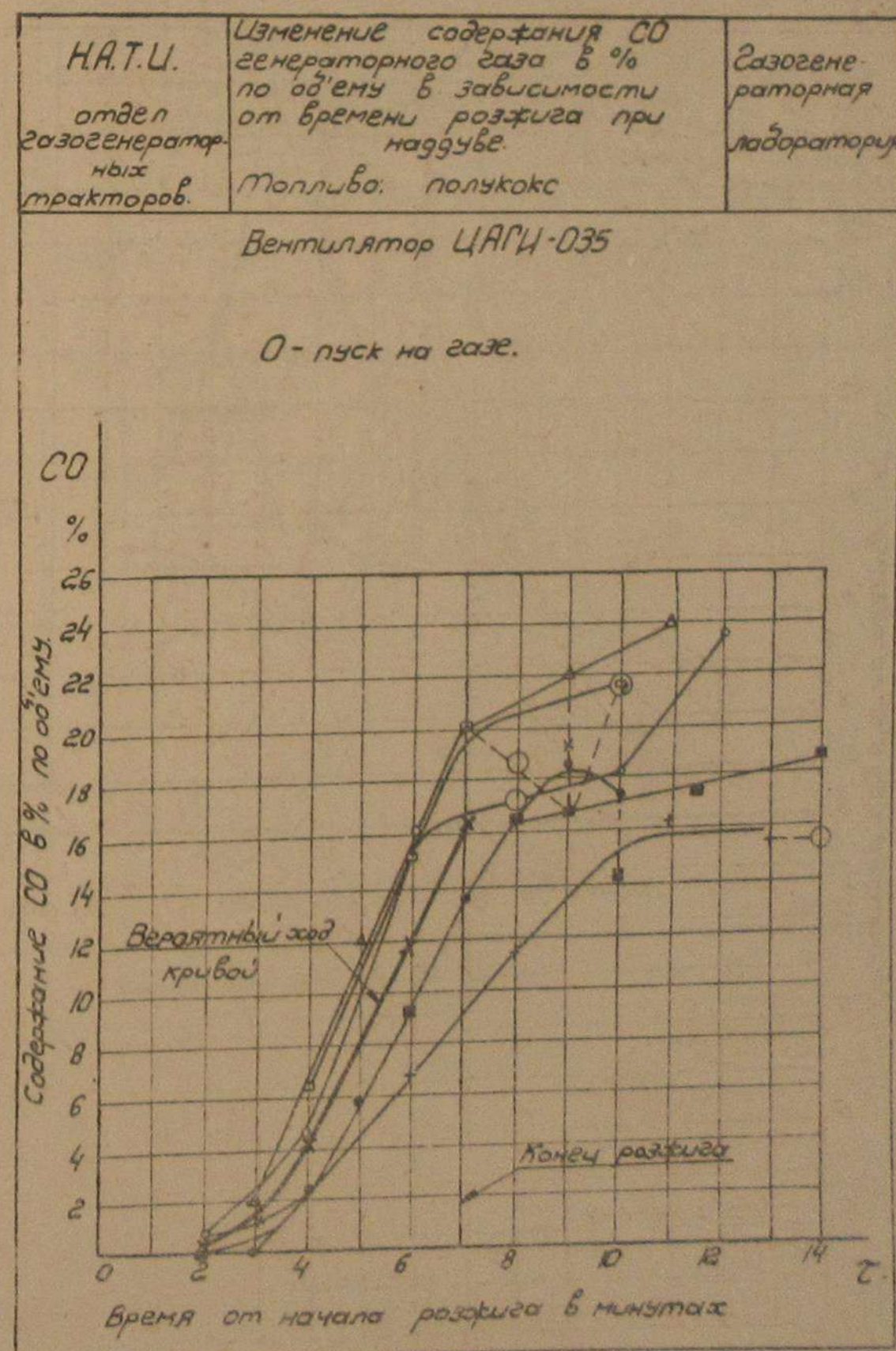
Среднее время, затраченное на розжиг и пуск двигателя на газе при розжиге полуокиса в течение 7 минут составило по 7 опытам - 12 минут, при колебании от 8 до 24 минут, причем в 4 опытах полный пуск происходил в течение 8-14 минут.

Следует указать, что выпуск газа после циклона снижал расход газа. Число оборотов пускового двигателя не превышало 3200 в минуту.

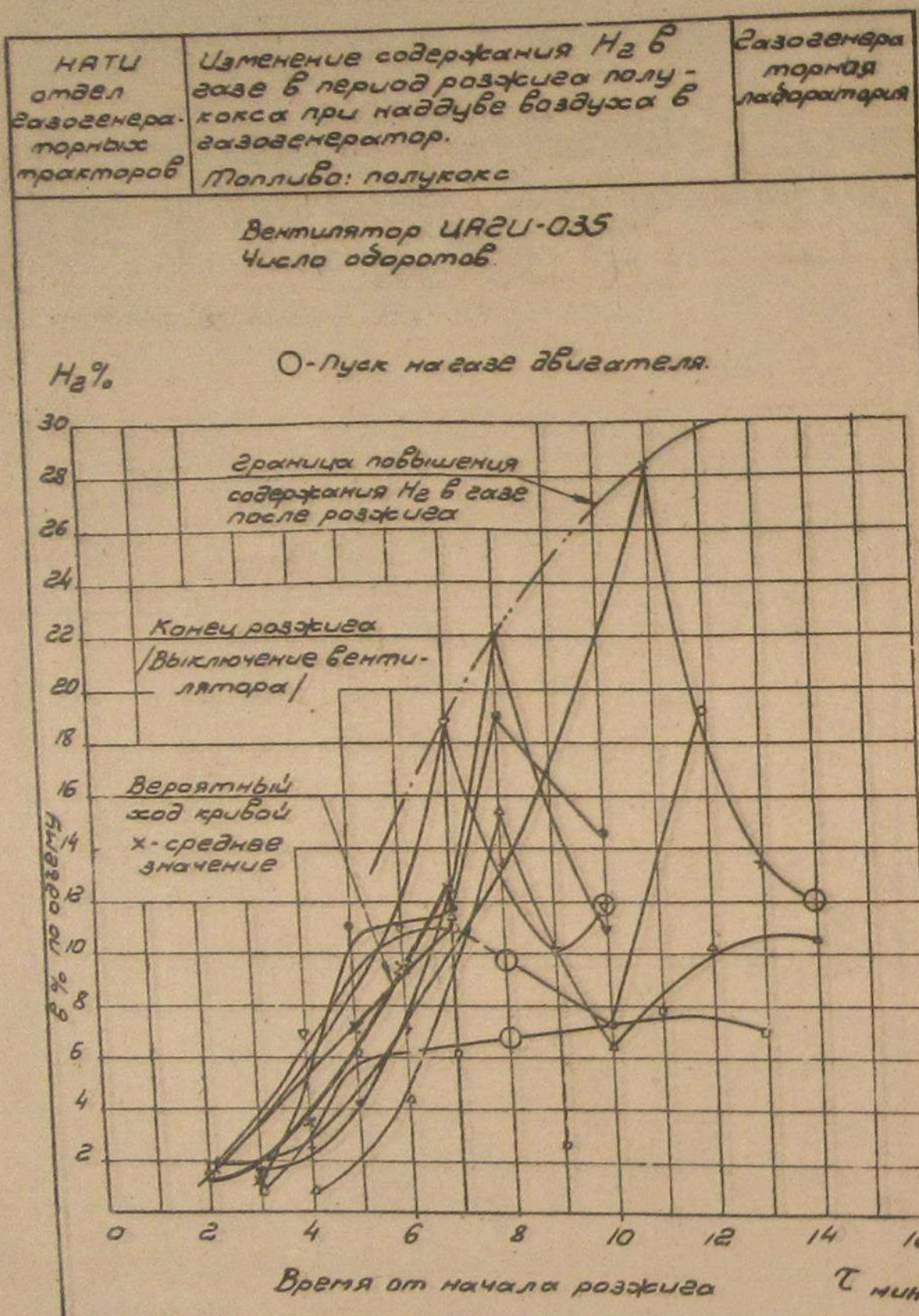


На фиг. 40 нанесено изменение d_r , d_t и ℓ_0 рассчитанное по уравнениям 8, 9 и 10 для розжига, проведенного 20/LV в течение 7 минут, при пуске двигателя, произведенном через 1 минуту. Как видно из графика в этом случае d_r достигает 1,02, а потребность в воздухе доходит до $0,7 \text{ м}^3/\text{м}^3$ газа.

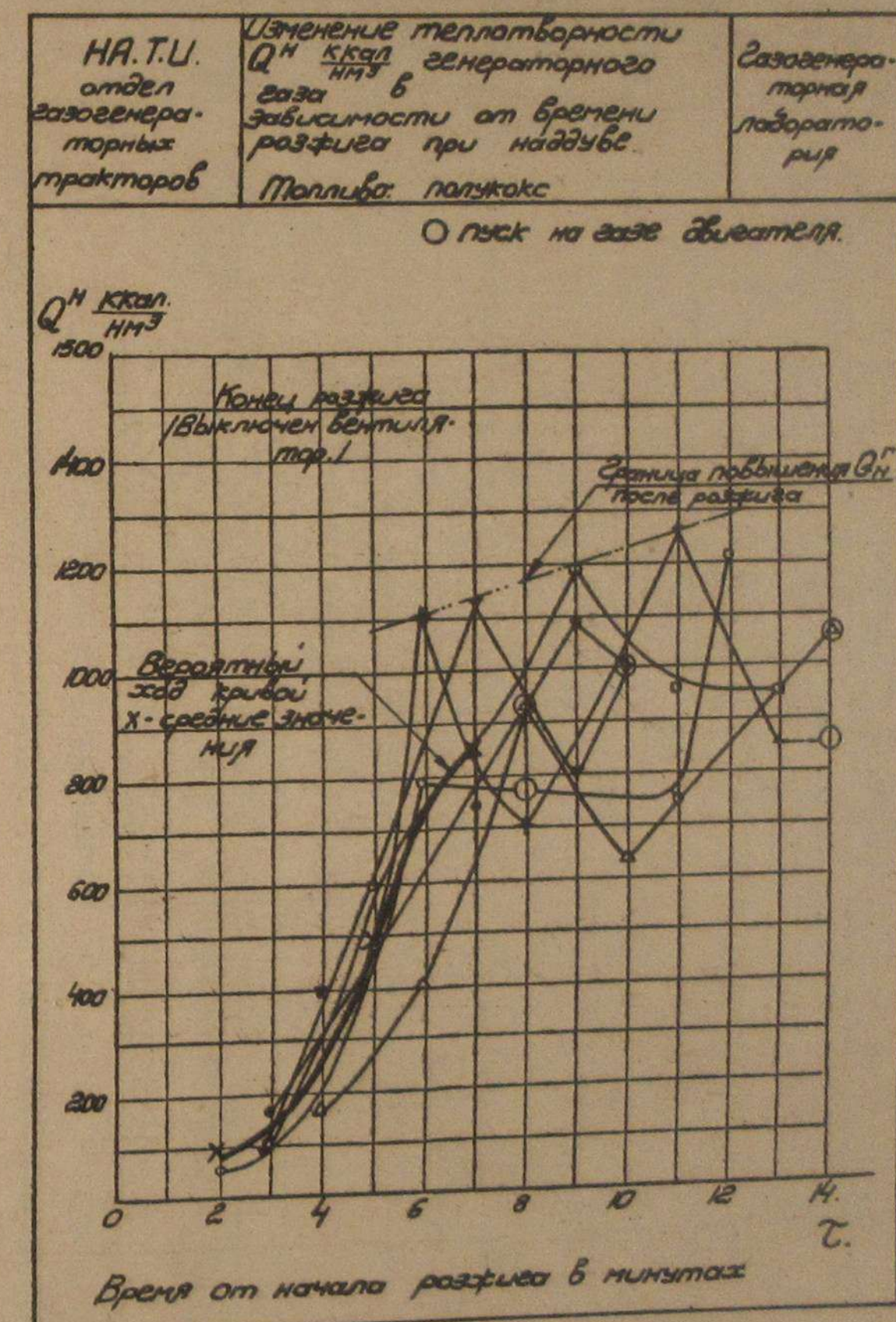
Произведенные эксперименты по розжигу полуокиса при нахождении на колосниках шлака, приведенные на фиг. 41 и в таблице № 13, показали, что при слое шлака, насыпавшегося высотой 50 мм, теплотворность газа при розжиге достигла 1000 ккал/ м^3 на 10 минуте.



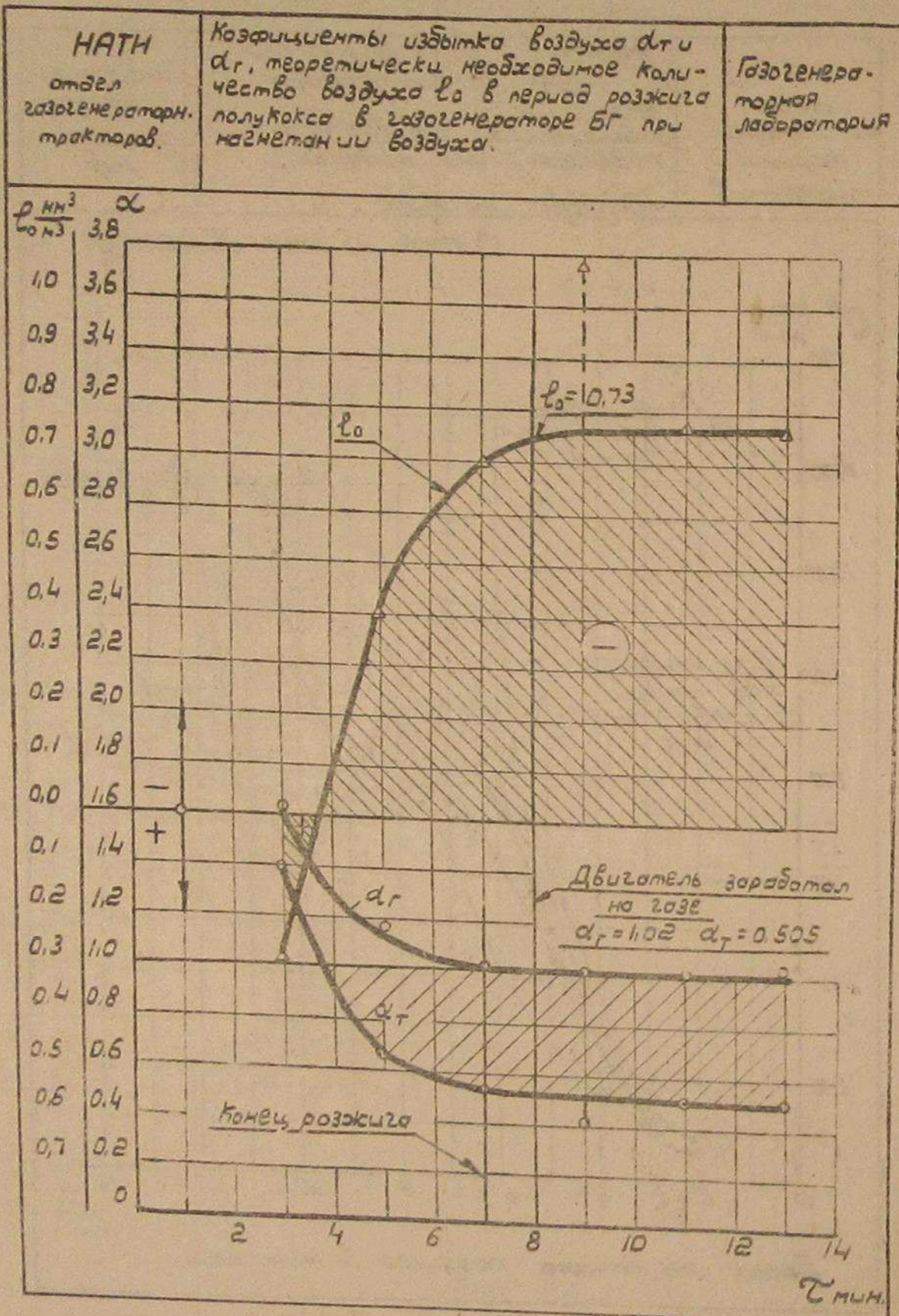
Фиг. 37.



ФИГ. 38.



ФИГ. 39.



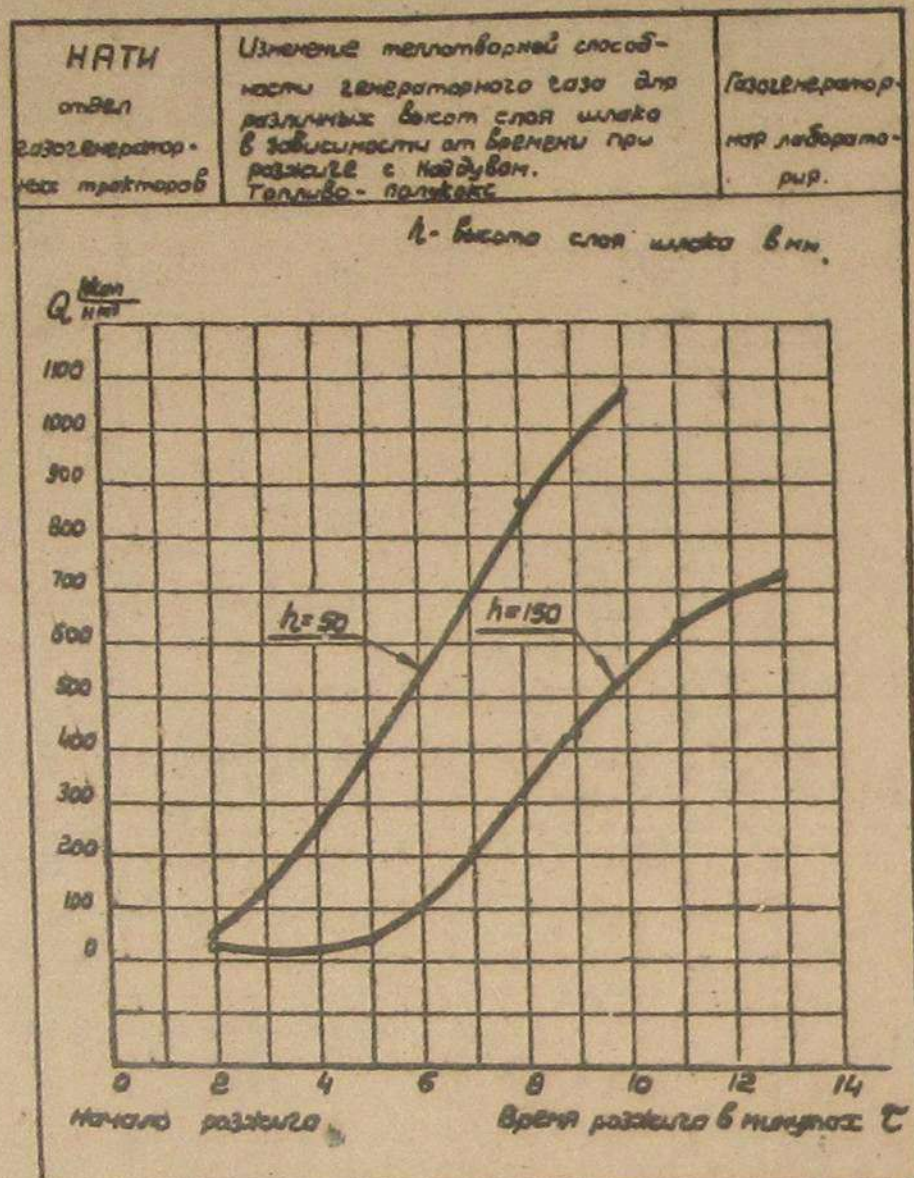
Фиг. 40.

Таблица № 13.

Состав газа в период разогрева полукокса при подаче воздуха в газогенератор ЕГ вентилятором КАТИ-035.

Дата	№ проб	Время от нача-ла розыгрыша мин.	Состав газа в объемных % %				Нижняя темп-тот-ворная способ-ность газа на кал./м ³ .	Время разжига газо-генера-тора в мин.	Воспла-менение газа горелки в мин.	Общее время пуска газа на газ в мин.	ПРИМЕ-ЧАНИЕ
			CO	H ₂	CH ₄	CO ₂					
30/IV	I 22045	20058	0,4 17,6 19,2 24,0 10	0,6 0,4 5,4 11,8 11,0	0,2 0,4 0,4 0,4 0,4	3,4 9,8 10,6 15,6 15,2	81,0 79,2 72,8 64,0 58,4	45 123 379 862 1070	9	II	Слой шлака 50 мм.
5/V-5I	I 23456	23456	2	0,8 0,6 0,4 0,8 1,0	0,2 0,2 0,2 0,2 0,2	0,0 0,0 0,0 0,0 0,0	7,6 10,2 8,8 9,0 14,0	10 12,5	III	Слой шлака 150мм.	

Слой шлака 150 мм - замедляет розжиг. В этом случае $Q_{\text{н}}$ газа на 10 минуте достигает 650 ккал/м³ и процесс развивается медленно.



Фиг. 41.

Исследования показали большое влияние начального периода воспламенения полукокса. Отмечается, что при розжиге с подачей воздуха в газогенераторе вентилятором розжиг начинается на 2-й минуте. В течение первых двух минут происходит прогрев топлива. Индуктивный период до воспламенения в этом случае дольше, чем при розжиге со вспомогательной фирмой.

В проведении экспериментальной работы по исследованию розжига полукокса принимала участие ст. инж. ШИБАНОВА К. И.

УЧЕБНЫЕ ЗАДАНИЯ.

1. Проведенные исследования процесса розжига показали, что наиболее простым и надежным является розжиг с подачей воздуха под давлением в газогенератор и выпуск газа после циклона.

2. При этом способе розжига время полного запуска двигателя на газе может быть сокращено до 12 минут.

3. Для увеличения производительности вентилятора выпуск газов следует сделать не после циклона, а непосредственно после газогенератора.

4. Вентилятор ЦАГИ удовлетворяет по производительности условиям розжига полукокса.

5. При накоплении шлака необходимо производить перед розжигом удаление его.

ЗАКЛЮЧЕНИЕ: Рекомендовать для газогенераторного трактора ГТ-58 ввести розжиг с подачей воздуха под давлением и выпуск газов после газогенератора.

НАЧАЛЬНИК ОТДЕЛА ГАЗОГЕНЕРАТОРНЫХ ТРАКТОРОВ,
младший научный сотрудник - И.Н.ВЕЛИЧКИН.

РУКОВОДИТЕЛЬ ТЕМЫ,
ЗАВ. ГАЗОГЕНЕРАТОРНОЙ
ЛАБОРАТОРИИ,
младший научный сотрудник - Н.Г.ЮДУШКИН.

Исполнитель
младший научный сотрудник - В.И.ЦВЕТКОВ.

Декабрь 1951 г.